

F4110  
**Kvantová fyzika atomárních soustav**  
**letní semestr 2010 - 2011**

V.  
**Synchrotronové záření**

KOTLÁŘSKÁ 23. BŘEZNA 2011

## Úvodem

- Naposledy bez Planckovy konstanty, i když ...
- Odvolám se na znalosti z elektromagnetismu, optiky a relativity
- Synchrotronové záření (SZ) ... experimentální nástroj
- Na jiném místě uslyšíte o výsledcích použití SZ
- Dnes: vlastnosti SZ a odpovídající konstrukci zdrojů
- Nádherná fyzika ... ultrarelativistický elektron
- Vlastně další z Einsteinových hvězdných prací: ta nejhvězdnější
- Je to jednoznačný případ, kdy STR v pozemských podmínkách je dominantní, ne jen nějaká oprava

## *Synchrotronové záření*

SZ je netepelného původu: vzniká při pohybu velmi rychlých elektronů po drahách zakřivených magnetickým polem

Na Zemi jsou zdroje SZ budovány jako urychlovače elektronů.



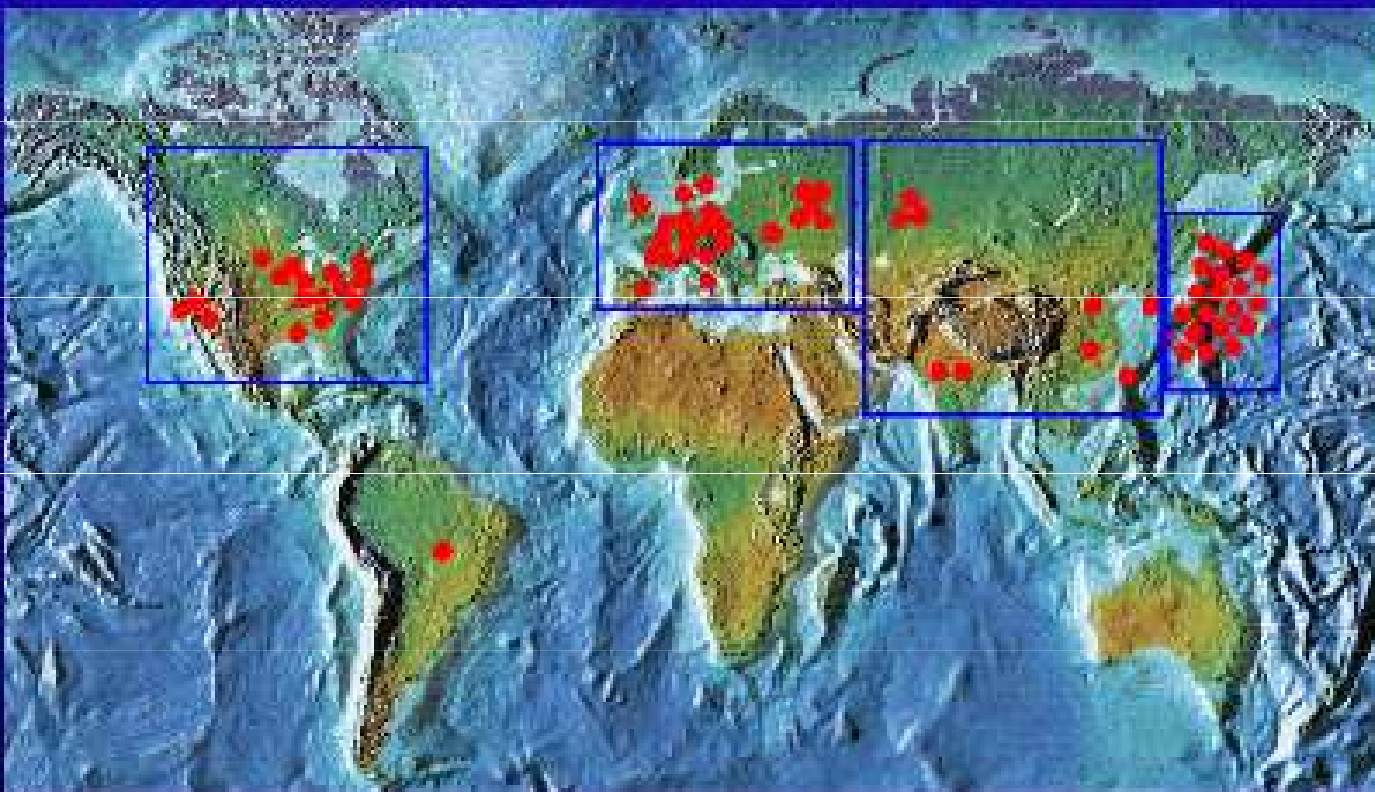
Diamond Light Source – Oxfordshire, UK



Grenoble

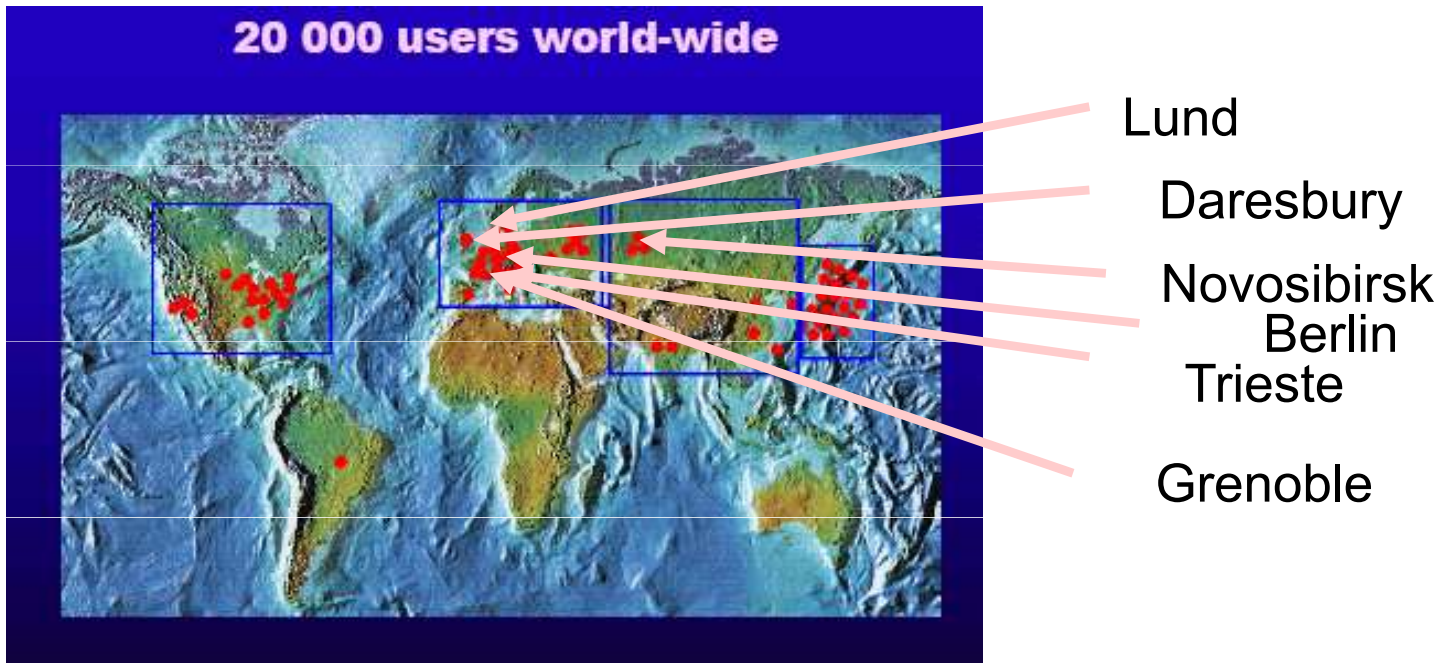
## *Rozšíření "photon factories" ve světě*

**20 000 users world-wide**



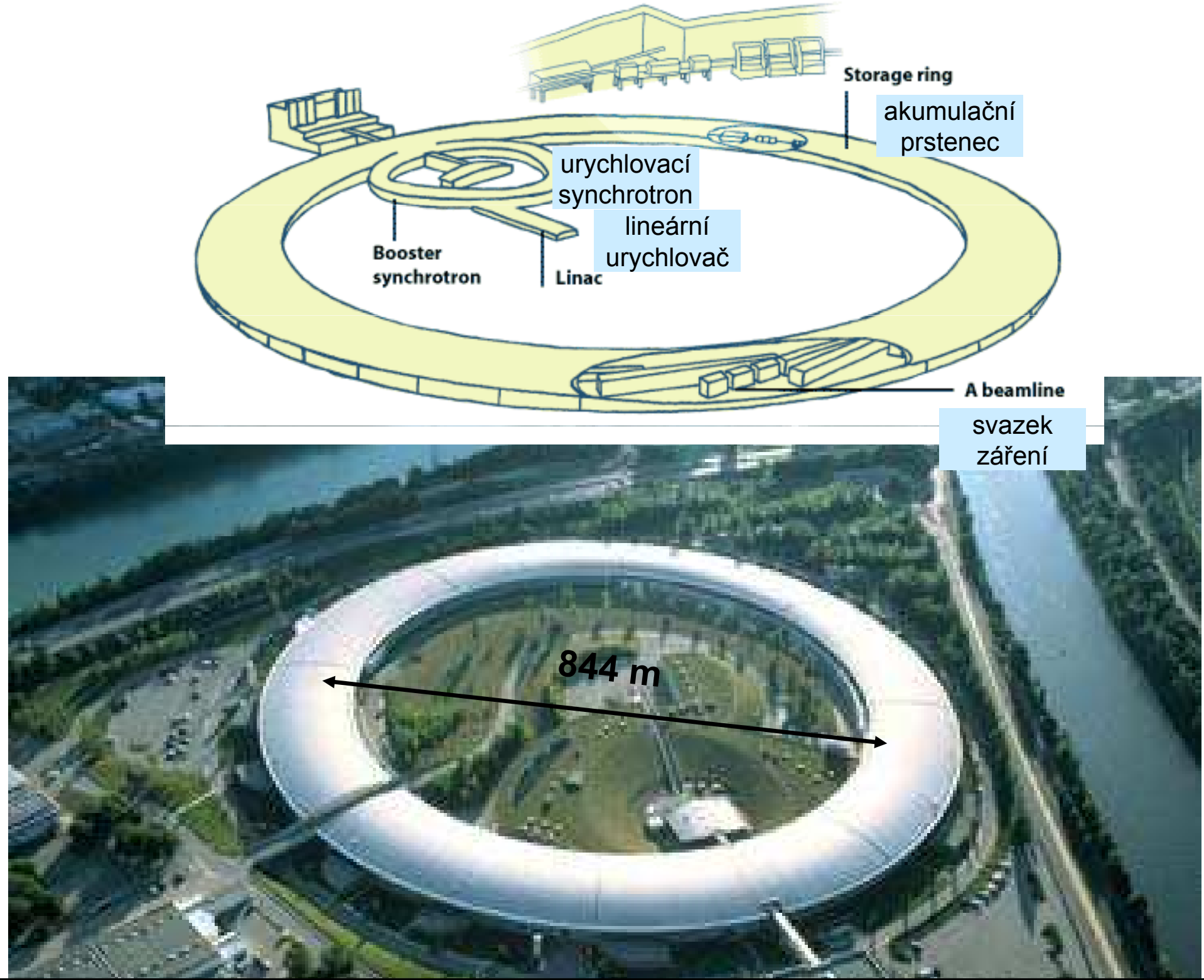
Hlavní hnízda:  
USA & Kanada  
Evropa & Rusko  
Asie  
Japonsko

# *Rozšíření "photon factories" ve světě*



## Nový způsob práce

- big science
- ambulantní způsob práce
- mezinárodní centra
- role místního personálu
- legionáři vědy



## *Proč se staví taková monstrosní zařízení jako zdroj světla?*

Spektroskopické metody za použití SZ jsou základním nástrojem poznání

- v atomové fysice
- v chemii
- materiálovém výzkumu – elektronové struktury
- materiálovém výzkumu – strukturní analyse
- v biochemii a biologii

Další aplikace SZ

- v technologii: litografie (uzavřené laboratoře ~ 1/3 kapacity)
- v medicině

## *Proč se staví taková monstrosní zařízení jako zdroj světla?*

Spektroskopické metody za použití SZ jsou základním nástrojem poznání

- v atomové fysice
- v chemii
- materiálovém výzkumu – elektronové struktury
- materiálovém výzkumu – strukturní analyse
- v biochemii a biologii

Další aplikace SZ

- v technologii: litografie (uzavřené laboratoře ~ 1/3 kapacity)
- v medicině

ANO, ALE PROČ JE SZ TAK ÚŽASNÉ?

# *Proč se staví taková monstrosní zařízení jako zdroj světla?*

Spektroskopické metody za použití SZ jsou základním nástrojem poznání

- v atomové fysice
- v chemii
- materiálovém výzkumu – elektronové struktury
- materiálovém výzkumu – strukturní analyse
- v biochemii a biologii

Další aplikace SZ

- v technologii: litografie (uzavřené laboratoře ~ 1/3 kapacity)
- v medicině

ANO, ALE PROČ JE SZ TAK ÚŽASNÉ?

- intensivní zdroj elmg. záření

# *Proč se staví taková monstrosní zařízení jako zdroj světla?*

Spektroskopické metody za použití SZ jsou základním nástrojem poznání

- v atomové fysice
- v chemii
- materiálovém výzkumu – elektronové struktury
- materiálovém výzkumu – strukturní analyse
- v biochemii a biologii

Další aplikace SZ

- v technologii: litografie (uzavřené laboratoře ~ 1/3 kapacity)
- v medicině

ANO, ALE PROČ JE SZ TAK ÚŽASNÉ?

- intensivní zdroj elmg. záření
- spektrální obor od radiofrekvencí do XUV až ultratvrdého RTG  
(mezní frekvence podle energie elektronů)

# *Proč se staví taková monstrosní zařízení jako zdroj světla?*

Spektroskopické metody za použití SZ jsou základním nástrojem poznání

- v atomové fysice
- v chemii
- materiálovém výzkumu – elektronové struktury
- materiálovém výzkumu – strukturní analyse
- v biochemii a biologii

Další aplikace SZ

- v technologii: litografie (uzavřené laboratoře ~ 1/3 kapacity)
- v medicině

ANO, ALE PROČ JE SZ TAK ÚŽASNÉ?

- intensivní zdroj elmg. záření
- spektrální obor od radiofrekvencí do XUV až ultratvrdého RTG  
(mezní frekvence podle energie elektronů)
- záření je vysoce kolimované tečně k prstenci (rovnoběžný svazek)

# *Proč se staví taková monstrosní zařízení jako zdroj světla?*

Spektroskopické metody za použití SZ jsou základním nástrojem poznání

- v atomové fysice
- v chemii
- materiálovém výzkumu – elektronové struktury
- materiálovém výzkumu – strukturní analyse
- v biochemii a biologii

Další aplikace SZ

- v technologii: litografie (uzavřené laboratoře ~ 1/3 kapacity)
- v medicině

ANO, ALE PROČ JE SZ TAK ÚŽASNÉ?

- intensivní zdroj elmg. záření
- spektrální obor od radiofrekvencí do XUV až ultratvrdého RTG  
(mezní frekvence podle energie elektronů)
- záření je vysoce kolimované tečně k prstenci (rovnoběžný svazek)
- je téměř 100 % polarisované v rovině prstence

# *Proč se staví taková monstrosní zařízení jako zdroj světla?*

Spektroskopické metody za použití SZ jsou základním nástrojem poznání

- v atomové fysice
- v chemii
- materiálovém výzkumu – elektronové struktury
- materiálovém výzkumu – strukturní analyse
- v biochemii a biologii

Další aplikace SZ

- v technologii: litografie (uzavřené laboratoře ~ 1/3 kapacity)
- v medicině

ANO, ALE PROČ JE SZ TAK ÚŽASNÉ?

- intensivní zdroj elmg. záření
- spektrální obor od radiofrekvencí do XUV až ultratvrdého RTG  
(mezní frekvence podle energie elektronů)
- záření je vysoce kolimované tečně k prstenci (rovnoběžný svazek)
- je téměř 100 % polarisované v rovině prstence
- má velmi výhodnou pulsní strukturu v čase (synchronní detekce)

# *Proč se staví taková monstrosní zařízení jako zdroj světla?*

Spektroskopické metody za použití SZ jsou základním nástrojem poznání

- v atomové fysice
- v chemii
- materiálovém výzkumu – elektronové struktury
- materiálovém výzkumu – strukturní analyse
- v biochemii a biologii

Další aplikace SZ

- v technologii: litografie (uzavřené laboratoře ~ 1/3 kapacity)
- v medicině

ANO, ALE PROČ JE SZ TAK ÚŽASNÉ?

- intensivní zdroj elmg. záření
- spektrální obor od radiofrekvencí do XUV až ultratvrdého RTG  
(mezní frekvence podle energie elektronů)
- záření je vysoce kolimované tečně k prstenci (rovnoběžný svazek)
- je téměř 100 % polarisované v rovině prstence
- má velmi výhodnou pulsní strukturu v čase (synchronní detekce)

**... dnes: fyzikální podstata toho všeho**

# *Krátký historický přehled*

# Začátky

Synchrotron objeven jako urychlovač částic

Brzy se ukázalo, že parazitní jev, vyzařování elmg. energie skoro dominuje činnost těchto zařízení

Záření jevilo již při relativně nízkých energiích elektronů uvedené vlastnosti a bylo vlastně dost nebezpečné

Roku 1949 vypracoval základní teorii SZ

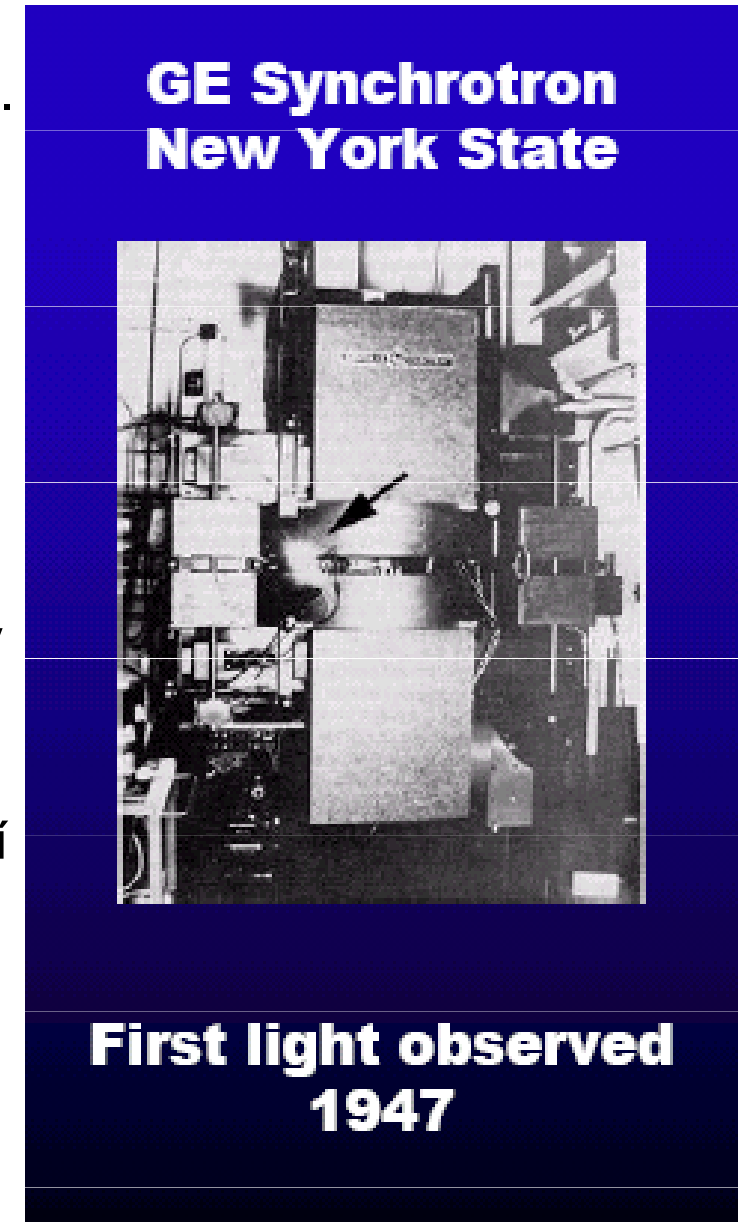
*Julian Schwinger* ( později Nobelova cena za elektroslabé interakce)

Již na konci 50 let žebronili nečásticoví fysici, aby mohli SZ využívat.

Problémy: pokusy s částicemi a se světlem se špatně sladčovaly, synchrotrony také nebyly ideální zdroje.

Proto vznikla myšlenka **dedikovaných zdrojů SZ**

Ta se ujala, protože stejně synchrotrony pro částicovou fysiku ztratily význam.



## Klikatá cesta

- 1873** Maxwellovy rovnice ... nerovnoměrná změna v rozložení nábojů ⇒ vyzařování elmg. energie
- 1878** Hertz ... generace elmg. vln, anténa → Hertzův dipól
- 1898** Liénard (-Wiechertovy) potenciály ... řešení Maxwellových rovnic pro pole vyvolané libovolným pohybem bodového náboje
- 1907** Schott úplné řešení pro zářící náboj na kruhové orbitě (model atomu) ... **úplně zapomenuto**
- ♠ ♠ ♠ ♠
- 1946** Blewett pozoroval ztráty energie u elektronů v betatronu, ale nepozoroval žádné záření  
Arcimovič a Pomerančuk obnovená teorie záření orbit. elektronu
- 1947** Pollock (vlastně Floyd Haber) náhodně pozorují záření synchrotronu se 70 MeV elektrony  
Alfvén & Herlofsen a Ginzburg & Šklovskij ... SR z Vesmíru
- 1948** Rozvoj radioteleskopie mlhovina Cassiopea A ... zdroj SR ...
- 1948** Ivanenko a Sokolov základní teorie SR – na Západě neznámá
- 1949** Schwinger „klasická“ klasická teorie SR
- 1954** Schwinger „klasická“ kvantová teorie SR

# L'Éclairage Électrique

REVUE HEBDOMADAIRE D'ÉLECTRICITÉ

## DIRECTION SCIENTIFIQUE

A. CORNU, Professeur à l'École Polytechnique, Membre de l'Institut. — A. D'ARSONVAL, Professeur au Collège de France, Membre de l'Institut. — G. LIPPMANN, Professeur à la Sorbonne, Membre de l'Institut. — D. MONNIER, Professeur à l'École centrale des Arts et Manufactures. — H. POINCARÉ, Professeur à la Sorbonne, Membre de l'Institut. — A. POTIER, Professeur à l'École des Mines, Membre de l'Institut. — J. BLONDIN, Professeur agrégé de l'Université.

## CHAMP ÉLECTRIQUE ET MAGNÉTIQUE

PRODUIT PAR UNE CHARGE ÉLECTRIQUE CONCENTRÉE EN UN POINT ET ANIMÉE  
D'UN MOUVEMENT QUELCONQUE

Admettons qu'une masse électrique en mouvement de densité  $\rho$  et de vitesse  $u$  en chaque point produit le même champ qu'un courant de conduction d'intensité  $\rho u$ . En conservant les notations d'un précédent article<sup>(1)</sup> nous obtiendrons pour déterminer le champ, les équations

$$\frac{1}{4\pi} \left( \frac{du}{dy} - \frac{df}{dt} \right) = \rho u_x + \frac{df}{dt} \quad (1)$$

$$V^2 \left( \frac{dh}{dy} - \frac{dF}{dt} \right) = - \frac{1}{4\pi} \frac{dx}{dt} \quad (2)$$

avec les analogues déduites par permutation tournante et en outre les suivantes

$$\dot{\rho} = \left( \frac{df}{dx} + \frac{dg}{dy} + \frac{dh}{dz} \right) \quad (3)$$

$$\frac{dx}{dt} + \frac{d\beta}{dy} + \frac{d\gamma}{dz} = 0. \quad (4)$$

De ce système d'équations on déduit facilement les relations

$$\left( V^2 \frac{d}{dt} - \frac{d^2}{dt^2} \right) f = V^2 \frac{d\beta}{dx} + \frac{d}{dt} (\rho u_x) \quad (5)$$

$$\left( V^2 \frac{d}{dt} - \frac{d^2}{dt^2} \right) g = 4\pi V^2 \left[ \frac{d}{dt} (\rho u_y) - \frac{d}{dy} (\rho u_z) \right] \quad (6)$$

<sup>(1)</sup> La théorie de Lorentz, *L'Eclairage Électrique*, t. XIV, p. 417.  $u_x, \beta_x, \gamma_x$  sont les composantes de la force magnétique et  $f, g, h$ , celles du déplacement dans l'éther.

Soyons maintenant quatre fonctions  $\psi, F, G, H$  définies par les conditions

$$\left( V^2 \frac{d}{dt} - \frac{d^2}{dt^2} \right) \psi = - 4\pi V^2 \rho. \quad (7)$$

$$\left( V^2 \frac{d}{dt} - \frac{d^2}{dt^2} \right) F = - 4\pi V^2 \rho u_x \quad (8)$$

$$\left( V^2 \frac{d}{dt} - \frac{d^2}{dt^2} \right) G = - 4\pi \rho u_y \quad (9)$$

$$\left( V^2 \frac{d}{dt} - \frac{d^2}{dt^2} \right) H = - 4\pi V^2 \rho u_z \quad (10)$$

On satisfara aux conditions (5) et (6) en prenant

$$4\pi f = - \frac{d\psi}{dx} - \frac{1}{V^2} \frac{dF}{dt} \quad (11)$$

$$g = \frac{dH}{dy} - \frac{dG}{dt}. \quad (12)$$

Quant aux équations (1) à (4), pour qu'elles soient satisfaites, il faudra que, en plus de (7) et (8), on ait la condition

$$\frac{d\psi}{dt} + \frac{dF}{dx} + \frac{dG}{dy} + \frac{dH}{dz} = 0. \quad (13)$$

Occupons-nous d'abord de l'équation (7). On sait que la solution la plus générale est la suivante :

$$\psi = \int \frac{\rho [x', y', z', t - \frac{r}{V}]}{r} dx' \quad (14)$$

První strana Liénardovy práce

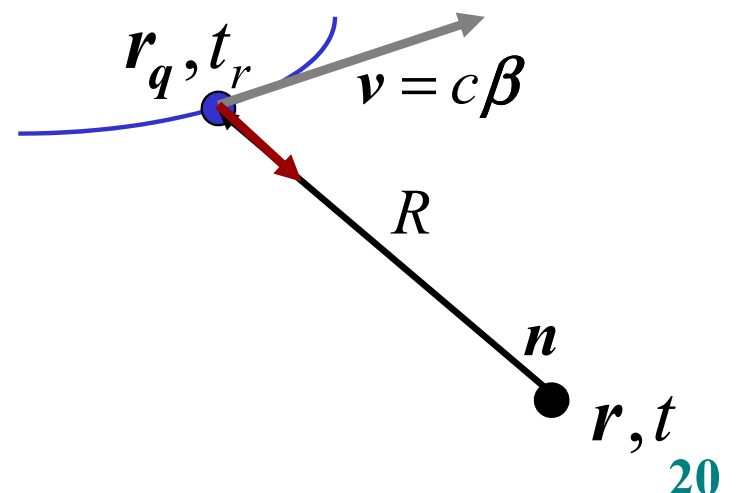
jednoduchý, ale netriviální  
výsledek

například skalární potenciál:

$$\Phi(r, t) = \frac{q}{4\pi\epsilon_0} \frac{1}{R(1 - n\beta)} \Big|_{t_r}$$

$$c \cdot (t - t_r) = |\mathbf{r} - \mathbf{r}_q(t_r)| \equiv R(t_r)$$

$$\beta = c^{-1} \mathbf{v}$$



# L'Éclairage Électrique

REVUE HEBDOMADAIRE D'ÉLECTRICITÉ

## DIRECTION SCIENTIFIQUE

A. CORNU, Professeur à l'École Polytechnique, Membre de l'Institut. — A. D'ARSONVAL, Professeur au Collège de France, Membre de l'Institut. — G. LIPPMANN, Professeur à la Sorbonne, Membre de l'Institut. — D. MONNIER, Professeur à l'École centrale des Arts et Manufactures. — H. POINCARÉ, Professeur à la Sorbonne, Membre de l'Institut. — A. POTIER, Professeur à l'École des Mines, Membre de l'Institut. — J. BLONDIN, Professeur agrégé de l'Université.

## POLE ELEKTRICKÉ A MAGNETICKÉ VYTVAŘENÉ ELEKTRICKÝM NÁBOJEM SOUSTŘEDĚNÝM DO BODU A POHÁNĚNÉ JEHO POHYBEM

Admettons qu'une masse électrique en mouvement de densité  $\rho$  et de vitesse  $u$  en chaque point produit le même champ qu'un courant de conduction d'intensité  $\rho u$ . En conservant les notations d'un précédent article<sup>(1)</sup> nous obtiendrons pour déterminer le champ, les équations

$$\frac{1}{4\pi} \left( \frac{du}{dy} - \frac{df}{dt} \right) = \rho u_x + \frac{df}{dt} \quad (1)$$

$$V^t \left( \frac{dh}{dy} - \frac{dF}{dt} \right) = - \frac{1}{4\pi} \frac{dx}{dt} \quad (2)$$

avec les analogues déduites par permutation tournante et en outre les suivantes

$$\dot{\rho} = \left( \frac{df}{dx} + \frac{dg}{dy} + \frac{dh}{dz} \right) \quad (3)$$

$$\frac{dx}{dt} + \frac{d\beta}{dy} + \frac{d\gamma}{dz} = 0. \quad (4)$$

De ce système d'équations on déduit facilement les relations

$$\left( V^t \frac{d^2}{dt^2} \right) f = V^t \frac{d\beta}{dx} + \frac{d}{dt} (\rho u_x) \quad (5)$$

$$\left( V^t \frac{d^2}{dt^2} \right) g = 4\pi V^t \left[ \frac{d}{dt} (\rho u_y) - \frac{d}{dy} (\rho u_z) \right] \quad (6)$$

<sup>(1)</sup> La théorie de Lorentz, *L'Eclairage Électrique*, t. XIV, p. 417.  $a_1, b_1, c_1$  sont les composantes de la force magnétique et  $f, g, h$ , celles du déplacement dans l'éther.

Soyons maintenant quatre fonctions  $\psi, F, G, H$  définies par les conditions

$$\left( V^t \frac{d^2}{dt^2} \right) \psi = - 4\pi V^t \rho. \quad (7)$$

$$\left( V^t \frac{d^2}{dt^2} \right) F = - 4\pi V^t \rho u_x \quad (8)$$

$$\left( V^t \frac{d^2}{dt^2} \right) G = - 4\pi \rho u_y \quad (9)$$

$$\left( V^t \frac{d^2}{dt^2} \right) H = - 4\pi V^t \rho u_z \quad (10)$$

On satisfara aux conditions (5) et (6) en prenant

$$4\pi f = - \frac{d\psi}{dx} - \frac{1}{V^t} \frac{dF}{dt} \quad (11)$$

$$g = \frac{dH}{dy} - \frac{dG}{dz}. \quad (12)$$

Quant aux équations (1) à (4), pour qu'elles soient satisfaites, il faudra que, en plus de (7) et (8), on ait la condition

$$\frac{d\psi}{dt} + \frac{dF}{dx} + \frac{dG}{dy} + \frac{dH}{dz} = 0. \quad (13)$$

Occupons-nous d'abord de l'équation (7). On sait que la solution la plus générale est la suivante :

$$\psi = \int \frac{\rho [x', y', z', t - \frac{r}{V^t}]}{r} dx' \quad (14)$$

První strana Liénardovy práce

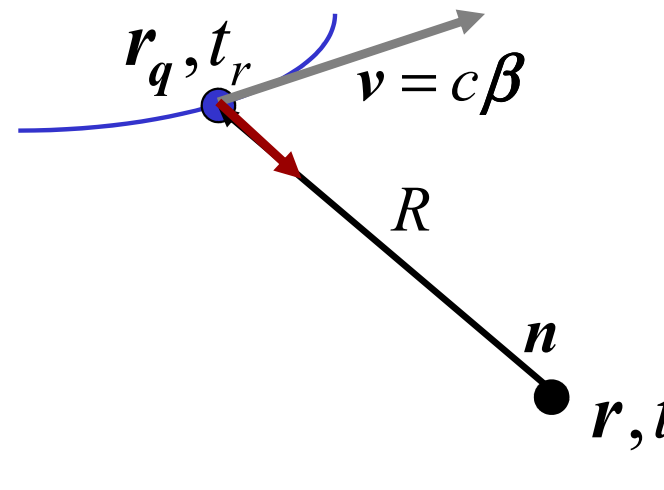
jednoduchý, ale netriviální  
výsledek

například skalární potenciál:

$$\Phi(r, t) = \frac{q}{4\pi\epsilon_0} \frac{1}{R(1 - n\beta)} \Big|_{t_r}$$

$$c \cdot (t - t_r) = |\mathbf{r} - \mathbf{r}_q(t_r)| \equiv R(t_r)$$

$$\beta = c^{-1} \mathbf{v}$$



# L'Éclairage Électrique

REVUE HEBDOMADAIRE D'ÉLECTRICITÉ

## DIRECTION SCIENTIFIQUE

A. CORNU, Professeur à l'École Polytechnique, Membre de l'Institut. — A. D'ARSONVAL, Professeur au Collège de France, Membre de l'Institut. — G. LIPPMANN, Professeur à la Sorbonne, Membre de l'Institut. — D. MONNIER, Professeur à l'École centrale des Arts et Manufactures. — H. POINCARÉ, Professeur à la Sorbonne, Membre de l'Institut. — A. POTIER, Professeur à l'École des Mines, Membre de l'Institut. — J. BLONDIN, Professeur agrégé de l'Université.

## CHAMP ÉLECTRIQUE ET MAGNÉTIQUE

PRODUIT PAR UNE CHARGE ÉLECTRIQUE CONCENTRÉE EN UN POINT ET ANIMÉE  
D'UN MOUVEMENT QUELCONQUE

Admettons qu'une masse électrique en mouvement de densité  $\rho$  et de vitesse  $u$  en chaque point produit le même champ qu'un courant de conduction d'intensité  $\rho u$ . En conservant les notations d'un précédent article<sup>(1)</sup> nous obtiendrons pour déterminer le champ, les équations

$$\frac{1}{4\pi} \left( \frac{du}{dy} - \frac{df}{dt} \right) = \rho u_x + \frac{df}{dt} \quad (1)$$

$$V^2 \left( \frac{dh}{dy} - \frac{dF}{dt} \right) = - \frac{1}{4\pi} \frac{dx}{dt} \quad (2)$$

avec les analogues déduites par permutation tournante et en outre les suivantes

$$\dot{\rho} = \left( \frac{df}{dx} + \frac{dg}{dy} + \frac{dh}{dz} \right) \quad (3)$$

$$\frac{dx}{dt} + \frac{d\beta}{dy} + \frac{d\gamma}{dz} = 0. \quad (4)$$

De ce système d'équations on déduit facilement les relations

$$\left( V^2 \frac{d}{dt} - \frac{d^2}{dt^2} \right) f = V^2 \frac{d\beta}{dx} + \frac{d}{dt} (\rho u_x) \quad (5)$$

$$\left( V^2 \frac{d}{dt} - \frac{d^2}{dt^2} \right) g = 4\pi V^2 \left[ \frac{d}{dt} (\rho u_y) - \frac{d}{dy} (\rho u_z) \right] \quad (6)$$

<sup>(1)</sup> La théorie de Lorentz, *L'Éclairage Électrique*, t. XIV, p. 417.  $u_x, \beta_x, \gamma_x$  sont les composantes de la force magnétique et  $f, g, h$ , celles du déplacement dans l'éther.

Soyons maintenant quatre fonctions  $\psi, F, G, H$  définies par les conditions

$$\left( V^2 \frac{d}{dt} - \frac{d^2}{dt^2} \right) \psi = - 4\pi V^2 \rho. \quad (7)$$

$$\left( V^2 \frac{d}{dt} - \frac{d^2}{dt^2} \right) F = - 4\pi V^2 \rho u_x \quad (8)$$

$$\left( V^2 \frac{d}{dt} - \frac{d^2}{dt^2} \right) G = - 4\pi \rho u_y \quad (9)$$

$$\left( V^2 \frac{d}{dt} - \frac{d^2}{dt^2} \right) H = - 4\pi V^2 \rho u_z \quad (10)$$

On satisfara aux conditions (5) et (6) en prenant

$$4\pi f = - \frac{d\psi}{dx} - \frac{1}{V^2} \frac{dF}{dt} \quad (11)$$

$$g = \frac{dH}{dy} - \frac{dG}{dt}. \quad (12)$$

Quant aux équations (1) à (4), pour qu'elles soient satisfaites, il faudra que, en plus de (7) et (8), on ait la condition

$$\frac{d\psi}{dt} + \frac{dF}{dx} + \frac{dG}{dy} + \frac{dH}{dz} = 0. \quad (13)$$

Occupons-nous d'abord de l'équation (7).

On sait que la solution la plus générale est la suivante :

$$\psi = \int \frac{\rho [x', y', z', t - \frac{r}{V}]}{r} dx' \quad (14)$$

První strana Liénardovy práce

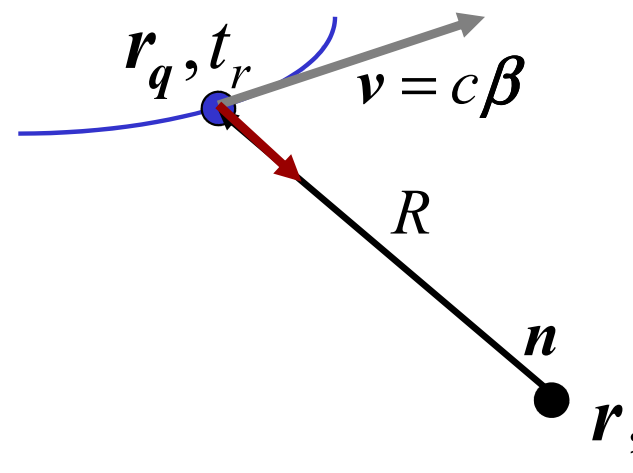
jednoduchý, ale netriviální  
výsledek

například skalární potenciál:

$$\Phi(r, t) = \frac{q}{4\pi\epsilon_0} \frac{1}{R(1 - n\beta)} \Big|_{t_r}$$

$$c \cdot (t - t_r) = |\mathbf{r} - \mathbf{r}_q(t_r)| \equiv R(t_r)$$

$$\beta = c^{-1} \mathbf{v}$$



# L'Éclairage Électrique

REVUE HEBDOMADAIRE D'ÉLECTRICITÉ

## DIRECTION SCIENTIFIQUE

A. CORNU, Professeur à l'École Polytechnique, Membre de l'Institut. — A. D'ARSONVAL, Professeur au Collège de France, Membre de l'Institut. — G. LIPPMANN, Professeur à la Sorbonne, Membre de l'Institut. — D. MONNIER, Professeur à l'École centrale des Arts et Manufactures. — H. POINCARÉ, Professeur à la Sorbonne, Membre de l'Institut. — A. POTIER, Professeur à l'École des Mines, Membre de l'Institut. — J. BLONDIN, Professeur agrégé de l'Université.

## CHAMP ÉLECTRIQUE ET MAGNÉTIQUE

PRODUIT PAR UNE CHARGE ÉLECTRIQUE CONCENTRÉE EN UN POINT ET ANIMÉE  
D'UN MOUVEMENT QUELCONQUE

Admettons qu'une masse électrique en mouvement de densité  $\rho$  et de vitesse  $u$  en chaque point produit le même champ qu'un courant de conduction d'intensité  $\mu_3$ . En conservant les notations d'un précédent article (<sup>1</sup>) nous obtiendrons pour déterminer le champ, les équations

$$\frac{1}{4\pi} \left( \frac{du}{dy} - \frac{d^3}{dt} \right) = \rho u_x + \frac{df}{dt} \quad (1)$$

$$Vt \left( \frac{dh}{dy} - \frac{dF}{dt} \right) = - \frac{1}{4\pi} \frac{dx}{dt} \quad (2)$$

avec les analogues déduites par permutation

Soyons maintenant quatre fonctions  $\psi$ ,  $F$ ,  $G$ ,  $H$  définies par les conditions

$$\left( V^2 \Delta - \frac{d^2}{dt^2} \right) \psi = - 4\pi V^2 \rho. \quad (7)$$

$$\left( V^2 \Delta - \frac{d^2}{dt^2} \right) F = - 4\pi V^2 \rho u_x \quad (8)$$

$$\left( V^2 \Delta - \frac{d^2}{dt^2} \right) G = - 4\pi \rho u_y \quad (9)$$

$$\left( V^2 \Delta - \frac{d^2}{dt^2} \right) H = - 4\pi V^2 \rho u_z \quad (10)$$

On satisfera aux conditions (5) et (6) en prenant

On sait que la solution la plus générale est la suivante :

$$\psi = \int \frac{\rho [x', y', z', t - \frac{r}{v}]}{r} du' \quad (12)$$

První strana Liénardovy práce

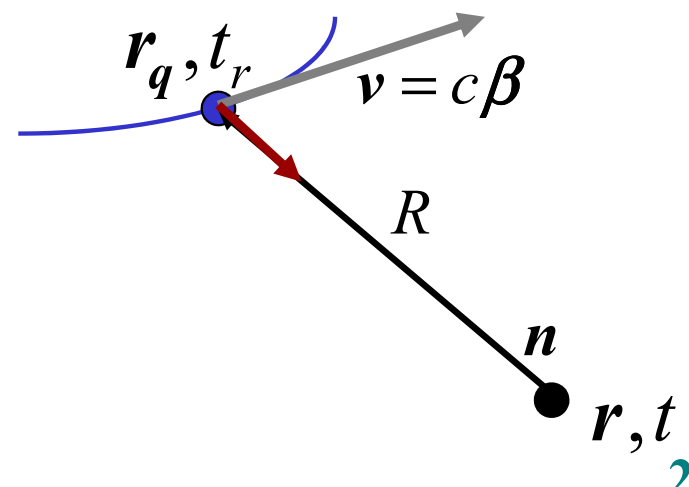
*jednoduchý, ale netriviální  
výsledek*

například skalární potenciál:

$$\Phi(r, t) = \frac{q}{4\pi\epsilon_0} \frac{1}{R(1 - n\beta)} \Big|_{t_r}$$

$$c \cdot (t - t_r) = |\mathbf{r} - \mathbf{r}_q(t_r)| \equiv R(t_r)$$

$$\beta = c^{-1} \mathbf{v}$$



# L'Éclairage Électrique

REVUE HEBDOMADAIRE D'ÉLECTRICITÉ

## DIRECTION SCIENTIFIQUE

A. CORNU, Professeur à l'École Polytechnique, Membre de l'Institut. — A. D'ARSONVAL, Professeur au Collège de France, Membre de l'Institut. — G. LIPPMANN, Professeur à la Sorbonne, Membre de l'Institut. — D. MONNIER, Professeur à l'École centrale des Arts et Manufactures. — H. POINCARÉ, Professeur à la Sorbonne, Membre de l'Institut. — A. POTIER, Professeur à l'École des Mines, Membre de l'Institut. — J. BLONDIN, Professeur agrégé de l'Université.

## CHAMP ÉLECTRIQUE ET MAGNÉTIQUE

PRODUIT PAR UNE CHARGE ÉLECTRIQUE CONCENTRÉE EN UN POINT ET ANIMÉE  
D'UN MOUVEMENT QUELCONQUE

Admettons qu'une masse électrique en mouvement de densité  $\rho$  et de vitesse  $v$  en chaque point produit le même champ qu'un courant de conduction d'intensité  $\mu_0$ . En conservant les notations d'un précédent article (<sup>1</sup>) nous obtiendrons pour déterminer le champ, les équations

$$\frac{1}{4\pi} \left( \frac{dv_x}{dy} - \frac{d^3}{dt} \right) = \rho u_x + \frac{df}{dt} \quad (1)$$

$$Vt \left( \frac{dh}{dy} - \frac{dF}{dt} \right) = - \frac{1}{4\pi} \frac{dz}{dt} \quad (2)$$

avec les analogues déduites par permutation

Soyons maintenant quatre fonctions  $\psi$ ,  $F$ ,  $G$ ,  $H$  définies par les conditions

$$\left( V^2 \psi - \frac{d^2}{dt^2} \right) \psi = - 4\pi V^2 \rho. \quad (7)$$

$$\left( V^2 \psi - \frac{d^2}{dt^2} \right) F = - 4\pi V^2 \rho u_x \quad (8)$$

$$\left( V^2 \psi - \frac{d^2}{dt^2} \right) G = - 4\pi \rho u_y \quad (9)$$

$$\left( V^2 \psi - \frac{d^2}{dt^2} \right) H = - 4\pi V^2 \rho u_z \quad (10)$$

On satisfera aux conditions (5) et (6) en prenant

On sait que la solution la plus générale est la suivante :

$$\Phi = \int \frac{\rho(x', y', z', t - \frac{r}{c})}{4\pi \epsilon_0 r} dV' \quad (12)$$

První strana Liénardovy práce

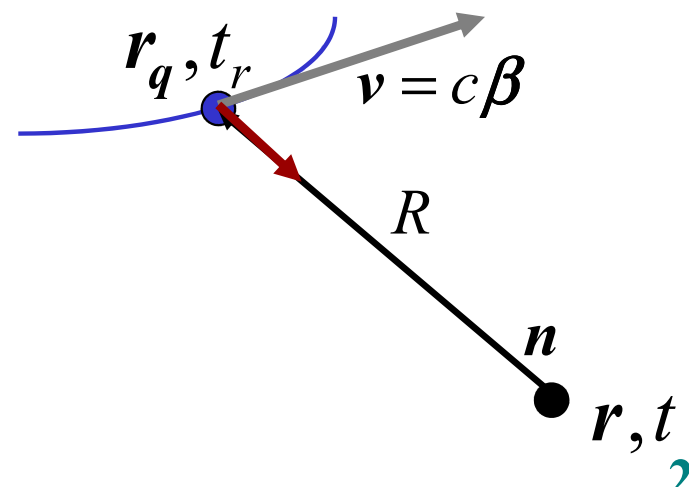
*jednoduchý, ale netriviální  
výsledek*

například skalární potenciál:

$$\Phi(r, t) = \frac{q}{4\pi \epsilon_0} \frac{1}{R(1 - n\beta)} \Big|_{t_r}$$

$$c \cdot (t - t_r) = |\mathbf{r} - \mathbf{r}_q(t_r)| \equiv R(t_r)$$

$$\beta = c^{-1} \mathbf{v}$$



# L'Éclairage Électrique

REVUE HEBDOMADAIRE D'ÉLECTRICITÉ

## DIRECTION SCIENTIFIQUE

A. CORNU, Professeur à l'École Polytechnique, Membre de l'Institut. — A. D'ARSONVAL, Professeur au Collège de France, Membre de l'Institut. — G. LIPPMANN, Professeur à la Sorbonne, Membre de l'Institut. — D. MONNIER, Professeur à l'École centrale des Arts et Manufactures. — H. POINCARÉ, Professeur à la Sorbonne, Membre de l'Institut. — A. POTIER, Professeur à l'École des Mines, Membre de l'Institut. — J. BLONDIN, Professeur agrégé de l'Université.

## CHAMP ÉLECTRIQUE ET MAGNÉTIQUE

PRODUIT PAR UNE CHARGE ÉLECTRIQUE CONCENTRÉE EN UN POINT ET ANIMÉE  
D'UN MOUVEMENT QUELCONQUE

Admettons qu'une masse électrique en mouvement de densité  $\rho$  et de vitesse  $v$  en chaque point produit le même champ qu'un courant de conduction d'intensité  $\mu_0$ . En conservant les notations d'un précédent article (<sup>1</sup>) nous obtiendrons pour déterminer le champ, les équations

$$\frac{1}{4\pi} \left( \frac{dv_x}{dy} - \frac{dv_y}{dz} \right) = \rho u_x + \frac{df}{dt} \quad (1)$$

$$V^2 \left( \frac{dh}{dy} - \frac{dF}{dz} \right) = - \frac{1}{4\pi} \frac{dx}{dt} \quad (2)$$

avec les analogues déduites par permutation

Soyons maintenant quatre fonctions  $\psi$ ,  $F$ ,  $G$ ,  $H$  définies par les conditions

$$\left( V^2 \psi - \frac{d^2}{dt^2} \right) \psi = - 4\pi V^2 \rho. \quad (7)$$

$$\left( V^2 \psi - \frac{d^2}{dt^2} \right) F = - 4\pi V^2 \rho u_x \quad (8)$$

$$\left( V^2 \psi - \frac{d^2}{dt^2} \right) G = - 4\pi \rho u_y \quad (9)$$

$$\left( V^2 \psi - \frac{d^2}{dt^2} \right) H = - 4\pi V^2 \rho u_z \quad (10)$$

On satisfera aux conditions (5) et (6) en prenant

On sait que la solution la plus générale est la suivante :

$$\Phi = \int \frac{\rho(x', y', z', t - \frac{r}{c})}{4\pi \epsilon_0 r} dV' \quad (12)$$

$$\rho(r, t) = q \cdot \delta(r - r_q(t))$$

První strana Liénardovy práce

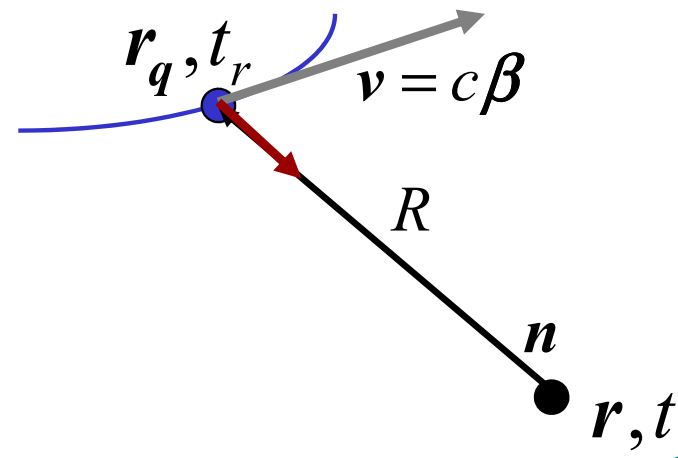
*jednoduchý, ale netriviální  
výsledek*

například skalární potenciál:

$$\Phi(r, t) = \frac{q}{4\pi \epsilon_0} \frac{1}{R(1 - n\beta)} \Big|_{t_r}$$

$$c \cdot (t - t_r) = |r - r_q(t_r)| \equiv R(t_r)$$

$$\beta = c^{-1} v$$

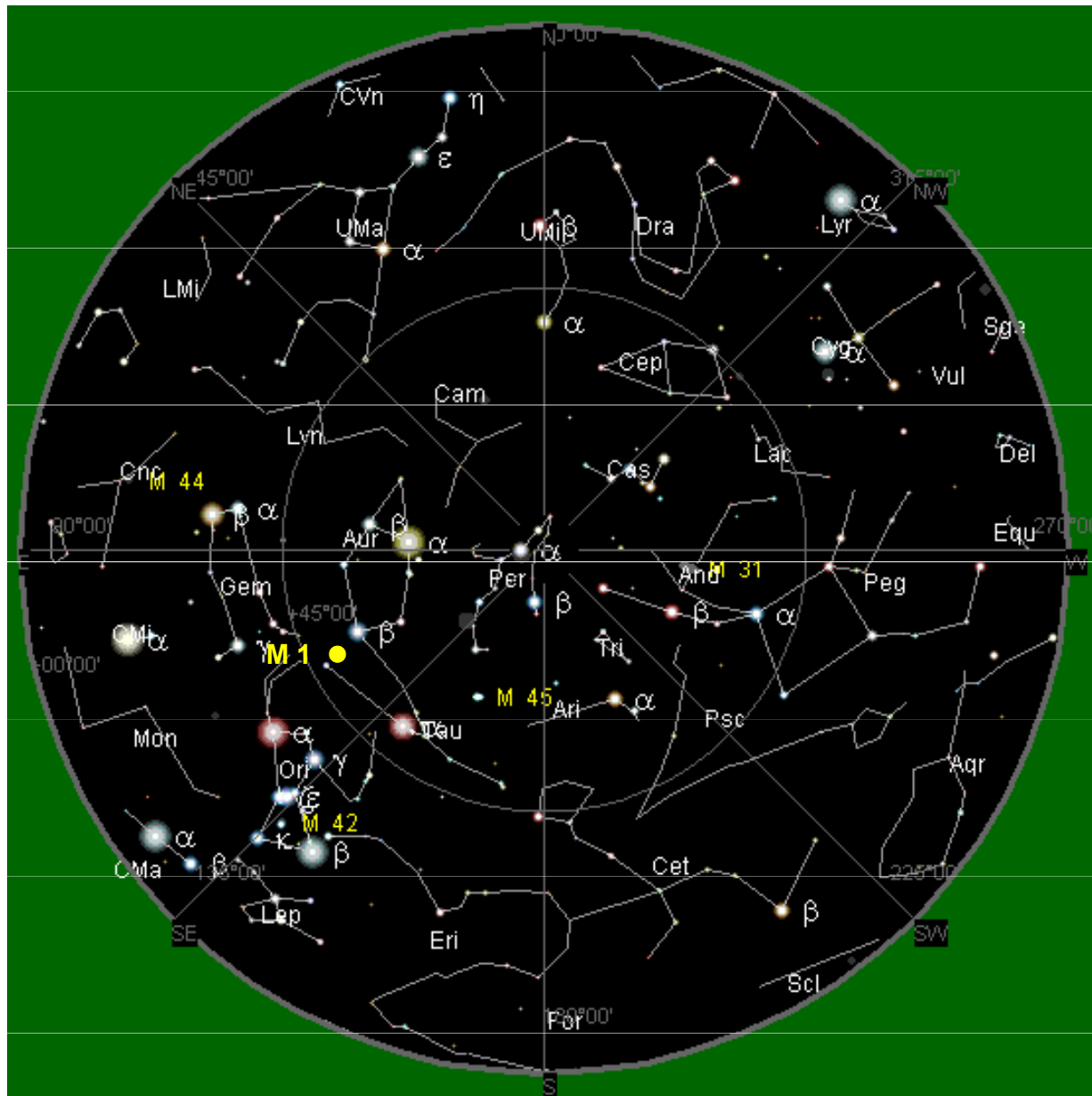


## *SZ na nebi a na zemi*

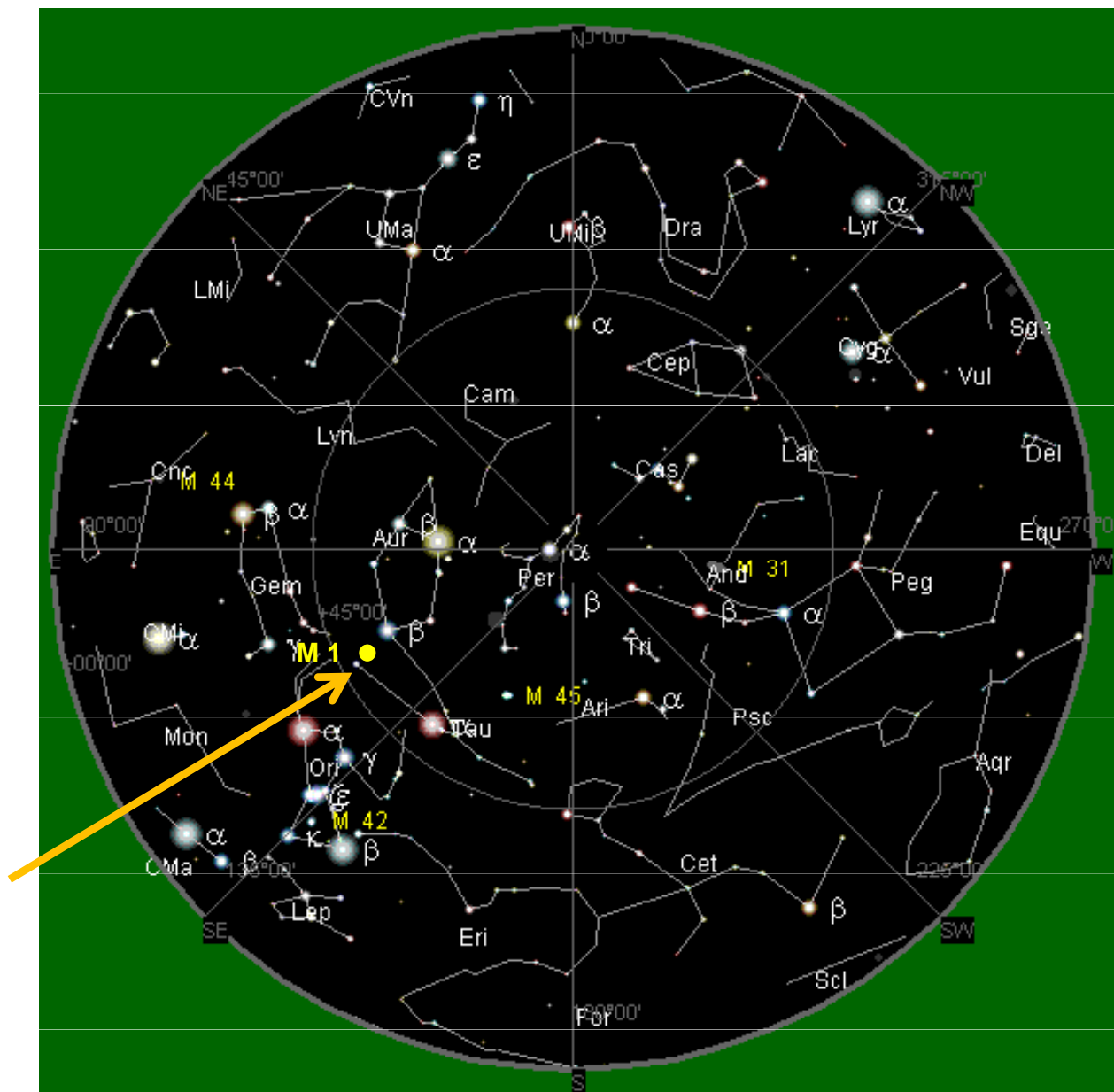
U nebeských objektů je SZ jedním z  
nejvýznamnějších typů záření  
netepelného původu                    ... *malá exkurze*

Na Zemi jsou zdroje SZ ojedinělé jako zařízení,  
kde se setkáme s ultrarelativistickými elektrony      v  
každodenním životě                    ... *o tom dále*

# SZ ve vesmíru: Krabí mlhovina



# SZ ve vesmíru: Krabí mlžovina



Pozůstatek supernovy  
z r. 1054  
(tenkrát viditelná i za dne)

v souhvězdí Taurus (Býk)

je to M1 v Messierově  
katalogu z r. 1774

**Je to nejznámější, ale  
typický případ zdroje  
synchrotronového záření  
přicházejícího z vesmíru**

## *SZ ve vesmíru: Krabí mlžovina*



snímek Hubble

Pozůstatek supernovy  
z r. 1054  
(tenkrát viditelná i za dne)

v souhvězdí Taurus (*Býk*)

je to M1 v Messierově  
katalogu z r.1774

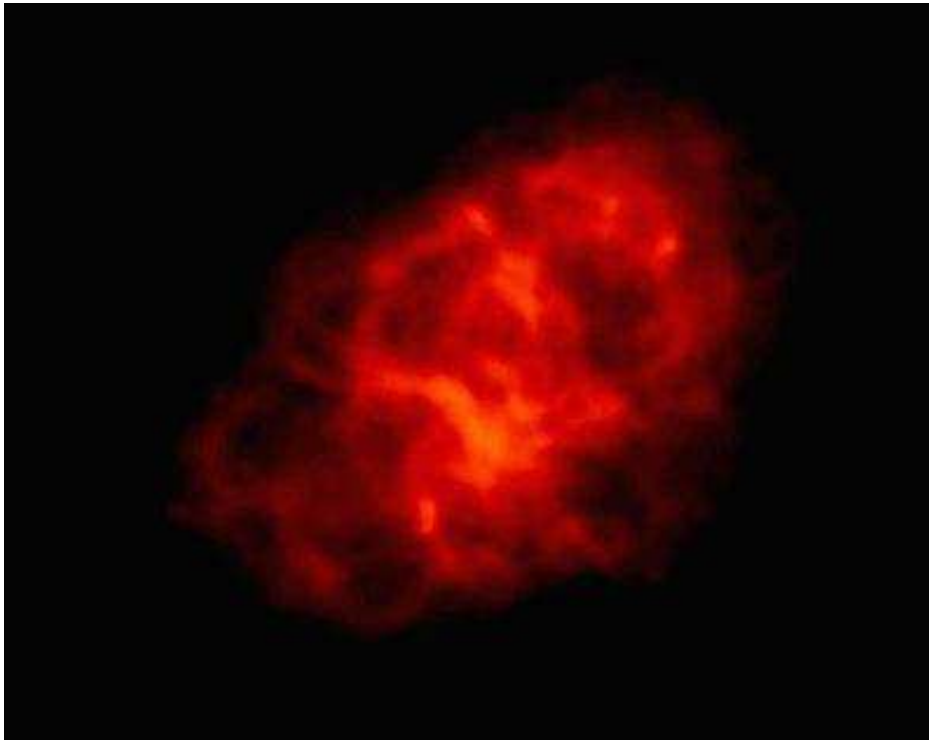
rozpíná se rychlostí 1450 km/s

modrá místa ... SZ v radiové i  
viditelné spektrální oblasti

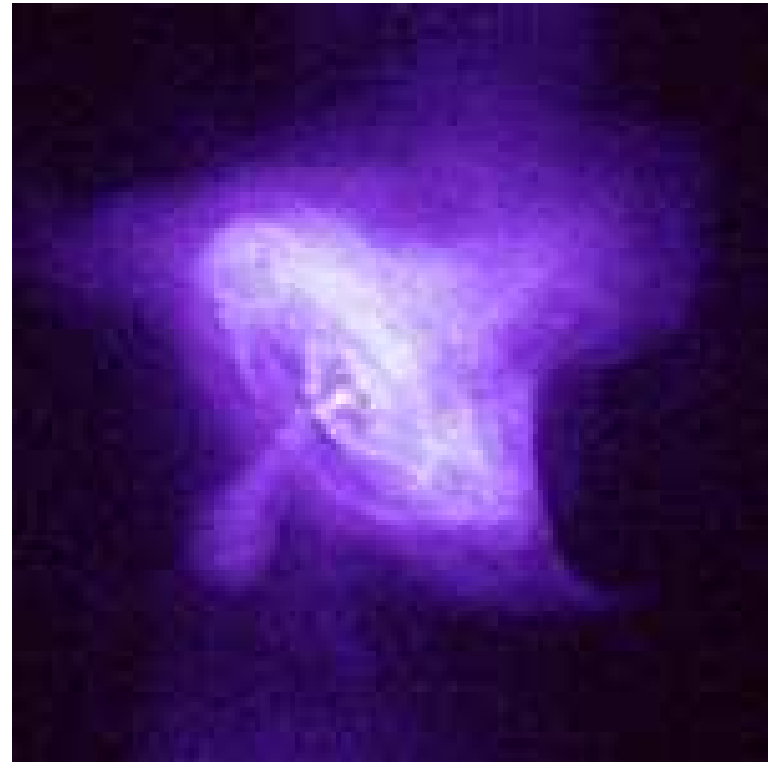
uprostřed neutronová hvězda  
doplňující vyzářenou energii

rotuje s periodou 0.031 s ⇒  
silné magnetické pole,  
v něm letí výtrysky částic ⇒  
SZ od RF po gamma záření s  
maximem v rtg oblasti

## *SZ ve vesmíru : Krabí mlhovina*

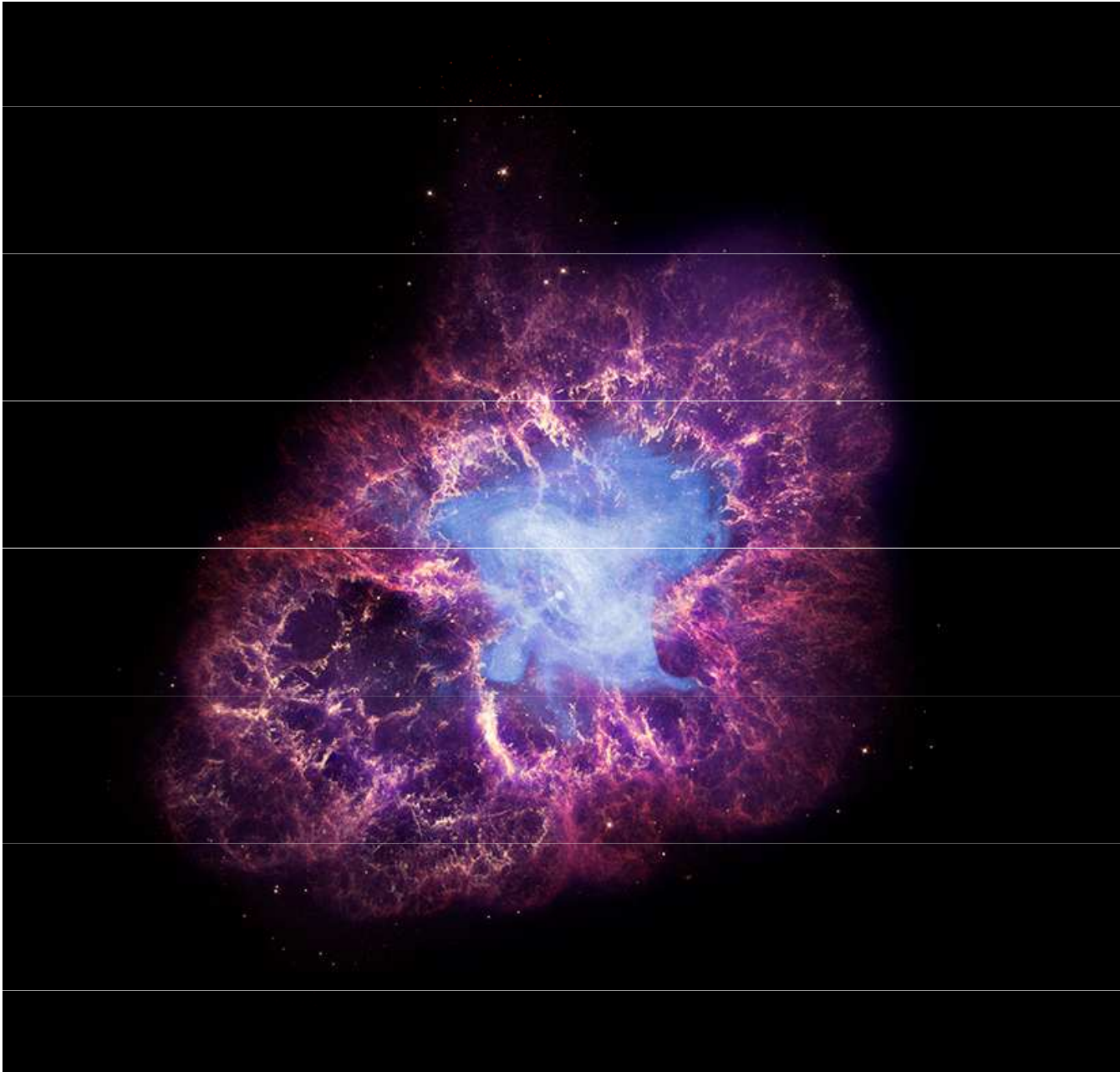


Roku 1948 byly zachyceny rádiové vlny pocházející z Krabí mlhoviny, hned po objevení Cassiopeia A.



Krabí mlhovina nejvíce září v rentgenovém oboru.  
První pozorování 1963.  
Tento snímek Chandra X-Ray Observatory 2008

## *SZ ve vesmíru : Krabí mlhovina*



Složený snímek:

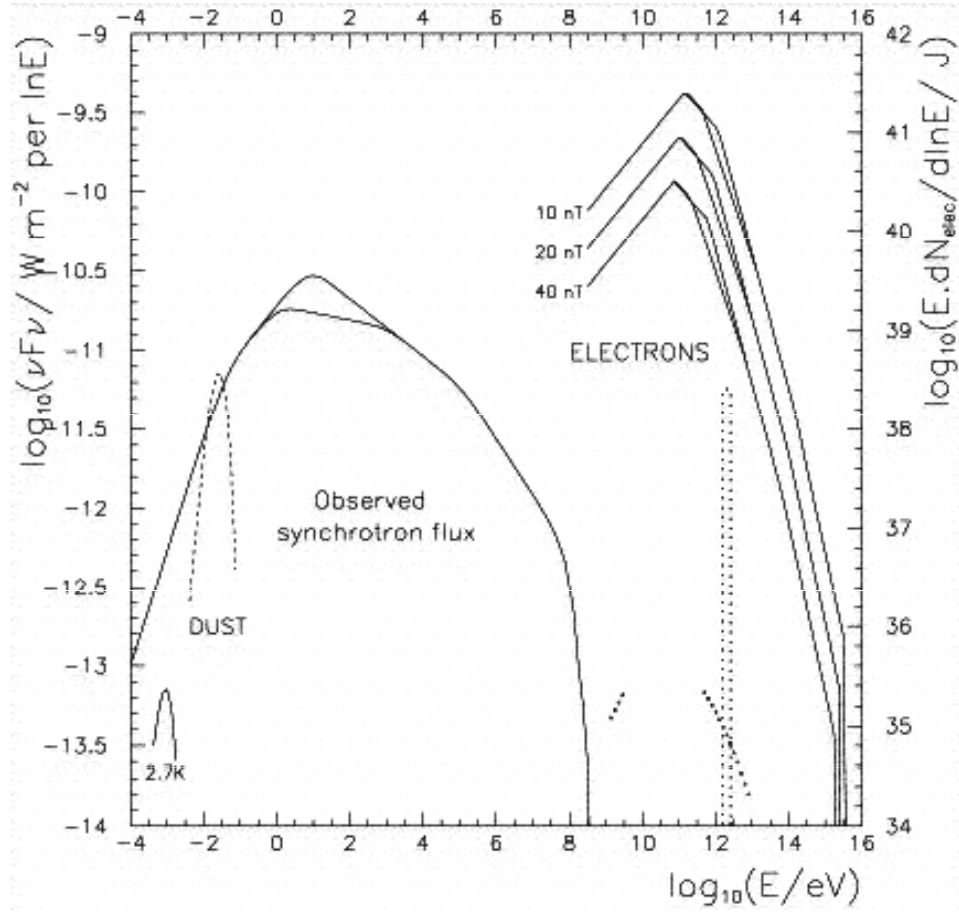
- Fialově : optický obraz z Hubbla,
- Modře: rtg. snímek z Chandry.

Modrá oblast je menší, protože elektrony se zpomalí a pak už tolik nezáří v rtg. oboru.

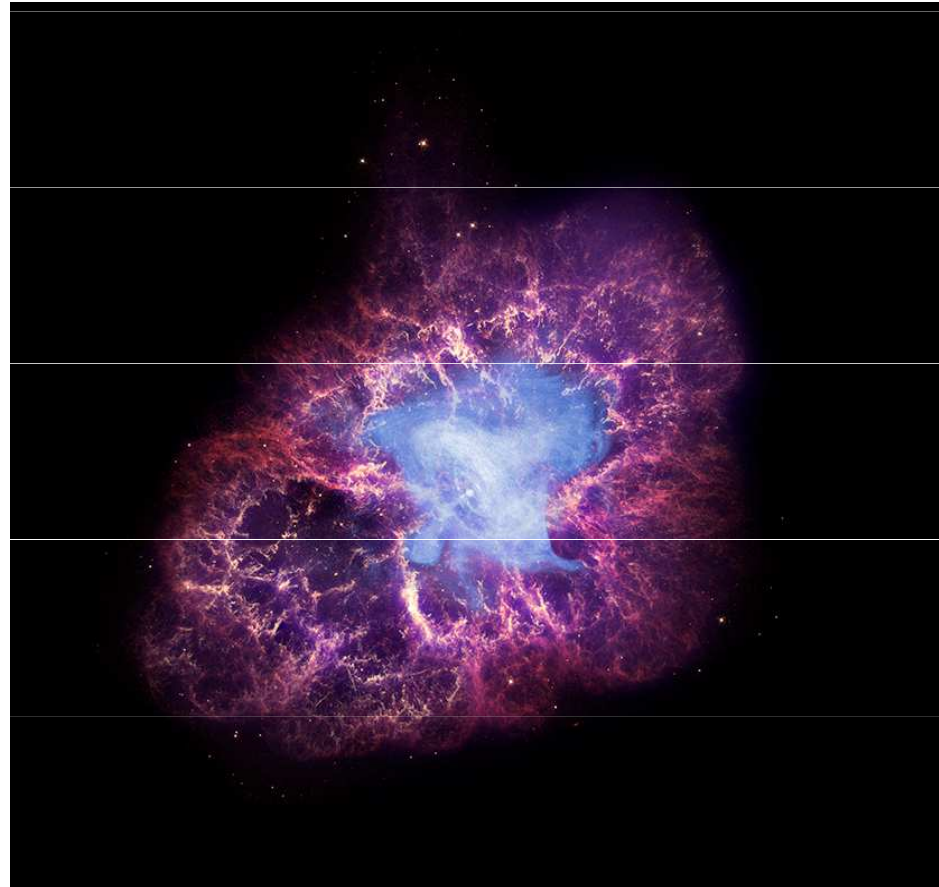
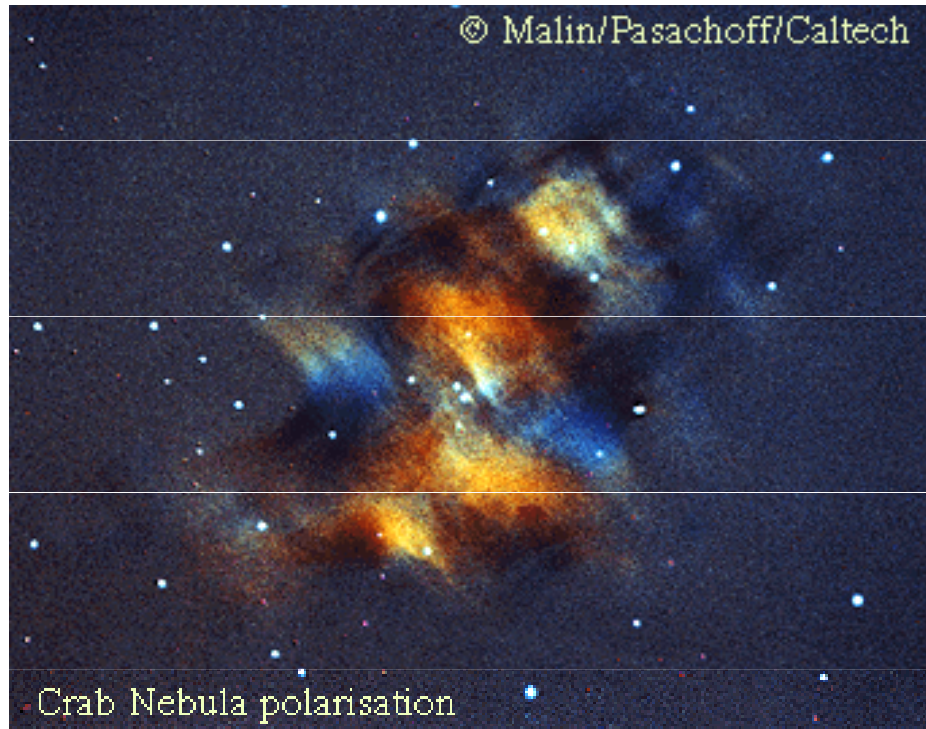
Úhlový rozměr je 5 minut

Vzdálenost ~ 6000 sv.r.  
Průměr ~ 9 sv.r.

# *Spektrální charakteristika odpovídá SZ*



*Vlevo: barevný kód ukazuje polarisaci záření*



## *Vznik SZ v synchrotronu (a v prostoru)*

Když ultrarelativistické elektrony krouží v konstantním magnetickém poli, vyzařují elmg. vlny v kuželi ostře kolimovaném ve směru pohybu.

Spektrum záření je kvazispojité. Jeho střed má frekvenci nesrovnatelně vyšší, než je frekvence oběhu elektronu samého.

# Rychlý a pomalý kruhový pohyb elektronu

KLASICKÝ  
OBRÁZEK ZE  
VŠECH UČEBNIC

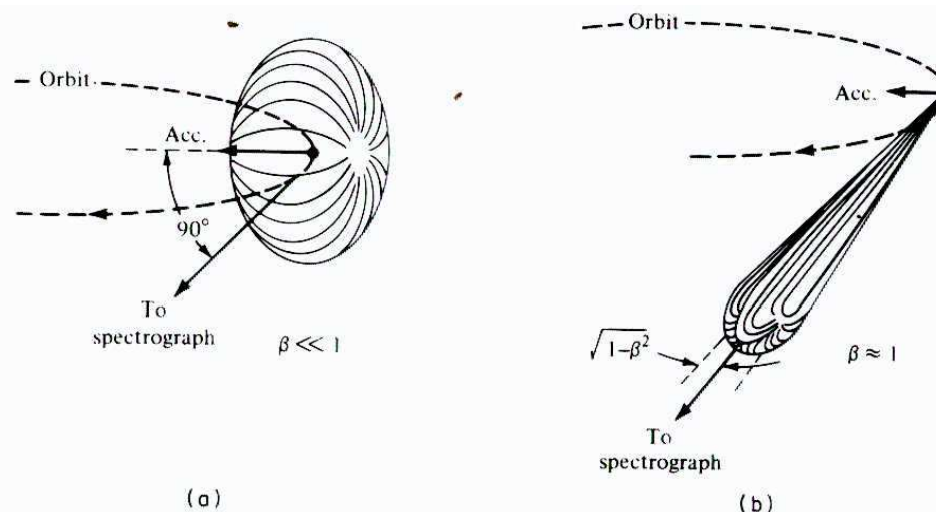


Figure 17.1 Angular intensity distribution of slow (a) and relativistic (b) electrons on a circular orbit. The dipole pattern (a) is strongly distorted (b) into the forward direction because of the relativistic speed of the electron;  $\beta$ , velocity in units of  $c$ . (From Tomboulian and Hartman<sup>5</sup>)

# Rychlý a pomalý kruhový pohyb elektronu

**KLASICKÝ  
OBRÁZEK ZE  
VŠECH UČEBNIC**

při pomalém pohybu elektron na kruhové dráze září jako superposice dvou vzájemně kolmých dipólů, tedy

**kosinový zářič s okamžitým dipolem kolmým na tečnu ke kruhové dráze**

vyzařovaná frekvence  
=  $1 / \text{oběžná doba}$   
... cyklotronová nebo Larmorova frekvence

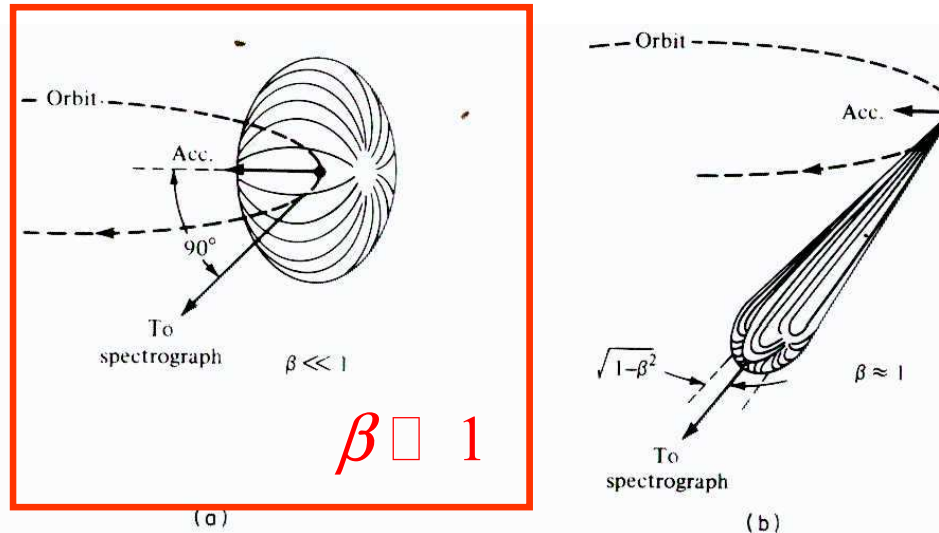


Figure 17.1 Angular intensity distribution of slow (a) and relativistic (b) electrons on a circular orbit. The dipole pattern (a) is strongly distorted (b) into the forward direction because of the relativistic speed of the electron;  $\beta$ , velocity in units of  $c$ . (From Tomboulian and Hartman<sup>5</sup>)

**cyklotronové  
nebo  
betatronové  
záření**

# Rychlý a pomalý kruhový pohyb elektronu

**KLASICKÝ  
OBRÁZEK ZE  
VŠECH UČEBNIC**

při pomalém pohybu elektron na kruhové dráze září jako superposice dvou vzájemně kolmých dipólů, tedy

**kosinový zářič s okamžitým dipolem kolmým na tečnu ke kruhové dráze**

vyzařovaná frekvence =  $1/\text{oběžná doba}$   
... cyklotronová nebo Larmorova frekvence

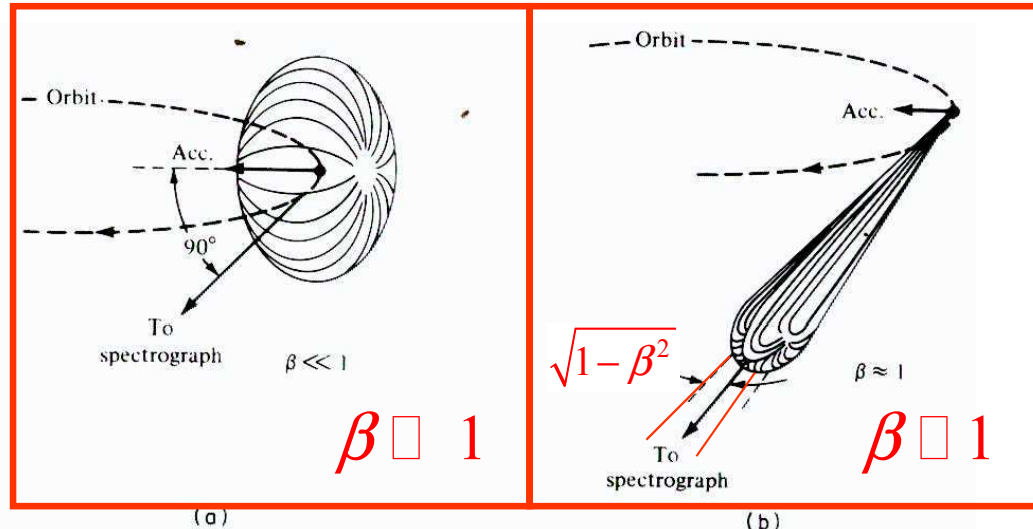


Figure 17.1 Angular intensity distribution of slow (a) and relativistic (b) electrons on a circular orbit. The dipole pattern (a) is strongly distorted (b) into the forward direction because of the relativistic speed of the electron;  $\beta$ , velocity in units of  $c$ . (From Tomboulian and Hartman<sup>5</sup>)

cyklotronové  
nebo  
betatronové  
záření

synchrotronové  
záření

při rychlém pohybu elektron na kruhové dráze sám sebe zase vnímá jako superposici dvou vzájemně kolmých dipólů,

**pozorovatel však vnímá vlny po Lorentzově transformaci, tedy silně kolimované vpřed**

vyzařované spektrum kvasispojité:  
vysoké harmonické Larmorovy frekvence

# Ultrarelativistický elektron

## *Ultrarelativistický elektron*

klidová energie elektronu

$$E_0 = m_0 c^2 = 0.5 \text{ MeV}$$

typická energie v synchrotronu

$$E = 2 - 6 \text{ GeV}$$

typická hodnota  $\gamma = E / E_0 = m / m_0$        $\gamma = 4000 - 12000$

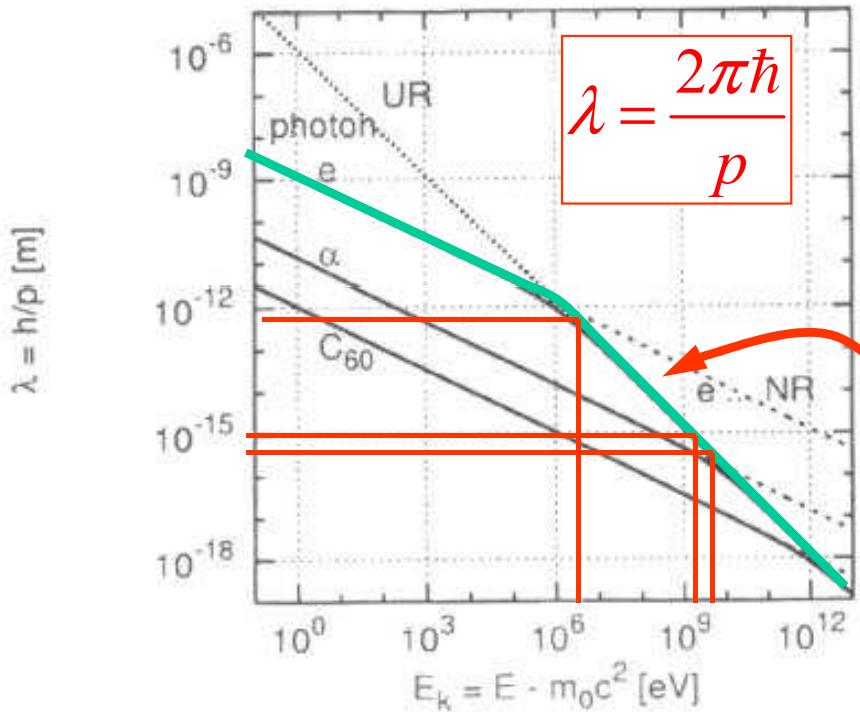
Vztah  $\beta$  a  $\gamma$

$$\beta = \frac{v}{c}$$

$$\gamma = \frac{1}{\sqrt{1 - \beta^2}} \quad \beta = \sqrt{1 - \frac{1}{\gamma^2}}$$

$$\gamma = 10000 \quad \beta \approx 1 - \frac{1}{2\gamma^2} \cong 1 - 5 \times 10^{-7} \quad v \leftarrow c$$

# Realistické vlnové délky elektronů v synchrotronu



ZÁSOBNÍK VZORCŮ

$$\beta = \frac{v}{c}$$

$$E = mc^2 = \frac{m_0}{\sqrt{1 - \beta^2}} c^2 \equiv \gamma m_0 c^2 = \gamma E_0$$

$$E = m_0 c^2 + E_{\text{kin}}$$

$$p = mv = m_0 c \cdot \gamma \beta = m_0 c \sqrt{\gamma^2 - 1}$$

$$P = \sqrt{\frac{E_{\text{kin}}^2}{c^2} + 2m_0 E_{\text{kin}}}$$

LIMITY (explicitní hodnoty platí pro elektrony)

nerelativistická

$$E_{\text{kin}} \ll m_0 c^2$$

$$\lambda = \frac{2\pi\hbar}{\sqrt{2m_0 E_{\text{kin}}}} = \frac{1.22}{\sqrt{E_{\text{kin}}}} \text{ (nm, eV)}$$

předěl

$$E_{\text{kin}} \approx 2m_0 c^2$$

$$\approx 10^6 \text{ eV}$$

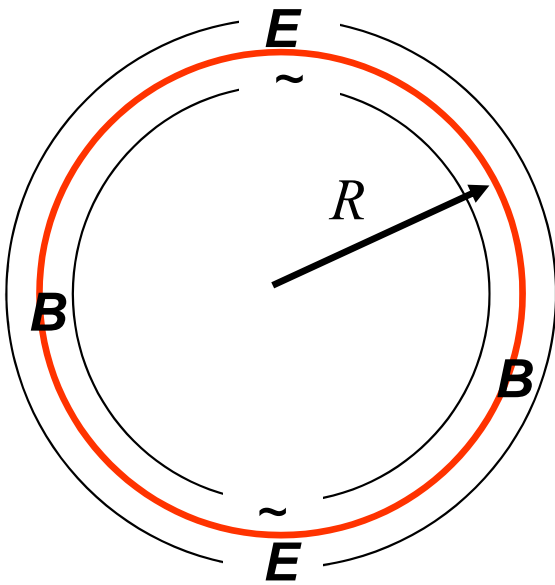
ultrarelativistická

$$E_{\text{kin}} \gg m_0 c^2$$

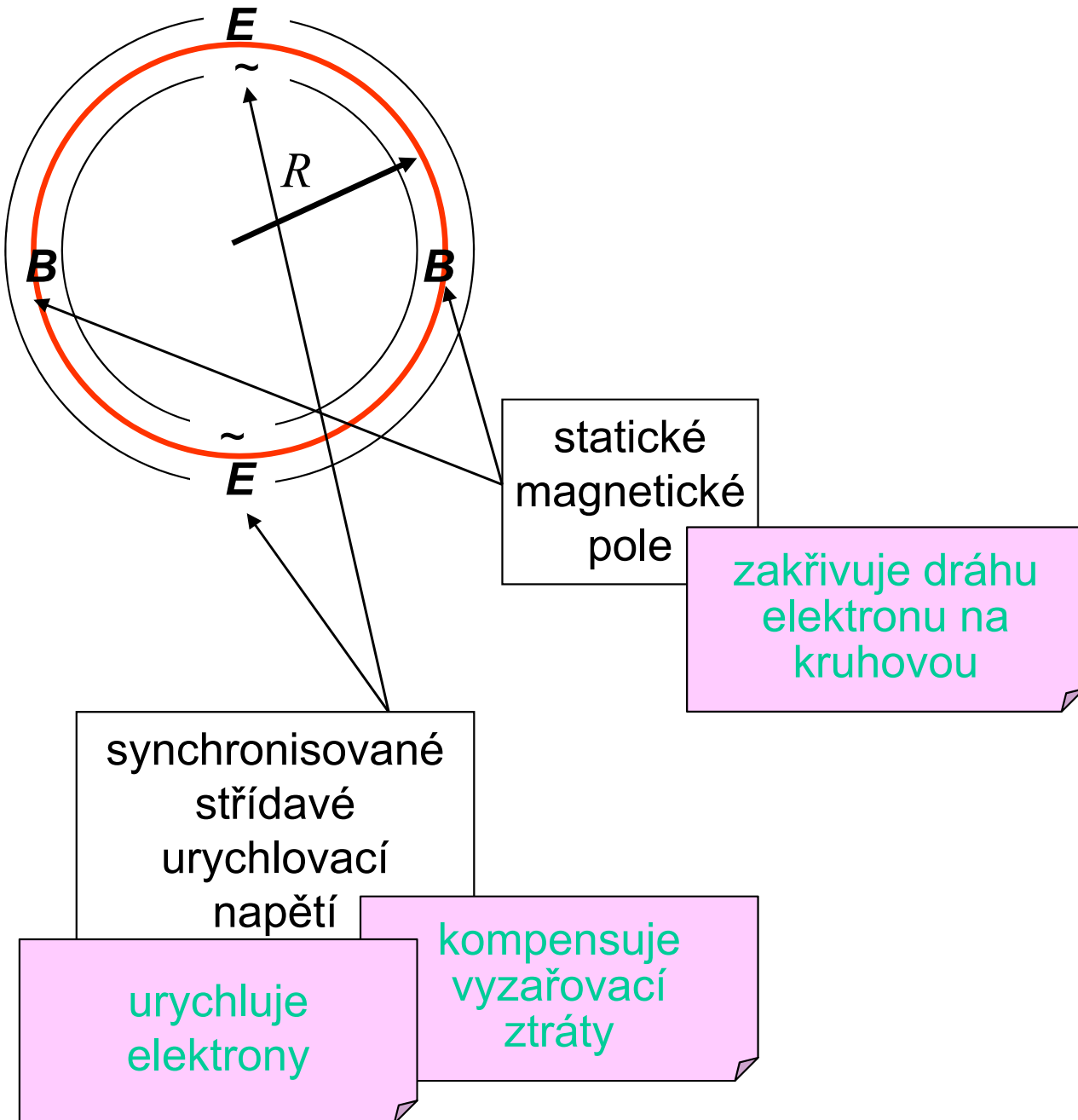
$$\lambda = \frac{2\pi\hbar c}{E_{\text{kin}}} = \frac{1.24}{E_{\text{kin}}} \text{ (\mu m, eV)}$$

Princip synchrotronu:  
Ultrarelativistický elektron  
na kruhové orbitě

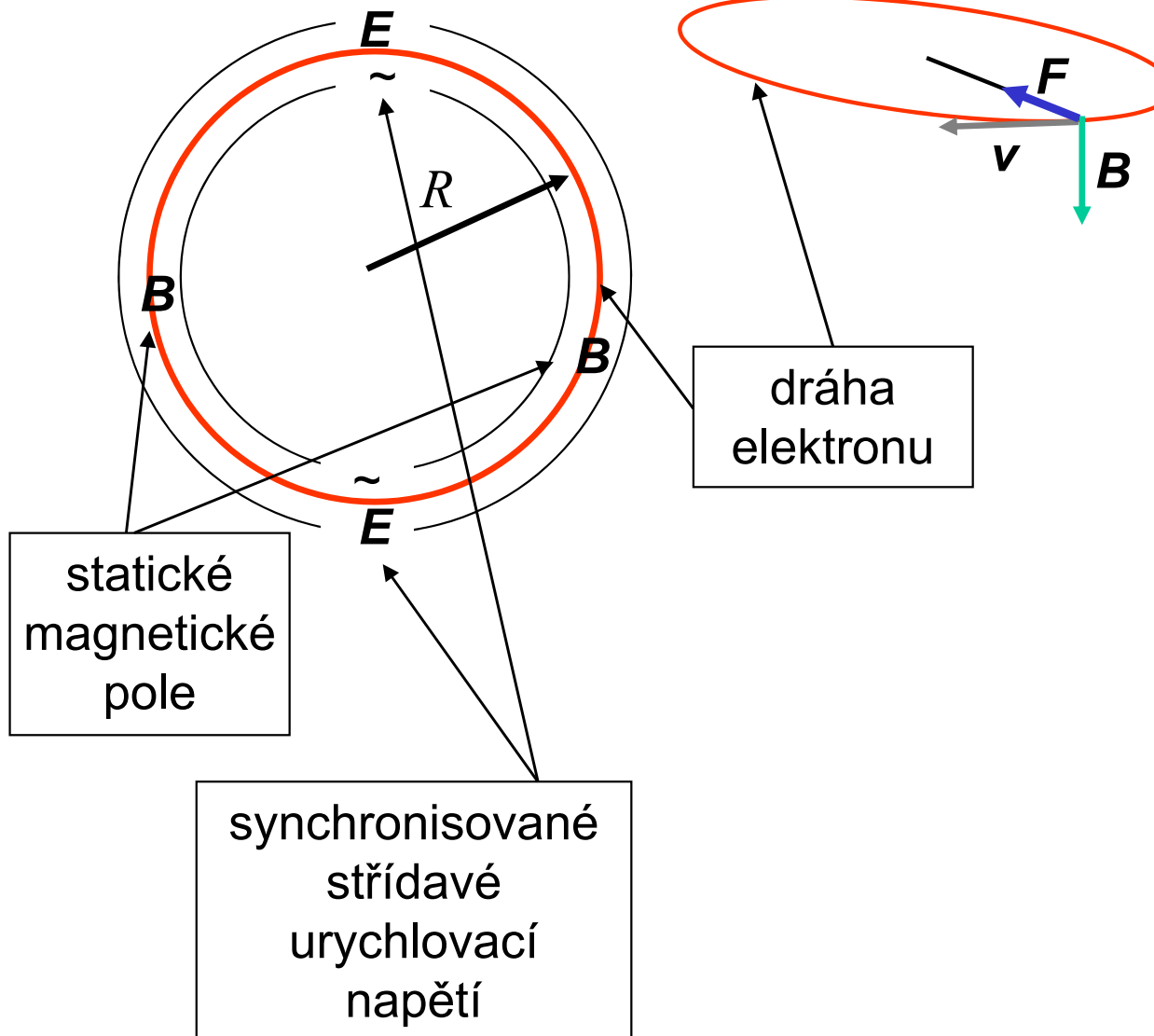
## *Princip synchrotronu*



## *Princip synchrotronu*



# Elektron na kruhové dráze



Lorentzova síla,  
pohybová rovnice

$$\frac{d}{dt}(m\mathbf{v}) = e(\mathbf{E} + \mathbf{v} \times \mathbf{B})$$

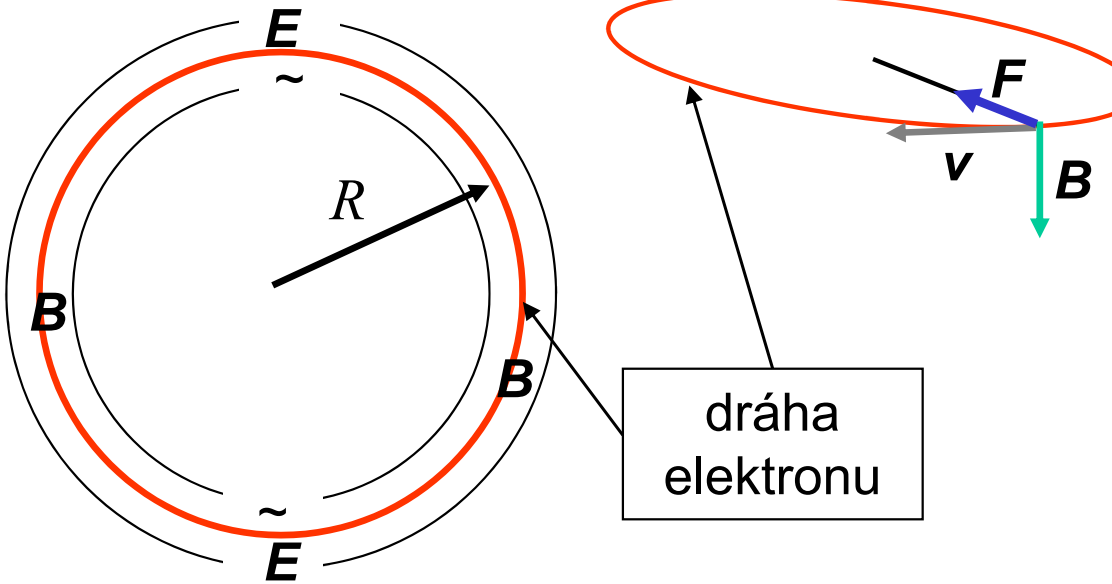
relativistická označení

$$\frac{v}{c} = \beta \quad E = mc^2 = m_0 c^2 \cdot \gamma$$

$$\frac{1}{c}\mathbf{v} = \beta \quad \gamma = \frac{1}{\sqrt{1 - \beta^2}}$$

$e < 0$

# Elektron na kruhové dráze



$$m \frac{v^2}{R} = evB$$

Lorentzova síla,  
pohybová rovnice

$$\frac{d}{dt}(mv) = e(E + v \times B)$$

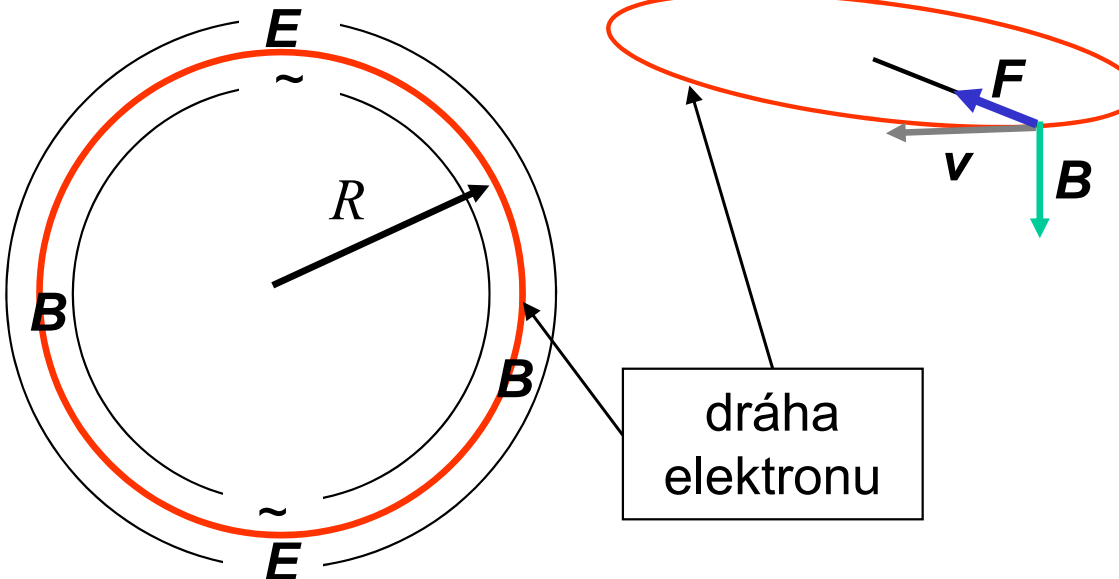
relativistická označení

$$\frac{v}{c} = \beta \quad E = mc^2 = m_0 c^2 \cdot \gamma$$

$$\frac{1}{c}v = \beta \quad \gamma = \frac{1}{\sqrt{1 - \beta^2}}$$

$e < 0$

# Elektron na kruhové dráze



Lorentzova síla,  
pohybová rovnice

$$\frac{d}{dt}(m\mathbf{v}) = e(\mathbf{E} + \mathbf{v} \times \mathbf{B})$$

relativistická označení

$$\frac{v}{c} = \beta \quad E = mc^2 = m_0 c^2 \cdot \gamma$$

$$\frac{1}{c}\mathbf{v} = \beta \quad \gamma = \frac{1}{\sqrt{1 - \beta^2}}$$

$$m \frac{v^2}{R} = evB$$

$$\omega_L = \frac{v}{R} = \frac{eB}{m}$$

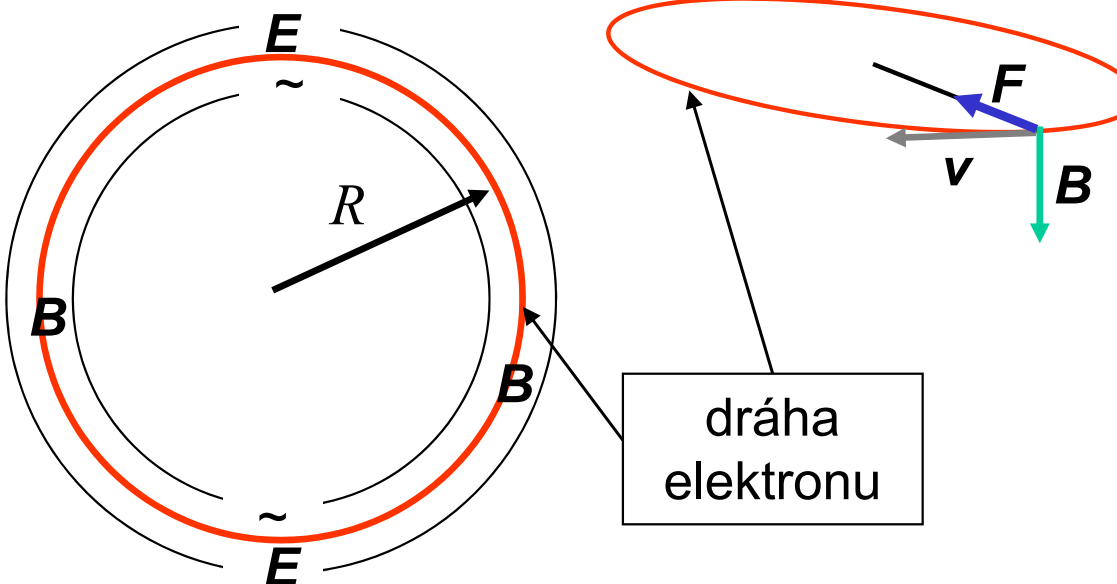
Larmorova  
frekvence

$$\frac{m}{m_0} = \frac{e}{m_0 v} BR$$

$$\gamma = \frac{eB}{m_0 c} R \cdot \beta^{-1}$$

$e < 0$

# Ultrarelativistický elektron na kruhové dráze



Lorentzova síla,  
pohybová rovnice

$$\frac{d}{dt}(m\mathbf{v}) = e(\mathbf{E} + \mathbf{v} \times \mathbf{B})$$

relativistická označení

$$\frac{v}{c} = \beta \quad E = mc^2 = m_0 c^2 \cdot \gamma$$

$$\frac{1}{c} \mathbf{v} = \beta \quad \gamma = \frac{1}{\sqrt{1 - \beta^2}}$$

$$m \frac{v^2}{R} = evB$$

$$\omega_L = \frac{v}{R} = \frac{eB}{m}$$

$$\frac{m}{m_0} = \frac{e}{m_0 v} BR$$

$$\gamma = \frac{eB}{m_0 c} R \cdot \beta^{-1}$$

Larmorova  
frekvence

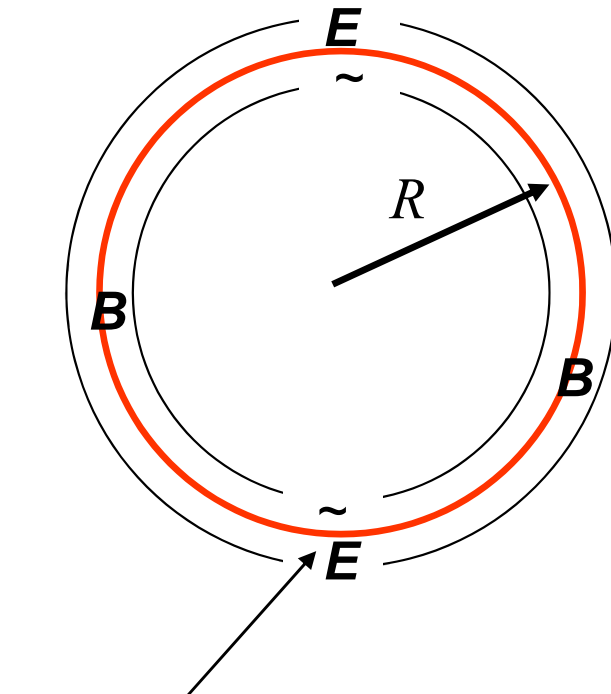
v ultrarelativistickém  
případě  $\beta \sim 1$

$$\omega_L = \frac{c}{R} = \frac{e}{m_0} B \gamma^{-1}$$

$$\gamma = \frac{e}{m_0 c} \cdot BR$$

$e < 0$

# Vkládání energie



synchronisované  
střídavé  
urychlovací  
napětí

výkon elektrického pole

$$W = eE\nu$$

pohybová rovnice

$$\frac{d}{dt}(mv) = e(E + \nu \times B)$$

$$\frac{d}{dt}(mv) = e|E| \quad \text{podélná složka}$$

počítáme

$$W = \nu \frac{d}{dt}(mv) = m_0 c^2 \beta \frac{d}{dt}(\gamma \beta) \quad \leftarrow \beta = \sqrt{1 - \gamma^{-2}}$$

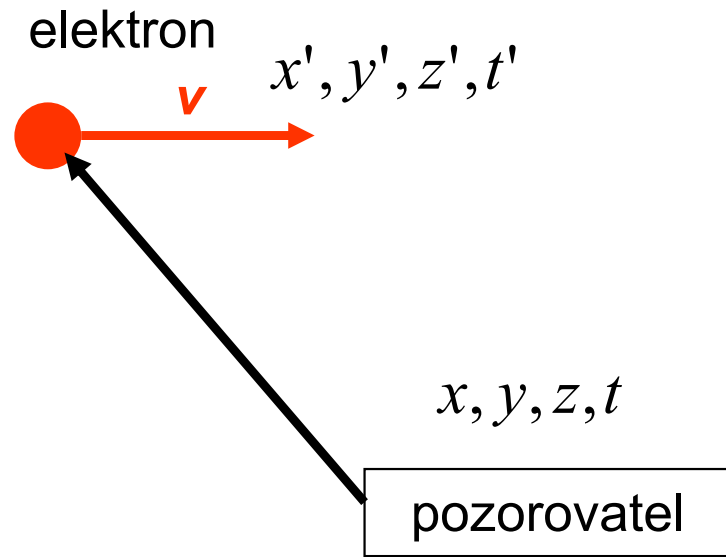
$$W = m_0 c^2 \cdot \frac{d}{dt} \gamma = \frac{d}{dt} E$$

urychluje  
elektrony

kompensuje  
vyzařovací  
ztráty

Kolimace vyzářené vlny

## *Vlna vysílaná pohyblivým zdrojem*



Lorentzova transformace

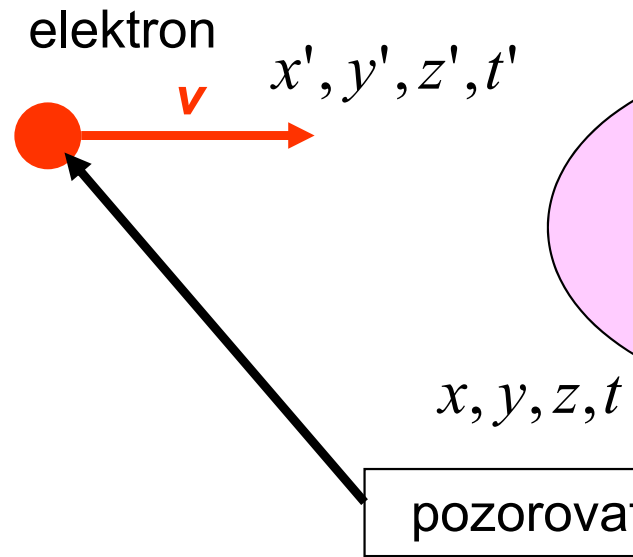
$$x' = \gamma(x - vt)$$

$$y' = y$$

$$z' = z$$

$$t' = \gamma\left(t - \frac{vx}{c^2}\right)$$

## *Vlna vysílaná pohyblivým zdrojem*



Lorentzova transformace

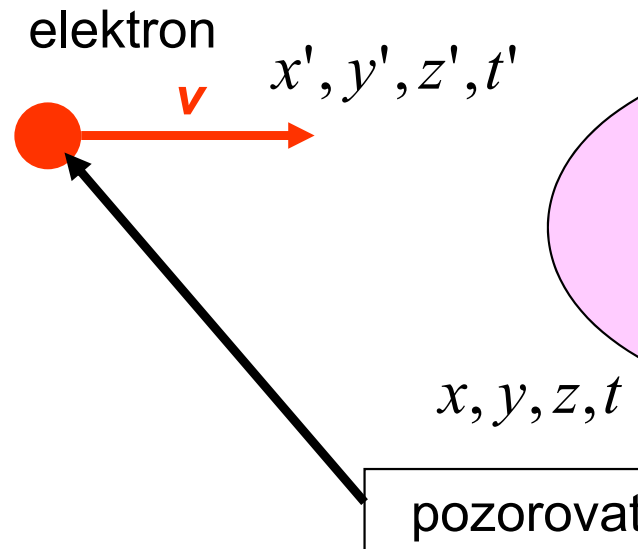
$$x' = \gamma(x - vt)$$

$$y' = y$$

$$z' = z$$

$$t' = \gamma\left(t - \frac{vx}{c^2}\right)$$

## *Vlna vysílaná pohyblivým zdrojem*



fáze rovinné vlny je invariant

Lorentzova transformace

$$x' = \gamma(x - vt)$$

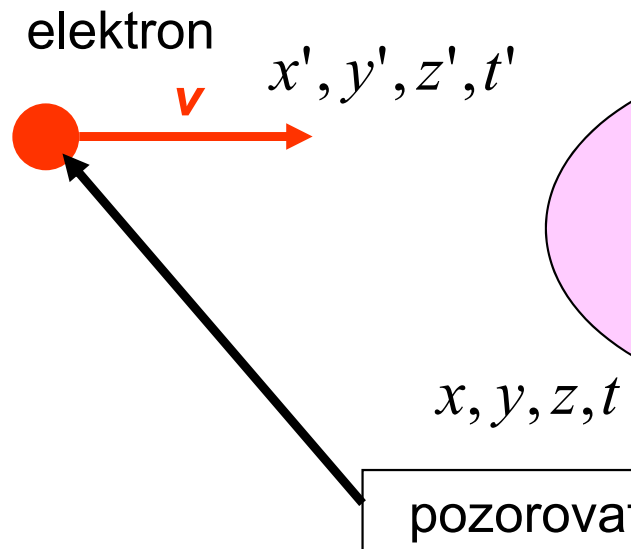
$$y' = y$$

$$z' = z$$

$$t' = \gamma\left(t - \frac{vx}{c^2}\right)$$

$$\mathbf{k}r - \omega t = \frac{\omega}{c}(\mathbf{n} \cdot \mathbf{r} - ct), \quad \omega = ck$$

# Vlna vysílaná pohyblivým zdrojem



Lorentzova transformace

$$x' = \gamma(x - vt)$$

$$y' = y$$

$$z' = z$$

$$t' = \gamma\left(t - \frac{vx}{c^2}\right)$$

fáze rovinné vlny je invariant

$$\mathbf{k}\mathbf{r} - \omega t = \frac{\omega}{c}(\mathbf{n}\mathbf{r} - ct), \quad \omega = ck$$

$$\omega(n_x x + n_y y + n_z z - ct) = \omega'(n'_x x' + n'_y y' + n'_z z' - ct')$$

$$\begin{aligned} \omega n_x &= \omega' \gamma(n'_x + \beta) & \omega n_y &= \omega' n'_y \\ \omega &= \omega' \gamma(1 + \beta n'_x) & \omega n_z &= \omega' n'_z \end{aligned}$$

## Vlna vysílaná pohyblivým zdrojem, pokračování

$$\begin{aligned}\omega n_x &= \omega' \gamma (n'_x + \beta) & \omega n_y &= \omega' n'_y \\ \omega &= \omega' \gamma (1 + \beta n'_x) & \omega n_z &= \omega' n'_z\end{aligned}$$

oddělíme

$n$  od  $\omega$

$$\begin{aligned}n_x &= \frac{n'_x + \beta}{1 + \beta n'_x} & n_y &= \frac{n'_y}{\gamma(1 + \beta n'_x)} \\ \omega &= \omega' \gamma (1 + \beta n'_x) & n_z &= \frac{n'_z}{\gamma(1 + \beta n'_x)}\end{aligned}$$

## Vlna vysílaná pohyblivým zdrojem, pokračování

$$\begin{aligned}\omega n_x &= \omega' \gamma (n'_x + \beta) & \omega n_y &= \omega' n'_y \\ \omega &= \omega' \gamma (1 + \beta n'_x) & \omega n_z &= \omega' n'_z\end{aligned}$$

oddělíme

$n$  od  $\omega$

$$n_x = \frac{n'_x + \beta}{1 + \beta n'_x} \quad n_y = \frac{n'_y}{\gamma(1 + \beta n'_x)}$$

$$\omega = \omega' \gamma (1 + \beta n'_x)$$

$$n_z = \frac{n'_z}{\gamma(1 + \beta n'_x)}$$

DOPPLERŮV  
JEV

KOLIMACE V  
POMĚRU  $\gamma^{-1}$

vlastní frekvence záření je ovšem  
Larmorova frekvence oběhu  
elektronů ... radiofrekvence

$$\omega' \square c / R$$

ta se Dopplerem posune do  
zhruba viditelné oblasti

$$\omega \square \gamma \cdot c / R$$

# Vlna vysílaná pohyblivým zdrojem, pokračování

$$\begin{aligned}\omega n_x &= \omega' \gamma (n'_x + \beta) & \omega n_y &= \omega' n'_y \\ \omega &= \omega' \gamma (1 + \beta n'_x) & \omega n_z &= \omega' n'_z\end{aligned}$$

oddělíme  
 $n$  od  $\omega$

$$\begin{aligned}n_x &= \frac{n'_x + \beta}{1 + \beta n'_x} & n_y &= \frac{n'_y}{\gamma(1 + \beta n'_x)} \\ \omega &= \omega' \gamma (1 + \beta n'_x) & n_z &= \frac{n'_z}{\gamma(1 + \beta n'_x)}\end{aligned}$$

DOPPLERŮV  
JEV

KOLIMACE V  
POMĚRU  $\gamma^{-1}$

vlastní frekvence záření je ovšem  
Larmorova frekvence oběhu  
elektronů ... radiofrekvence

$$\omega' \square c / R$$

Je to přesně učebnicové  
odvození aberace a  
relativistického výrazu pro  
Dopplerův efekt

Fotonová interpretace:  
vynásobením  $c$  máme  
relativistické skládání  
rychlostí



ta se Dopplerem posune do  
zhruba viditelné oblasti

$$\omega \square \gamma \cdot c / R$$

# Kolimace synchrotronového záření

KLASICKÝ  
OBRÁZEK ZE  
VŠECH UČEBNIC

při pomalém pohybu elektron na kruhové dráze září jako superposice dvou vzájemně kolmých dipólů, tedy

kosinový zářič s okamžitým dipólem kolmým na tečnu ke kruhové dráze

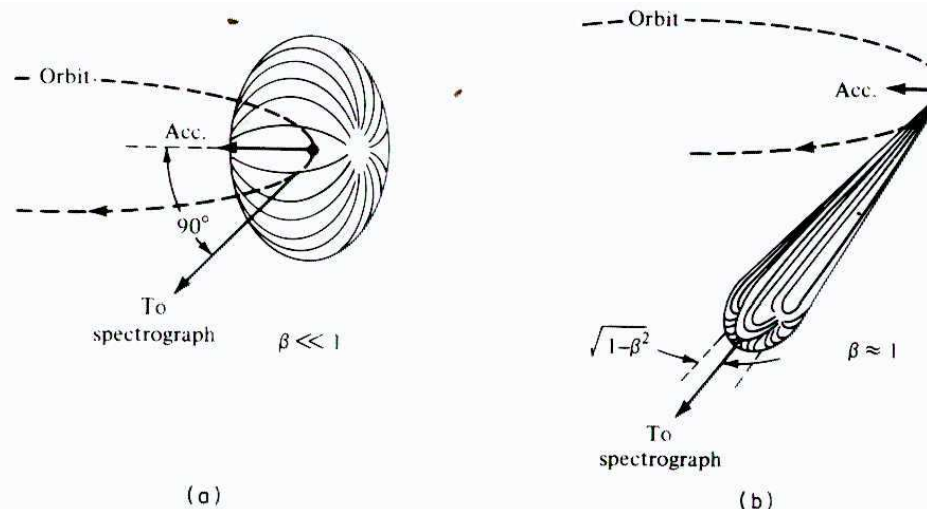


Figure 17.1 Angular intensity distribution of slow (a) and relativistic (b) electrons on a circular orbit. The dipole pattern (a) is strongly distorted (b) into the forward direction because of the relativistic speed of the electron;  $\beta$ , velocity in units of  $c$ . (From Tomboulian and Hartman<sup>5</sup>)

při rychlém pohybu elektron na kruhové dráze sám sebe vnímá jako superposici dvou vzájemně kolmých dipólů,

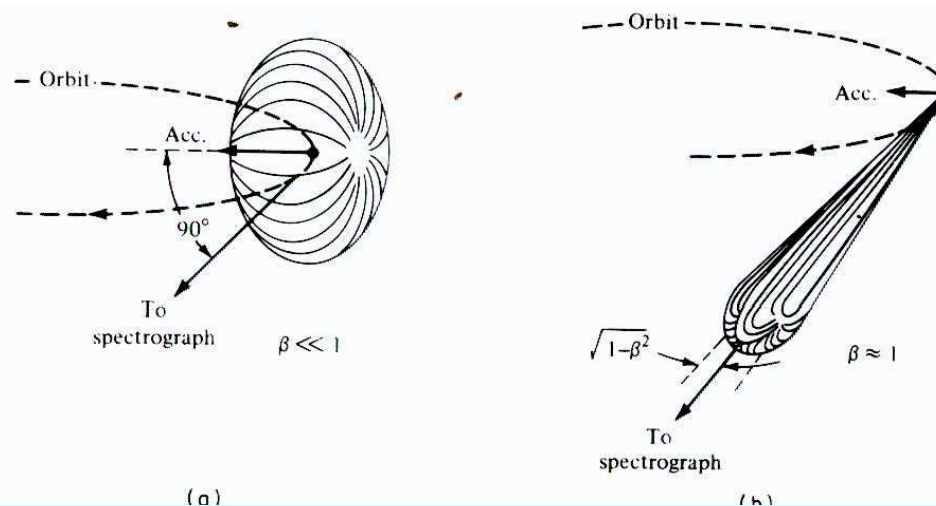
pozorovatel však vnímá vlny po Lorentzově transformaci, tedy silně kolimované vpřed

# Kolimace synchrotronového záření

KLASICKÝ  
OBRÁZEK ZE  
VŠECH UČEBNIC

při pomalém pohybu elektron na kruhové dráze září jako superposice dvou vzájemně kolmých dipólů, tedy

kosinový zářič s okamžitým dipolem kolmým na tečnu ke kruhové dráze



pro  $1 > n'_x > -\beta \square -\left(1 - \frac{1}{2\gamma^2}\right)$

$$n_x = \frac{n'_x + \beta}{1 + \beta n'_x} > 0$$

pro  $1 > n'_x > -\left(1 - 999(1 - \beta)\right) > -\beta$

$$n_x > 0.998$$

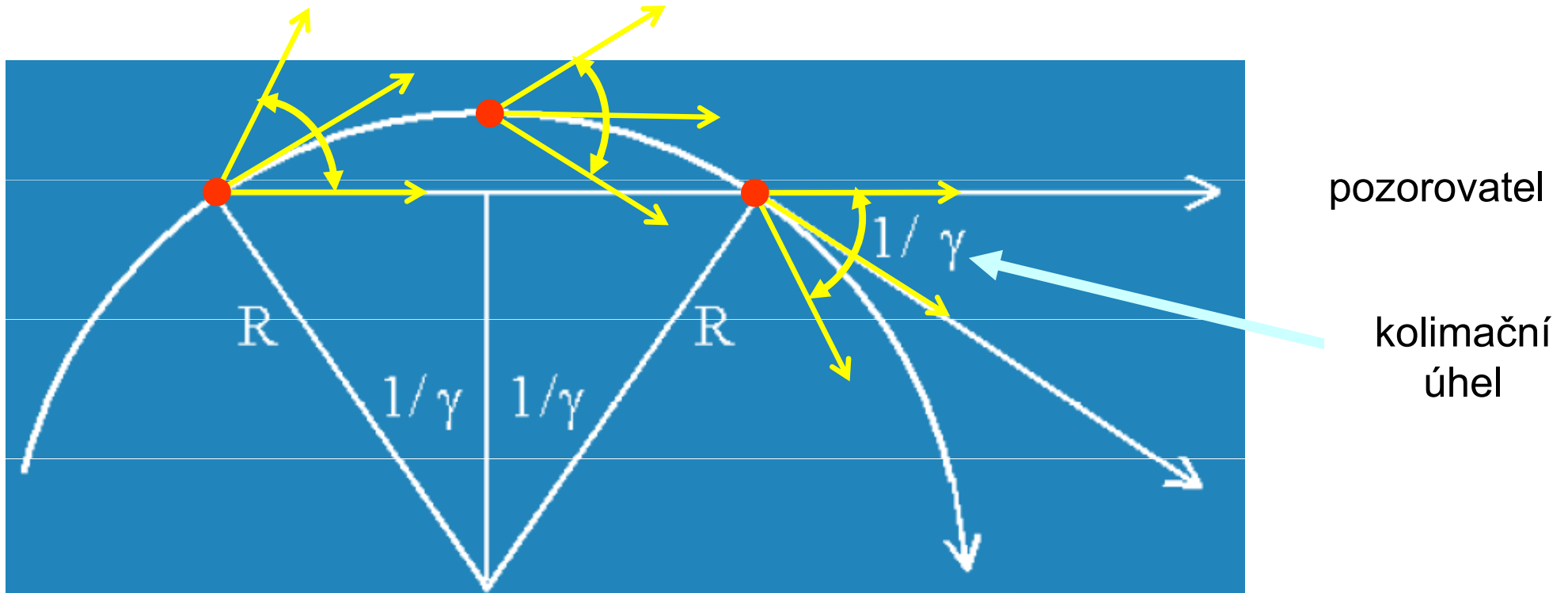
při rychlém pohybu elektron na kruhové dráze sám sebe vnímá jako superposici dvou vzájemně kolmých dipólů,

pozorovatel však vnímá vlny po "vidíme elektron i ze zadu" silně kolimované vpřed

skoro všechny kolimovány lépe než na 1%

Spektrální a celková intenzita SR

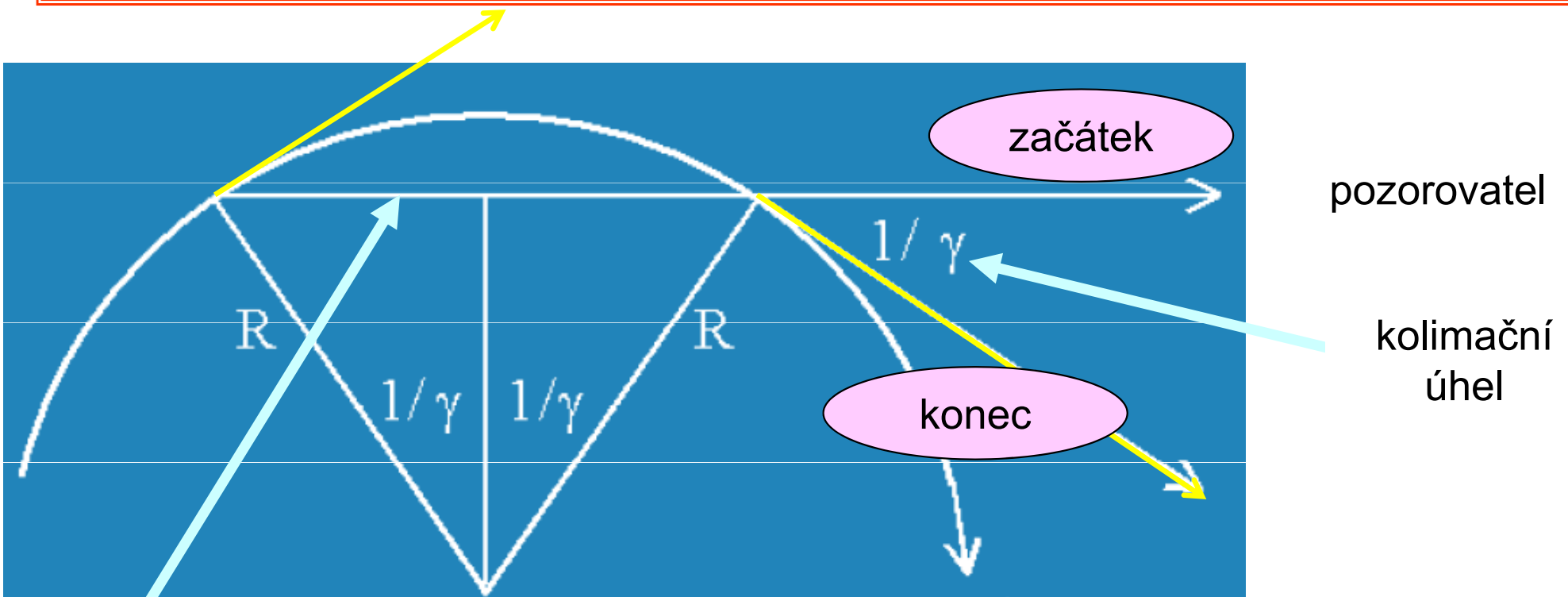
## Pozorování záblesku SZ od prolétajícího elektronu



geometricky je pozorovatel v kolimačním kuželi po dobu přejezdu elektronu obloukem světlo ze vzdálených částí se však opožďuje o dobu letu trvání záblesku = doba přejezdu elektronu obloukem – doba letu fotonů tělivou

## Doba záblesku a spektrální obor SZ

trvání záblesku = doba přejezdu elektronu obloukem – doba letu fotonů tětivou



dráha  
fotonů

$$\Delta t = \frac{2R}{c} \left\{ \frac{1}{\beta\gamma} - \sin \frac{1}{\gamma} \right\} \approx \frac{2R}{c} \left\{ \frac{1}{\gamma} \left( 1 + \frac{1}{2\gamma^2} \right) - \frac{1}{\gamma} + \frac{1}{6\gamma^3} \right\}$$

$$\Delta t = \frac{4R}{3c} \cdot \frac{1}{\gamma^3}$$

## Spektrální obor SZ -- pokračování

použijeme  
" relací neurčitosti"  
čas × frekvence  $\sim 2\pi$

$$\Delta t = \frac{4R}{3c} \cdot \frac{1}{\gamma^3}$$

$$\omega_S = \dots \omega_L \times \gamma^3$$

$$\omega_L = \frac{\nu}{R} \approx \frac{c}{R}$$

dobrý odhad charakteristické  
frekvence

... DOSTANEME SE DO VELMI VYSOKÝCH  
FREKVENCÍ, ZPRAVIDLA V RTG OBLASTI

## Přesný výpočet spektrální intenzity

$$\frac{dW}{d\omega} = \text{const} \times F(\omega/\omega_c) \quad \text{univerzální funkce}$$

kritická frekvence  $\omega_c = \frac{3eB}{2m_0}\gamma^2 = \frac{3}{2}\omega_L\gamma^3$

## Přesný výpočet spektrální intenzity

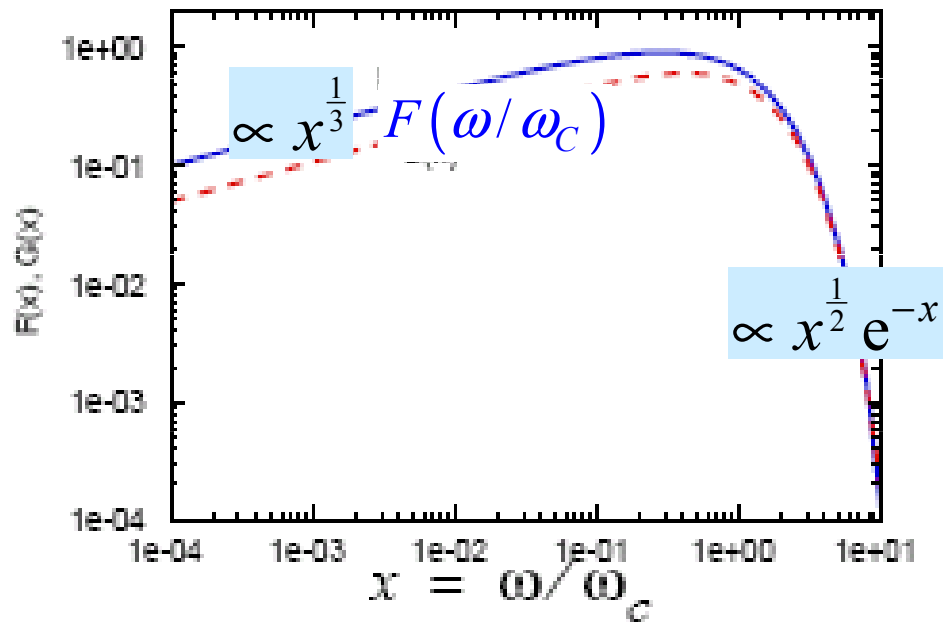
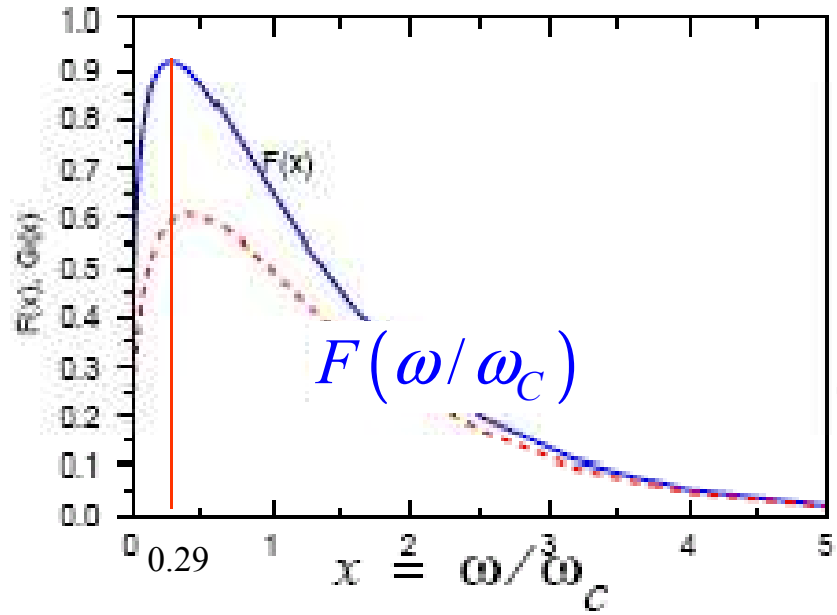
$$\frac{dW}{d\omega} = \text{const} \times F(\omega/\omega_c) \quad \text{univerzální funkce}$$

kritická frekvence  $\omega_c = \frac{3eB}{2m_0}\gamma^2 = \frac{3}{2}\omega_L\gamma^3 = \frac{3}{2}\omega_s \quad \dots \text{OK.}$

# Přesný výpočet spektrální intenzity

$$\frac{dW}{d\omega} = \text{const} \times F(\omega/\omega_C) \quad \text{univerzální funkce}$$

kritická frekvence  $\omega_C = \frac{3eB}{2m_0}\gamma^2 = \frac{3}{2}\omega_L\gamma^3$



## Zářivý výkon elektronu

$$\omega_L = \frac{eB}{\gamma m_0} \square \frac{c}{R}$$

$$W = \frac{dE}{dt} = \frac{e^2}{6\pi\epsilon_0 c} \omega_L^2 \gamma^4$$

za jednotku času

Za jeden oběh

$$\alpha = \frac{e^2}{4\pi\epsilon_0 \hbar c} \approx \frac{1}{137}$$

konstanta jemné struktury

$$\frac{dE}{dt} \frac{2\pi}{\omega_L} = \frac{e^2}{3\epsilon_0 c} \omega_L \gamma^4$$

$$= \frac{4\pi}{3} \alpha \cdot \hbar \omega_L \gamma^4 = \frac{4\pi}{3} \alpha \cdot \hbar \omega_S \gamma$$

Hierarchie energií

jeden foton	ztráty za jeden oběh	energie elektronu
$\hbar \omega_S$	$\frac{4\pi}{3} \alpha \gamma \cdot \hbar \omega_S$	$m_0 c^2 \gamma$

# Zářivý výkon elektronu

$$\omega_L = \frac{eB}{\gamma m_0} \square \frac{c}{R}$$

$$W = \frac{dE}{dt} = \frac{e^2}{6\pi\epsilon_0 c} \omega_L^2 \gamma^4$$

za jednotku času

Za jeden oběh

$$\alpha = \frac{e^2}{4\pi\epsilon_0 \hbar c} \approx \frac{1}{137}$$

konstanta jemné struktury

$$\begin{aligned} \frac{dE}{dt} \frac{2\pi}{\omega_L} &= \frac{e^2}{3\epsilon_0 c} \omega_L \gamma^4 \\ &= \frac{4\pi}{3} \alpha \cdot \hbar \omega_L \gamma^4 = \frac{4\pi}{3} \alpha \cdot \hbar \omega_S \gamma \end{aligned}$$

Hierarchie energií

jeden foton	ztráty za jeden oběh	energie elektronu
$\hbar \omega_S$	$\frac{4\pi}{3} \alpha \gamma \cdot \hbar \omega_S$	$m_0 c^2 \gamma$

... tak bychom si to přáli

## Počet vyzářených fotonů

$$\omega_L = \frac{eB}{\gamma m_0} \square \frac{c}{R}$$

$$W = \frac{dE}{dt} = \frac{e^2}{6\pi\epsilon_0 c} \omega_L^2 \gamma^4$$

za jednotku času

Za jeden oběh

$$\alpha = \frac{e^2}{4\pi\epsilon_0 \hbar c} \approx \frac{1}{137}$$

$$\begin{aligned} \frac{dE}{dt} \frac{2\pi}{\omega_L} &= \frac{e^2}{3\epsilon_0 c} \omega_L \gamma^4 \\ &= \frac{4\pi}{3} \alpha \cdot \hbar \omega_L \gamma^4 = \frac{4\pi}{3} \alpha \cdot \hbar \omega_S \gamma \end{aligned}$$

konstanta jemné struktury

Hierarchie energií

<u>počet fotonů</u>
<u>elektron · oběh</u>
= $0.031 \times \gamma$

jeden foton	ztráty za jeden oběh	energie elektronu
$\hbar \omega_S$	$\frac{4\pi}{3} \alpha \gamma \cdot \hbar \omega_S$	$m_0 c^2 \gamma$

## Počet vyzářených fotonů

$$\omega_L = \frac{eB}{\gamma m_0} \square \frac{c}{R}$$

$$W = \frac{dE}{dt} = \frac{e^2}{6\pi\epsilon_0 c} \omega_L^2 \gamma^4$$

za jednotku času

Za jeden oběh

$$\alpha = \frac{e^2}{4\pi\epsilon_0 \hbar c} \approx \frac{1}{137}$$

$$\frac{dE}{dt} \frac{2\pi}{\omega_L} = \frac{e^2}{3\epsilon_0 c} \omega_L \gamma^4$$

$$= \frac{4\pi}{3} \alpha \cdot \hbar \omega_L \gamma^4 = \frac{4\pi}{3} \alpha \cdot \hbar \omega_S \gamma$$

konstanta jemné struktury

Hierarchie energií

<u>počet fotonů</u>
<u>elektron · oběh</u>
= 0.03
<u>počet fotonů</u>
<u>elektron · oběh</u>
= $0.067 \times \gamma$

jeden foton      ztráty za jeden oběh      energie elektronu

$$\hbar \omega_S \quad \square \quad \frac{4\pi}{3} \alpha \gamma \cdot \hbar \omega_S \quad \square \quad m_0 c^2 \gamma$$

$$\langle \hbar \omega \rangle = \frac{4\sqrt{3}}{15} \hbar \omega_S = 0.46 \times \hbar \omega_S$$

## Počet vyzářených fotonů

$$\omega_L = \frac{eB}{\gamma m_0} \square \frac{c}{R}$$

$$W = \frac{dE}{dt} = \frac{e^2}{6\pi\epsilon_0 c} \omega_L^2 \gamma^4$$

za jednotku času

Za jeden oběh

$$\alpha = \frac{e^2}{4\pi\epsilon_0 \hbar c} \approx \frac{1}{137}$$

$$\frac{dE}{dt} \frac{2\pi}{\omega_L} = \frac{e^2}{3\epsilon_0 c} \omega_L \gamma^4$$

$$= \frac{4\pi}{3} \alpha \cdot \hbar \omega_L \gamma^4 = \frac{4\pi}{3} \alpha \cdot \hbar \omega_S \gamma$$

konstanta jemné struktury

Hierarchie energií

<u>počet fotonů</u>	jeden foton	ztráty za jeden oběh	energie elektronu
elektron · oběh	$\hbar \omega_S$	$\frac{4\pi}{3} \alpha \gamma \cdot \hbar \omega_S$	$m_0 c^2 \gamma$
= 0.03	$\frac{\text{počet fotonů}}{\text{elektron} \cdot \text{oběh}}$	$\frac{4\pi}{3} \alpha \gamma \cdot \hbar \omega_S$	$m_0 c^2 \gamma$

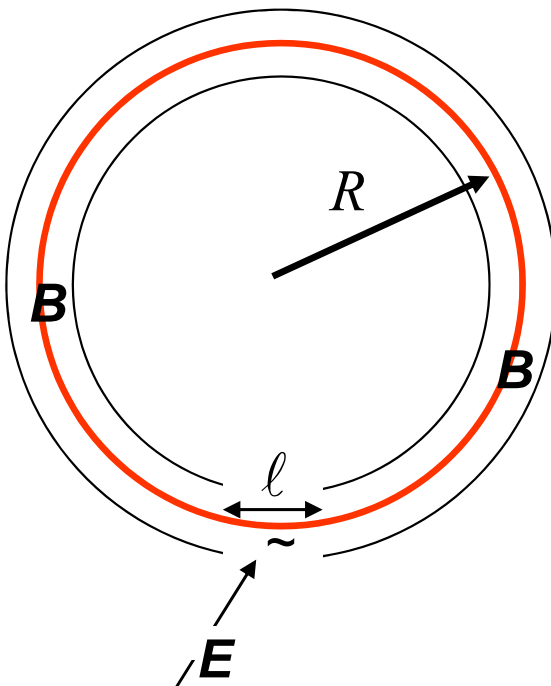
$$\frac{\text{počet fotonů}}{\text{elektron} \cdot \text{oběh}} = 0.067 \times \gamma$$

pro  $\gamma = 10000$  (5 GeV!!) jen  $\square$  700 fotonů.

Fotonová statistika (tj. kvantový pohled) nezbytné

# Pulsní struktura SR

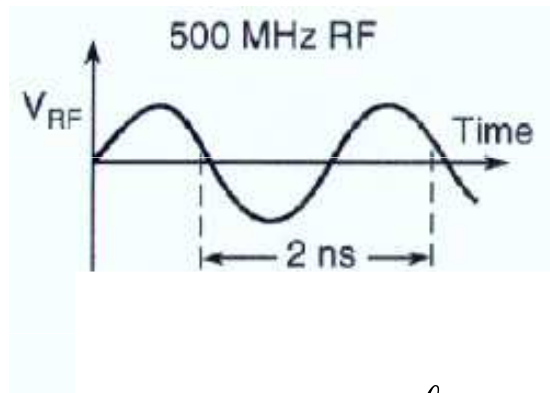
# Vkládání energie



synchronisované  
střídavé  
urychlovací  
napětí

kompensuje  
vyzařovací  
ztráty

$$E_{\square}(t) = E_{\square 0} \sin \omega_L t = E_{\square 0} \sin(2\pi t / T_L)$$



reálný příklad

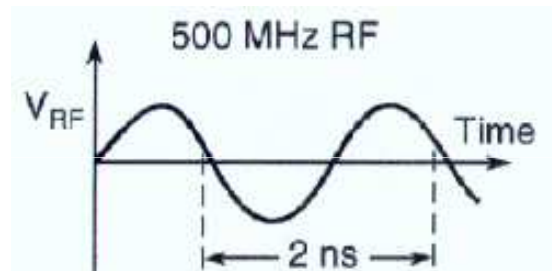
Doba průletu  
mezerou  $\ell$   $\frac{\ell}{\beta c}$  □  $\frac{2\pi R}{\beta c}$  Doba oběhu

Elektrony přilétají náhodně během periody  
Jsou urychljeny nebo zpomaleny  
podle okamžité hodnoty pole  
Jen některé nabudou správné rychlosti  
Další podléhají chaotickým změnám rychlosti  
Proces vede k ustálenému rozložení elektronů  
kolem orbity

## Pulsní struktura SR

Energie elektronů musí přesně odpovídat parametrům prstence

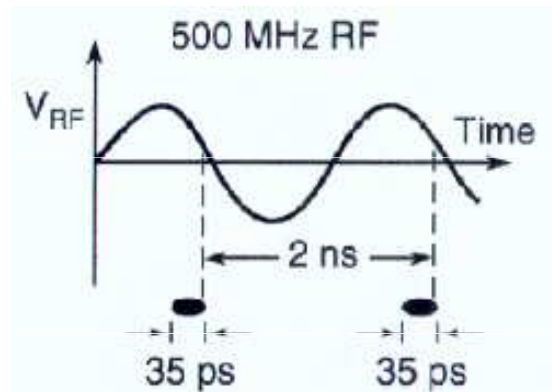
Jen uzounký interval vůči střídavému elektrickému poli vede k ustálenému pohybu elektronů



## Pulsní struktura SR

Energie elektronů musí přesně odpovídat parametrům prstence

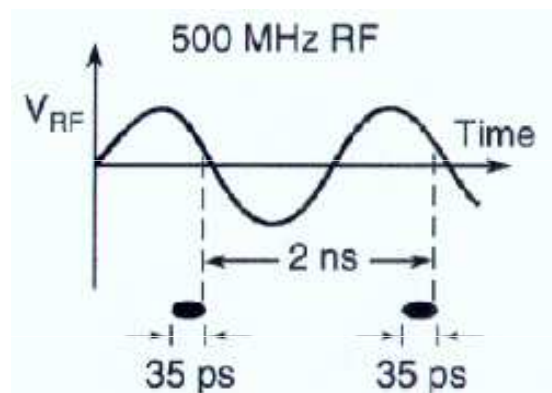
Jen uzounký interval vůči střídavému elektrickému poli vede k ustálenému pohybu elektronů



## Pulsní struktura SR

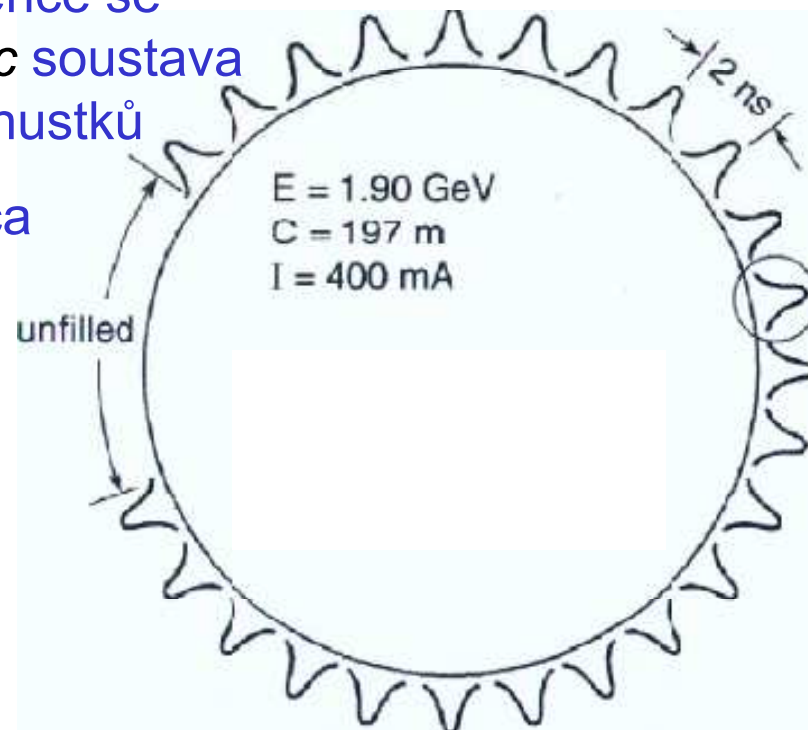
Energie elektronů musí přesně odpovídat parametrům prstence

Jen uzounký interval vůči střídavému elektrickému poli vede k ustálenému pohybu elektronů



Po obvodu prstence se otáčí rychlostí  $\beta c$  soustava elektronových zhustků

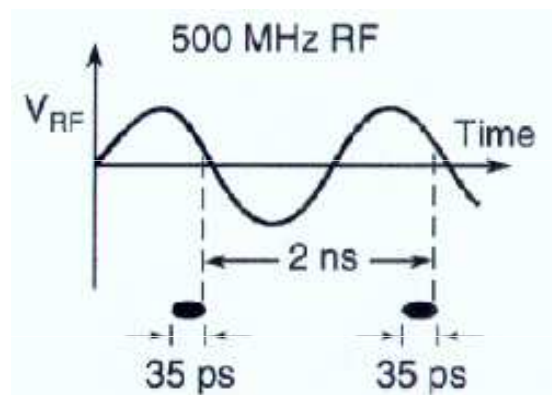
Jsou od sebe cca 60 cm daleko a jejich rozsah je okolo 1 cm



## Pulsní struktura SR

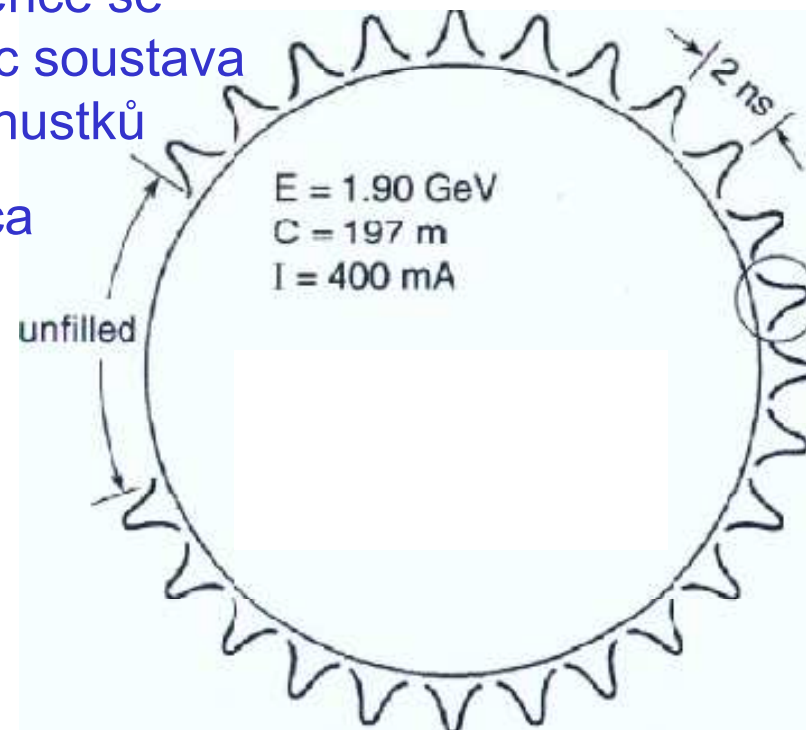
Energie elektronů musí přesně odpovídat parametrům prstence

Jen uzounký interval vůči střídavému elektrickému poli vede k ustálenému pohybu elektronů

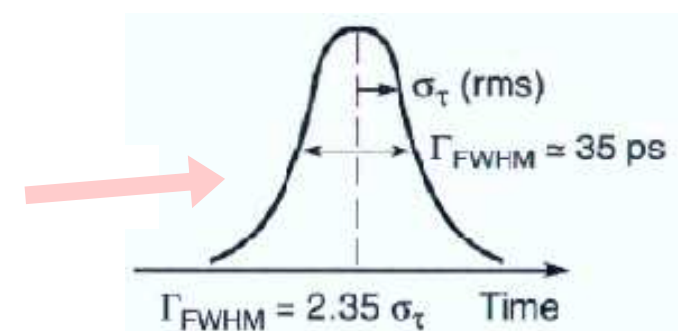


Po obvodu prstence se otáčí rychlostí  $\beta c$  soustava elektronových zhustků

Jsou od sebe cca 60 cm daleko a jejich rozsah je okolo 1 cm



Jeden Gaussův puls

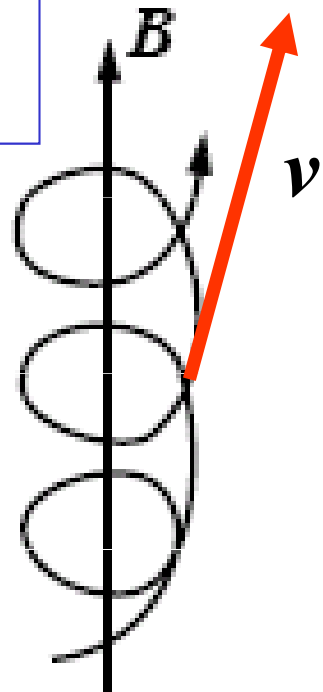


## *Zpět k synchrotronu v Kosmu i na Zemi*

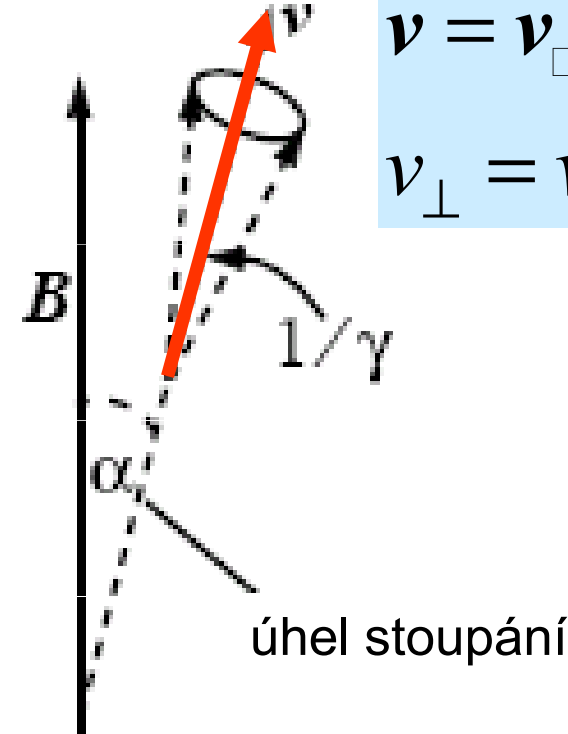
Jak tedy SR v mlhovinách  
a  
v současných zdrojích SR na Zemi  
vzniká

# Kosmický synchrotron

elektrony se  
pohybují po  
spirálách



$$v = v_{\parallel} + v_{\perp}$$
$$v_{\perp} = v \cdot \sin \alpha$$



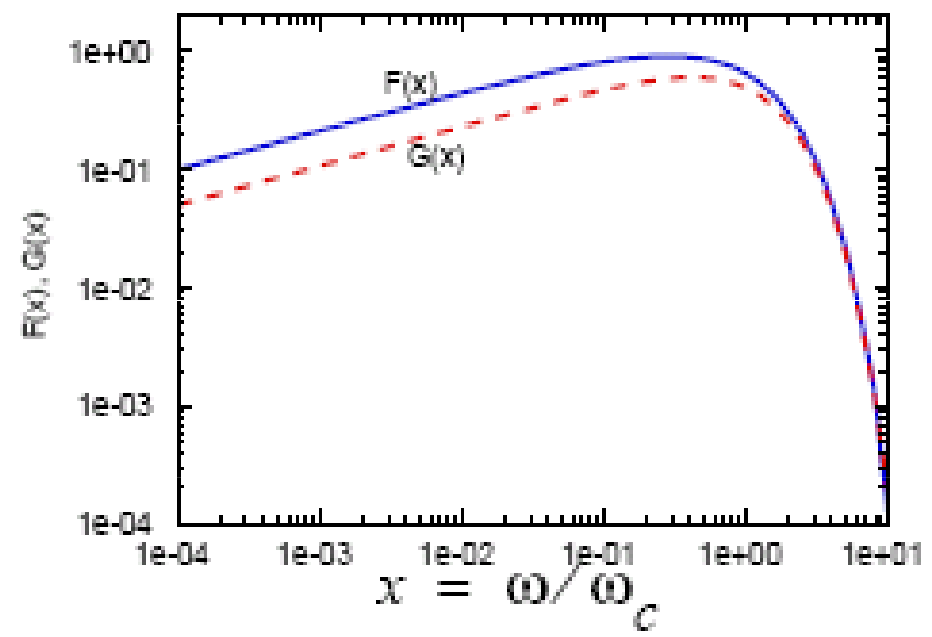
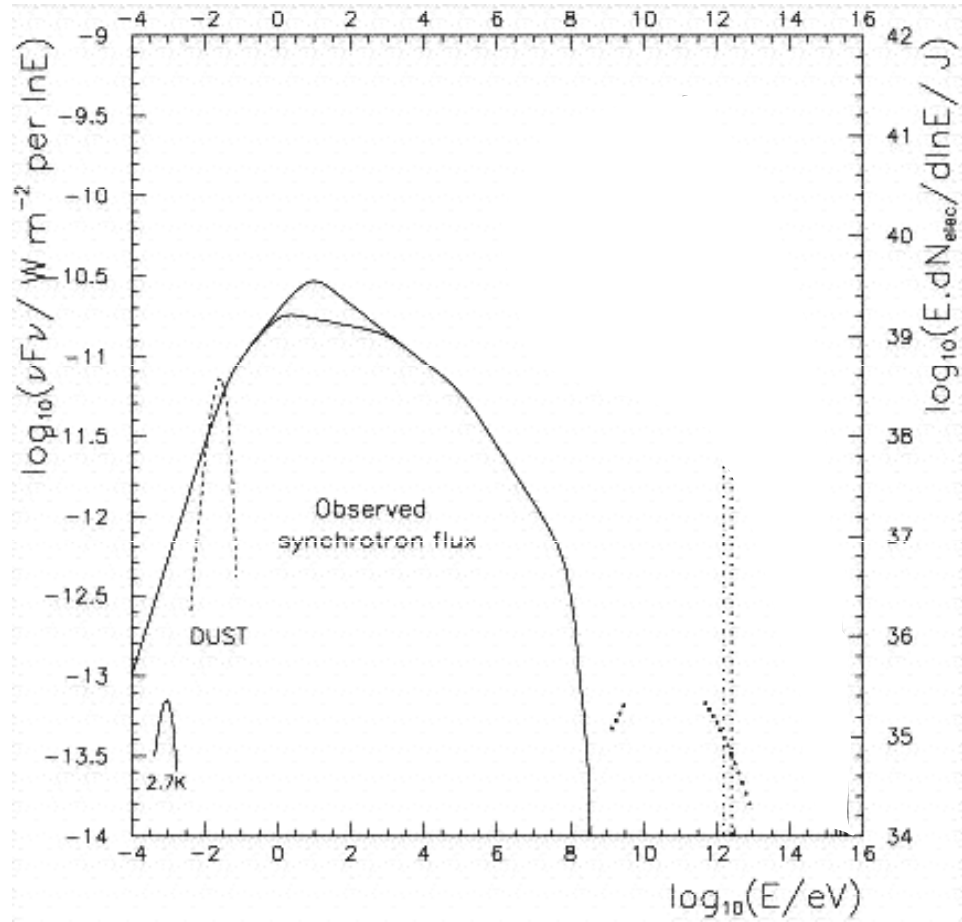
vzorce je nutno trochu upravit

**PŘÍKLAD:**

$$\omega_C = \frac{3}{2} \frac{eB}{m_0} \gamma^2 \sin \alpha = \frac{3}{2} \frac{eB}{m} \gamma^3 \sin \alpha$$

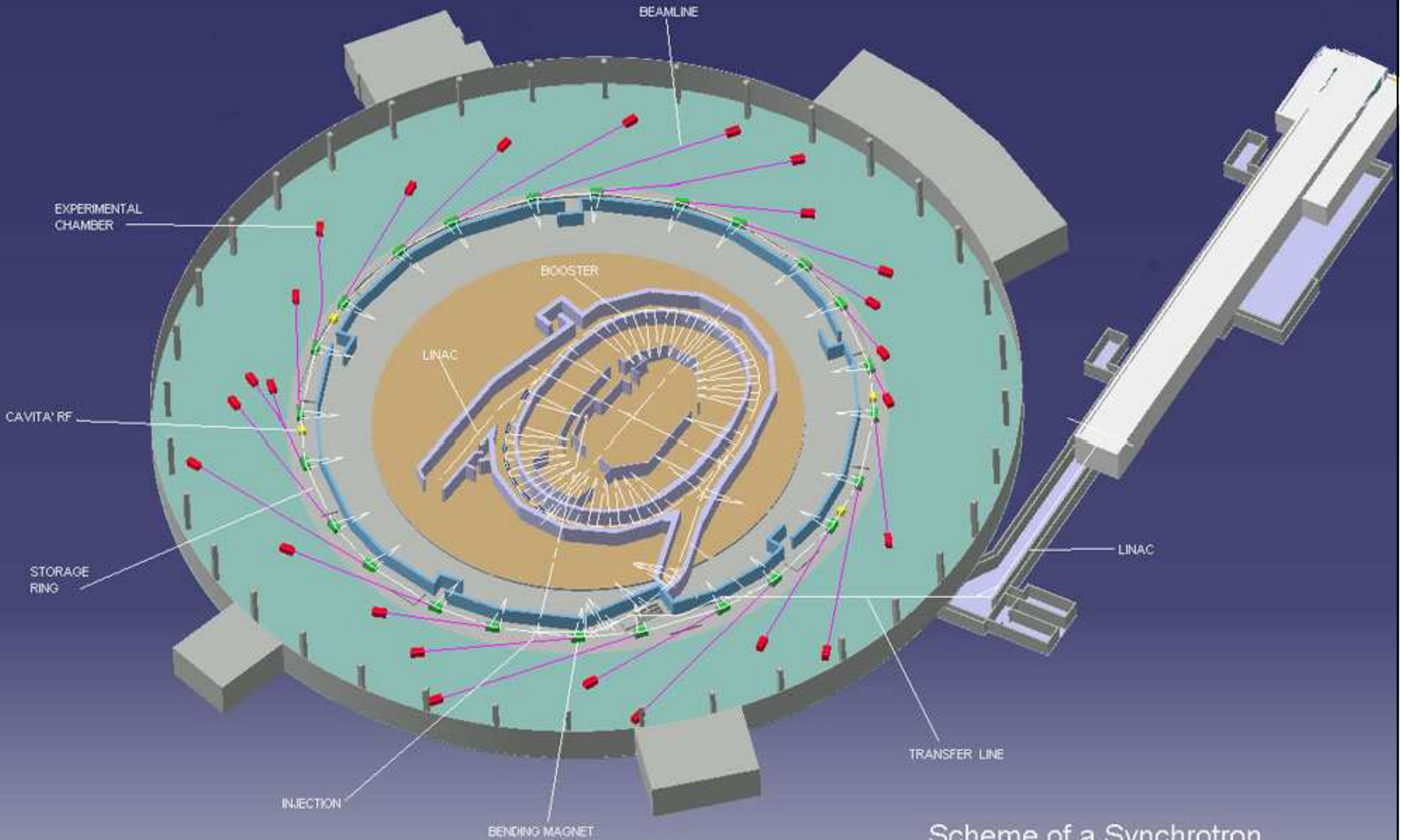
$\uparrow$   
 $\omega_L$  nemění se

# Krabí mlhovina: Spektrální charakteristika odpovídá SZ



# Storage Ring (akumulační prstenec): technická realisace

# *Elettra Trieste*



Scheme of a Synchrotron  
Light Facility

## Jak to vypadá zblízka (storage ring Doris)

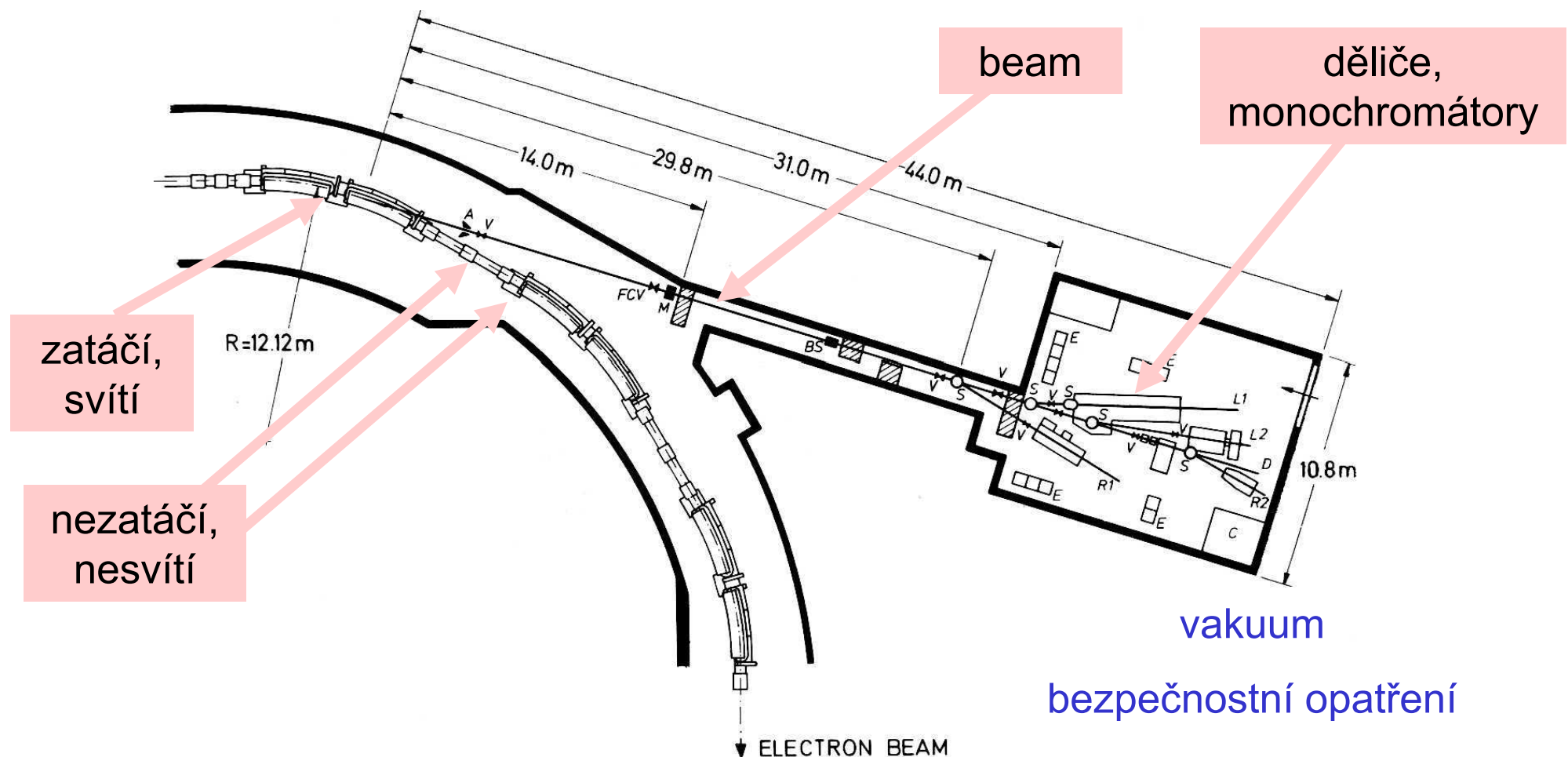


Figure 17.7 Layout of the synchrotron radiation laboratory at DORIS. Shown is a section of the storage ring, the beam line to the laboratory and the location of different experiments in the laboratory. For details see text. (From Koch, Kunz, and Weiner<sup>49</sup>)

## Vzorce a odhady

$$\gamma = \frac{eB}{m_0 c} R \cdot \beta^{-1} \approx \frac{eB}{m_0 c} R \cdot (1 + 2\cancel{\gamma^2}) \quad \omega_L = \frac{eB}{m_0} \gamma^{-1} = \frac{\nu}{R} \approx \frac{c}{R}$$

$$\omega_C = \frac{3}{2} \frac{eB}{m_0} \gamma^2 = \frac{3}{2} \omega_L \gamma^3$$

$$E = 0.3BR \text{ GeV T m}$$

$$\omega_L = 0.3R^{-1} \text{ GHz m}$$

$$\gamma = 2000E^{1/2} \text{ GeV}$$

$$\omega_C = 0.45R^{-1}\gamma^3 \text{ GHz m}$$

$$\hbar\omega_C = 0.30 \times 10^{-6} R^{-1} \gamma^3 \text{ eV m}$$

$$\lambda_C = \frac{4\pi}{3} R \gamma^{-3} \text{ m m}$$

v Kosmu

$$E = 5 \text{ GeV}, B = 1 \text{ nT} \Rightarrow R = 1.5 \times 10^{10} \text{ m}$$

$$\omega_L = 0.02 \text{ Hz} \quad \omega_C = 30 \text{ GHz}$$

pozemský synchrotron

$$E = 5 \text{ GeV}, B = 1 \text{ T} \Rightarrow R = 1.5 \times 10^1 \text{ m}$$

$$\omega_L = 2 \text{ MHz} \quad \hbar\omega_C = 1.30 \text{ keV}$$

# Spektrální charakteristiky synchrotronů

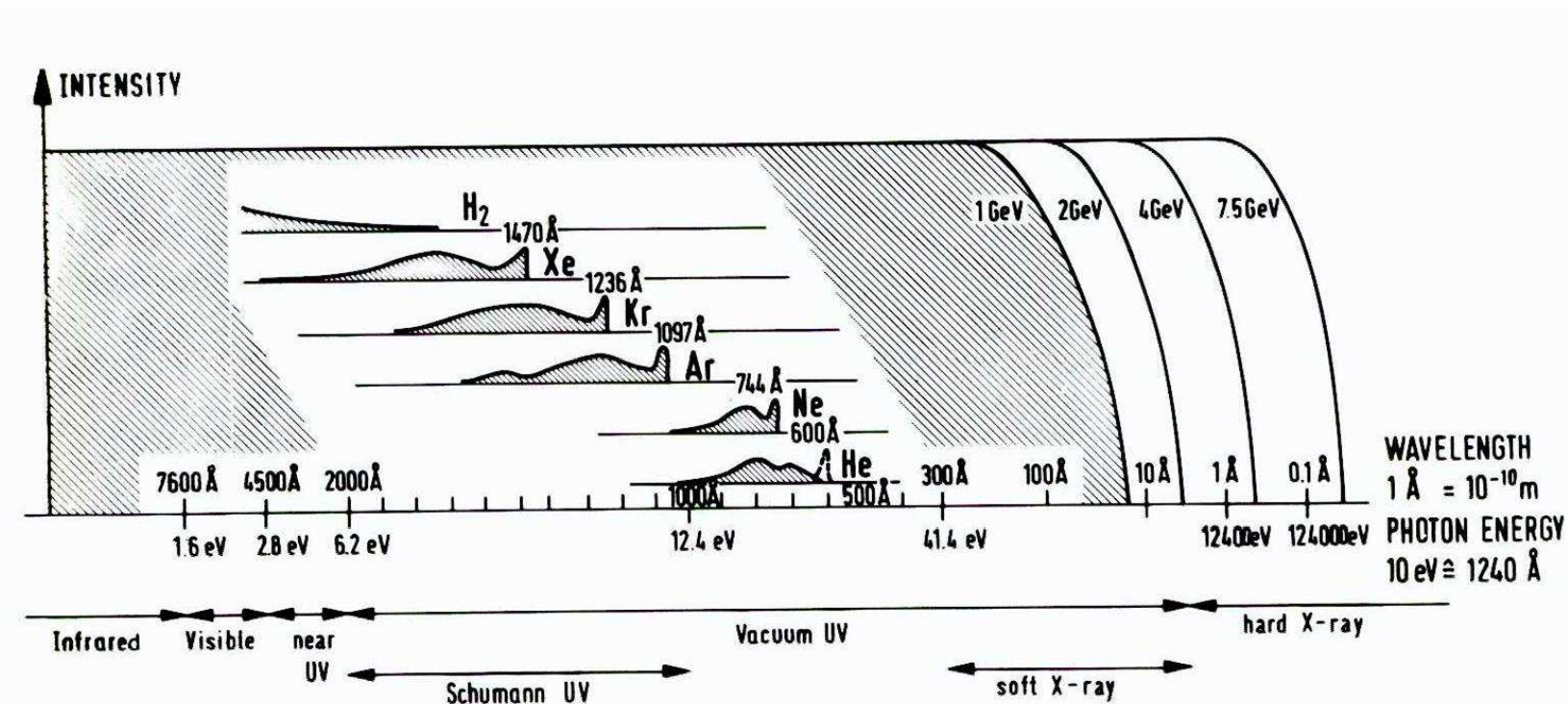


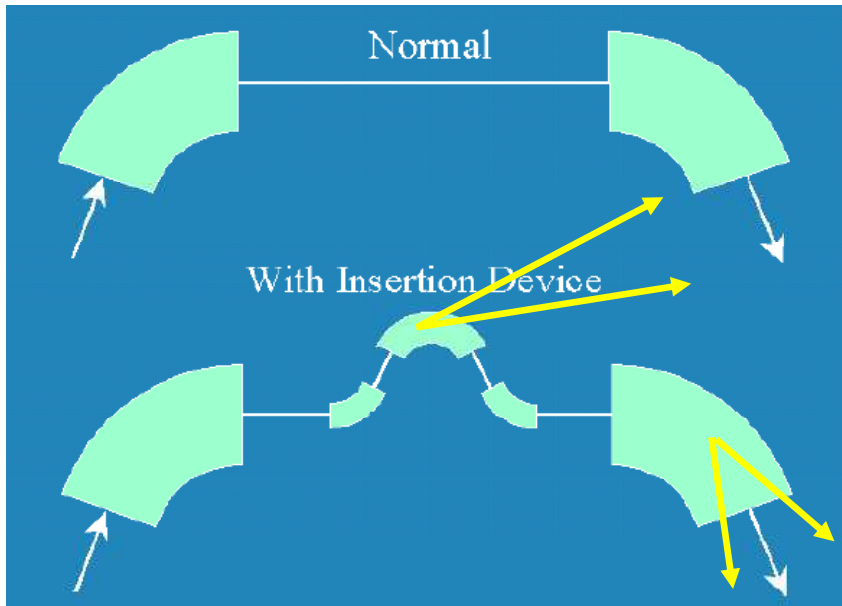
Figure 17.6 Schematic comparison of spectral distribution of synchrotron radiation from a synchrotron at different acceleration energies with the continua emitted by several discharge lamps (after Tanaka, Jursa, and LeBlank<sup>36</sup>). The intensities are roughly on scale. (From Koch<sup>38</sup>)

Wiggery a undulátor

to wiggle třepat se

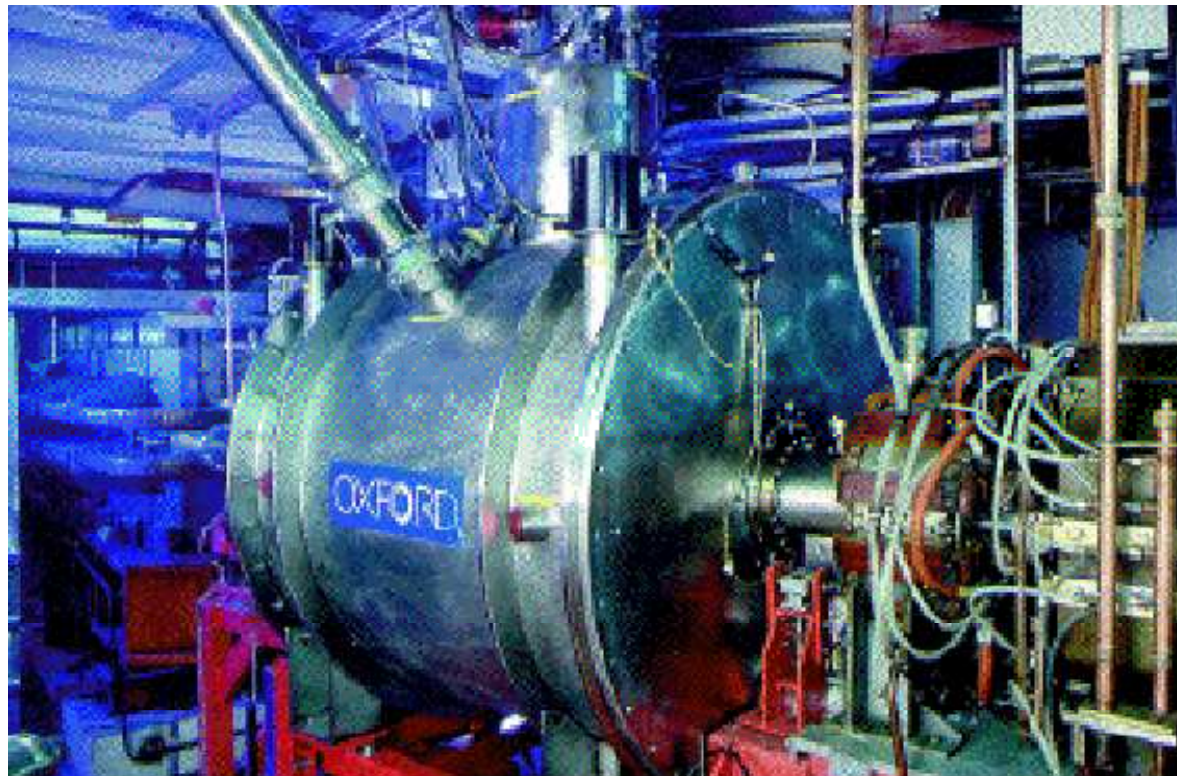
## Za krátkými vlnovými délkami: wiggly a undulatory

- Nejlepší zdroj SZ má co nejvíce rovných úseků spojených ohyby (*bends*)
- Čím menší poloměr tím vyšší mezní frekvence SZ
- Nápad: do rovného úseku vložit „frequency shifter“



## *Za krátkými vlnovými délkami: wiggly a undulátory*

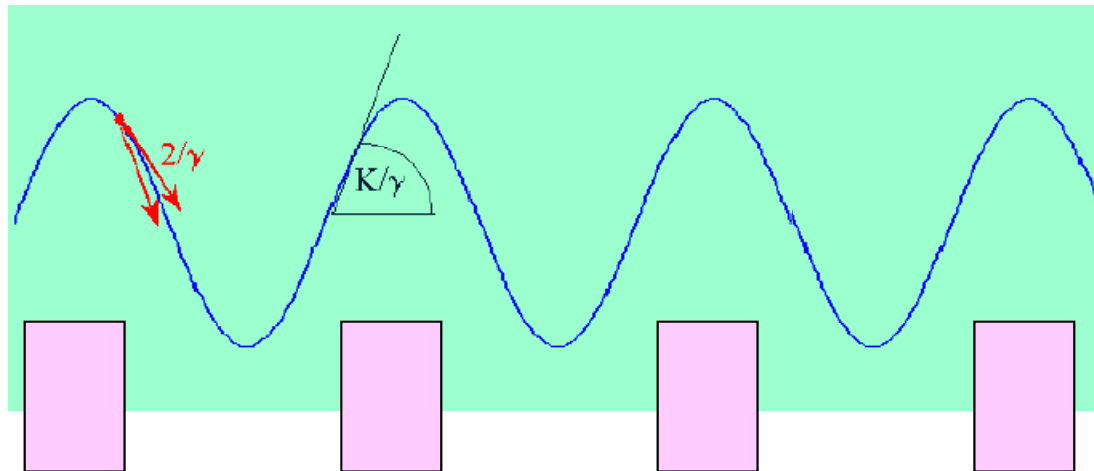
- Nejlepší zdroj SZ má co nejvíce rovných úseků spojených ohyby (*bends*)
- Čím menší poloměr tím vyšší mezní frekvence SZ
- Nápad: do rovného úseku vložit „frequency shifter“



supravodivý magnet 6 T

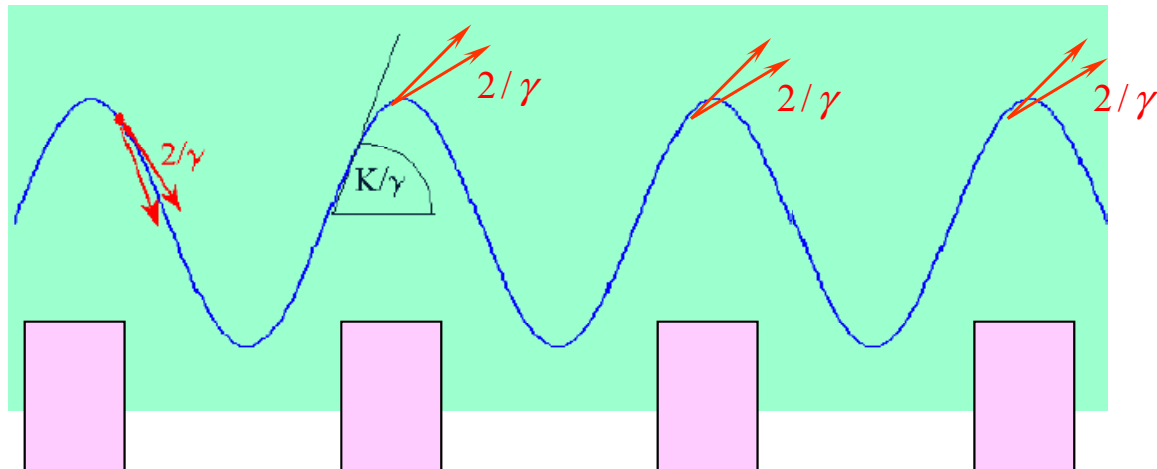
## Za krátkými vlnovými délkami: wiggery a undulátory

- Nejlepší zdroj SZ má co nejvíce rovných úseků spojených ohyby (*bends*)
- Čím menší poloměr tím vyšší mezní frekvence SZ
- Nápad: do rovného úseku vložit „frequency shifter“
- Více magnetů za sebou: wiggler



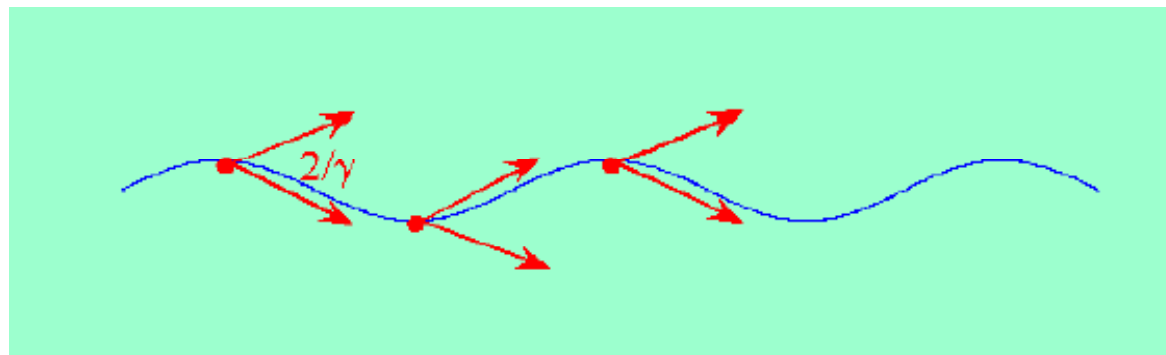
## Za krátkými vlnovými délkami: wiggler a undulátor

- Nejlepší zdroj SZ má co nejvíce rovných úseků spojených ohyby (*bends*)
- Čím menší poloměr tím vyšší mezní frekvence SZ
- Nápad: do rovného úseku vložit „frequency shifter“
- Více magnetů za sebou: wiggler (silné pole)  
*kolimační kužele se nepřekrývají, sčítají se intenzity*



## Za krátkými vlnovými délками: wiggery a undulátory

- Nejlepší zdroj SZ má co nejvíce rovných úseků spojených ohyby (*bends*)
- Čím menší poloměr tím vyšší mezní frekvence SZ
- Nápad: do rovného úseku vložit „frequency shifter“
- Více magnetů za sebou: wiggler (silné pole)  
*kolimační kužele se nepřekrývají, sčítají se intenzity*
- Více magnetů za sebou: undulátor (slabé pole)  
*kolimační kužele se překrývají, sčítají se amplitudy, INTERFERENCE!*

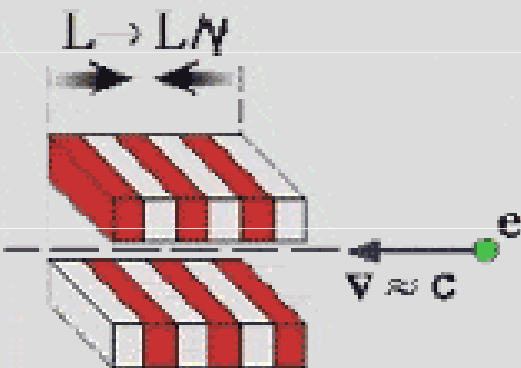


# Za krátkými vlnovými délками: wiggery a undulatory

Synchrotron light emission:

Einstein's relativity transforms the large period of an undulator into the microscopic wavelength of x-rays

An electron travels towards an undulator at a speed,  $v$ , close to the speed of light: because of relativity, it "sees" the length  $L$  and the period  $L/n$  ( $n = \text{number of periods}$ ) of the undulator shrinking by a factor  $\approx \gamma$



$$\lambda \approx L/2\gamma^2 n$$

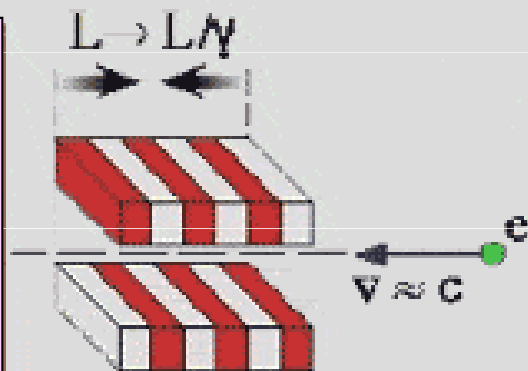
The undulator forces the electron to wiggle and to emit synchrotron light of wavelength equal to its (shrunk) period,  $\approx L/\gamma n$ . Because of the electron motion (Doppler effect), when seen from the laboratory point of view this wavelength further shrinks by a factor  $\approx 2\gamma$ .



## Za krátkými vlnovými délками: wiggler a undulátor

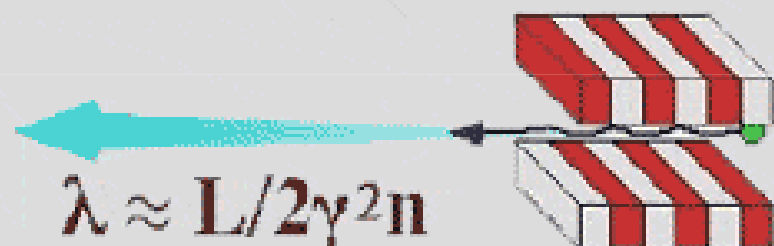
Makroskopická perioda wiggleru či undulátoru se relativisticky zkracuje na mikroskopickou vlnovou délku rentgenových paprsků

relativistický elektron vidí periodu zařízení zkrácenou v poměru 1:  $\gamma$  na  $L/n\gamma$



$$\lambda \approx L/2\gamma^2 n$$

Elektron kmitá v undulátoru a vyzařuje fotony s vlnovou délkou  $L/n\gamma$ .  
Pozorovatel ji vidí dopplerovsky dále zkrácenou v poměru 1:  $2\gamma$



## *Budoucnost zdrojů SZ*

Předvedeny byly zdroje SZ třetí generace.

Na obzoru je prý už čtvrtá.

O té snad někdy příště ...

Velikášské stroje se tak trochu omrzely.

Nový koncept:

synchrotron na stole

## *Nevýhody velkých synchrotronových instalací*

- ⌘ Konstrukční a stavební složitost a rozsáhlost ... cena
- ⌘ Nákladný a složitý provoz: vakuum, magnetické pole, ...
- ⌘ Elektrony s energií řádu GeV ... příliš mnoho záření v celém spektrálním rozsahu ... problémy s odvodem přebytečné energie, plýtvání energií
- ⌘ Složitá organizace využívání
- ⌘ Nadřazená byrokratická struktura – mezinárodní konsorcium, ...
- ⌘ Nutnost dojíždět – z Prahy do Grenoblu například: cesta, hotel, ...
- ⌘ Nepružnost: žádost o přidělení času dlouho dopředu, nemožnost jeho rozšíření na místě, převoz vzorků ve vakuu/ v kryostatu, ...
- ⌘ Odloučenost od výuky

Nové koncepce pro SZ:  
"kapesní" zdroje záření

## *Jak uchovat kritickou frekvenci, ale ostatní zmenšit*

Vodítko – vývoj velkých zdrojů SZ kruhový prstenec → mnoho bendů (zaoblených rohů) → wiggly a undulátory

HEURISTIKA       $\omega_c \propto \frac{\gamma^3}{R}$        $\Rightarrow$  kdybychom pořádně zmenšili  $R$ , mohlo by i  $\gamma$  být menší

## Jak uchovat kritickou frekvenci, ale ostatní zmenšit

Vodítko – vývoj velkých zdrojů SZ kruhový prstenec → mnoho bendů (zaoblených rohů) → wiggly a undulátory

HEURISTIKA

$$\omega_c \propto \frac{\gamma^3}{R}$$

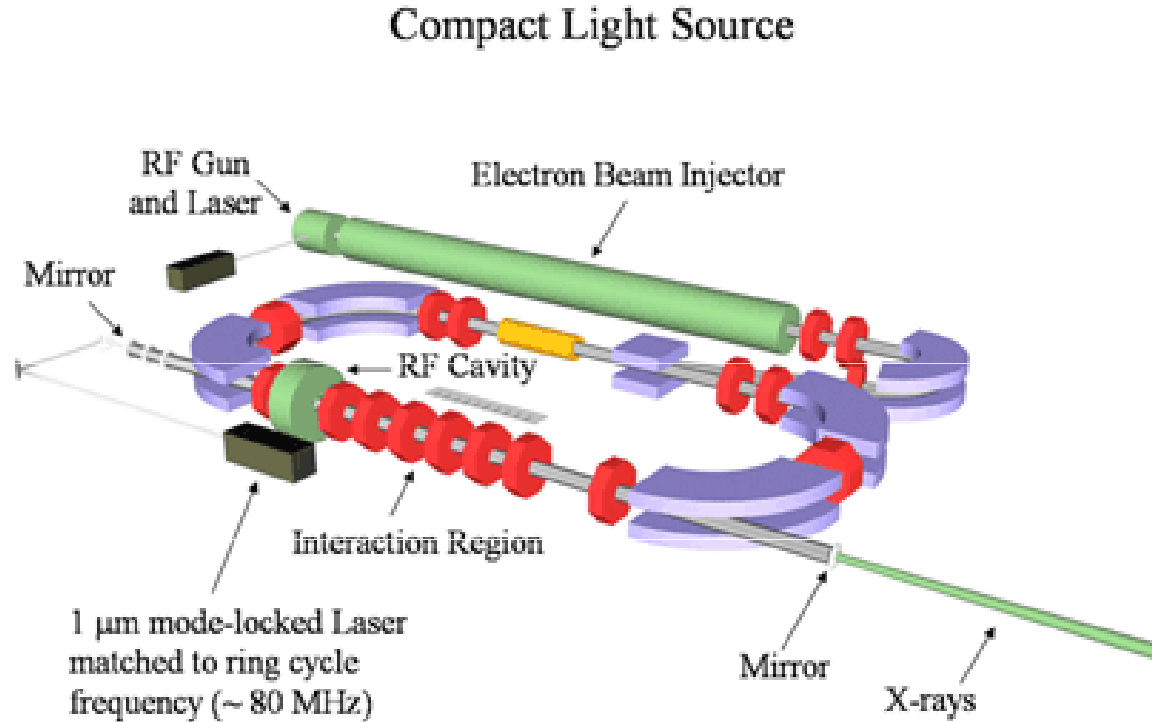
⇒ kdybychom pořádně zmenšili  $R$ , mohlo by i  $\gamma$  být menší

DVĚ CESTY  
již (téměř) komercializované

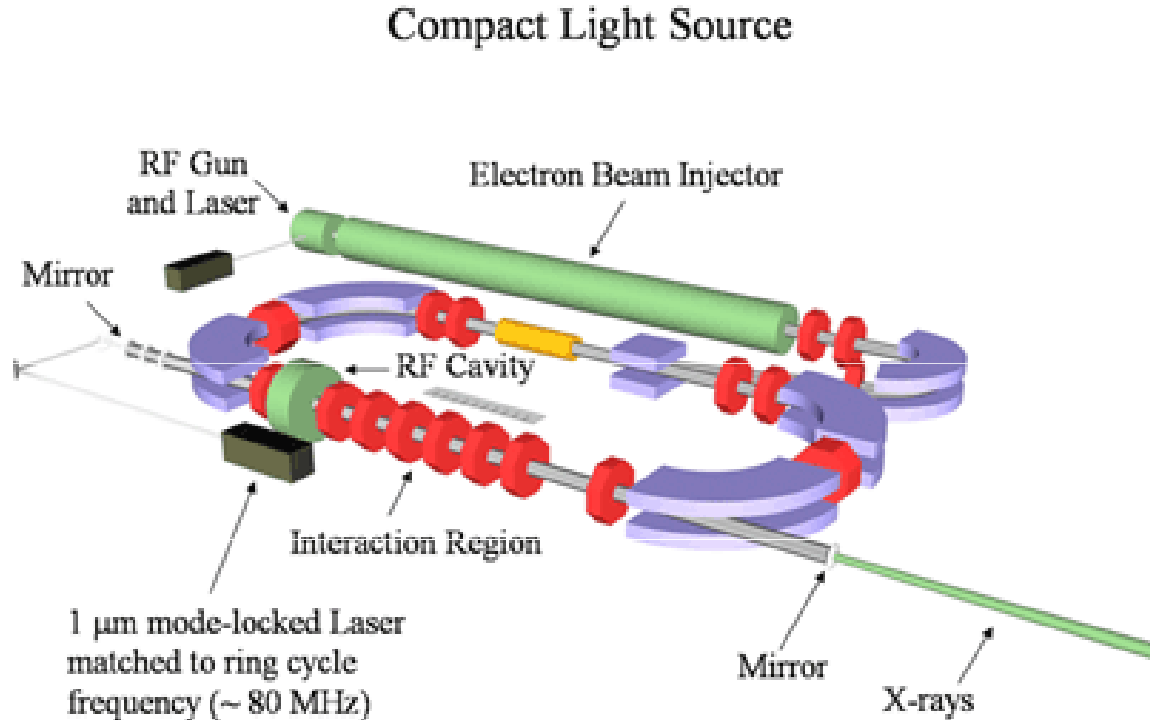
rozptyl elektronovo-vého svazku na	laserovém svazku	atomech
guru	Ronald Ruth	Hironari Yamada
komerční označení	LYNCEAN CLS	MIRRORCLE
země	USA	Japonsko

Rozptyl na stojaté laserové vlně

# *Rozptyl na laserovém svazku*



# Rozptyl na laserovém svazku



- vzpomínka na rozptyl atomů a molekul na světelné mřížce
- světlo tvoří "wiggler" s periodou  $1 \mu\text{m}$
- pro vznik rtg paprsků stačí  $E = 30 \text{ MeV}$

## *Rozptyl na laserovém svazku*

### Vzpomínka na wiggler

- I. relativistický elektron vidí nalétávat měkký foton. V jeho souřadné soustavě je frekvence dopplerovsky posunutá

$$\hbar\omega' = \gamma(1 + \beta)\hbar\omega_0 \quad \text{přímý dopad}$$

- II. tento foton se elasticky rozptylí. Pozorovatel vidí další dopplerovský posun

$$\hbar\omega = \gamma^2(1 + \beta)^2 \hbar\omega_0 \quad \text{rozptyl vzad}$$

## *Rozptyl na laserovém svazku*

### Vzpomínka na wiggler

- I. relativistický elektron vidí nalétávat měkký foton. V jeho souřadné soustavě je frekvence dopplerovsky posunutá

$$\hbar\omega' = \gamma(1 + \beta)\hbar\omega_0 \quad \text{přímý dopad}$$

- II. tento foton se elasticky rozptylí. Pozorovatel vidí další dopplerovský posun

$$\hbar\omega = \gamma^2(1 + \beta)^2 \hbar\omega_0 \quad \text{rozptyl vzad}$$

Alternativní pohled (vlastně QED)

INVERSNÍ COMPTONŮV ROZPTYL

# Rozptyl na laserovém svazku

## Vzpomínka na wiggler

- I. relativistický elektron vidí nalétávat měkký foton. V jeho souřadné soustavě je frekvence dopplerovsky posunutá

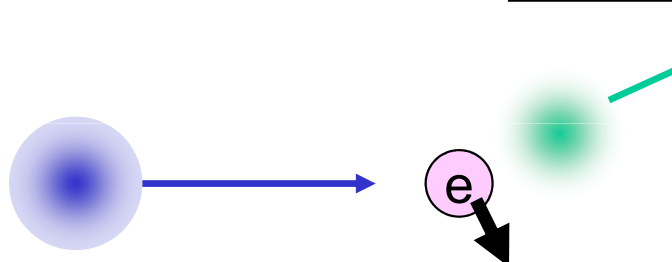
$$\hbar\omega' = \gamma(1 + \beta)\hbar\omega_0 \quad \text{přímý dopad}$$

- II. tento foton se elasticky rozptylí. Pozorovatel vidí další dopplerovský posun

$$\hbar\omega = \gamma^2(1 + \beta)^2 \hbar\omega_0 \quad \text{rozptyl vzad}$$

Alternativní pohled (vlastně QED)

### INVERSNÍ COMPTONŮV ROZPTYL



COMPTON

# Rozptyl na laserovém svazku

## Vzpomínka na wiggler

- I. relativistický elektron vidí nalétávat měkký foton. V jeho souřadné soustavě je frekvence dopplerovsky posunutá

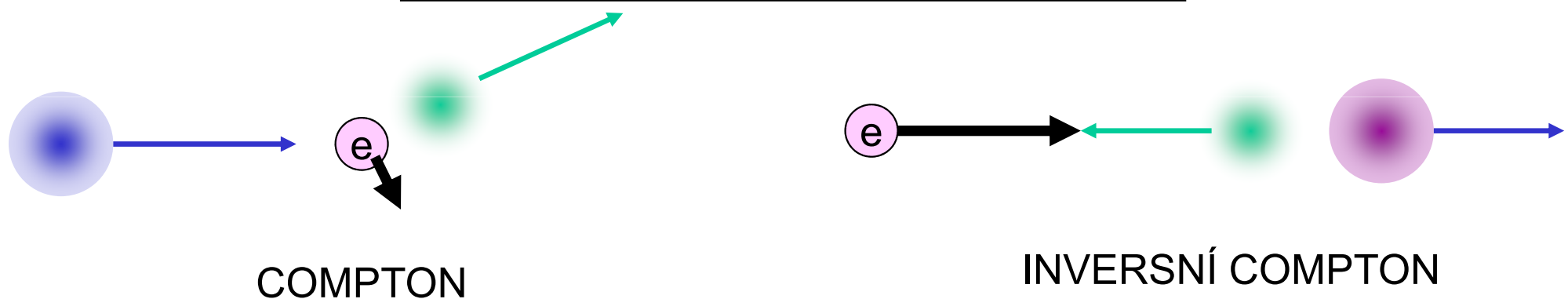
$$\hbar\omega' = \gamma(1 + \beta)\hbar\omega_0 \quad \text{přímý dopad}$$

- II. tento foton se elasticky rozptylí. Pozorovatel vidí další dopplerovský posun

$$\hbar\omega = \gamma^2(1 + \beta)^2 \hbar\omega_0 \quad \text{rozptyl vzad}$$

Alternativní pohled (vlastně QED)

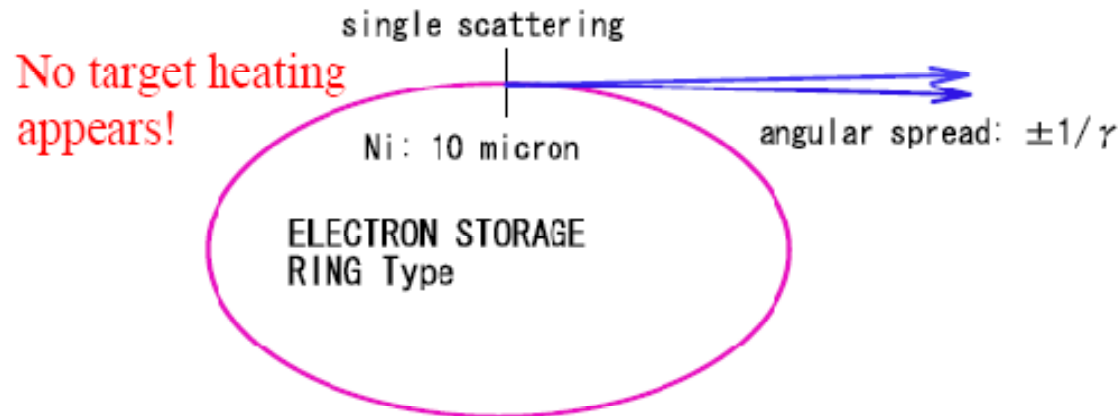
### INVERSNÍ COMPTONŮV ROZPTYL



Rozptyl na atomovém terčíku (folii)

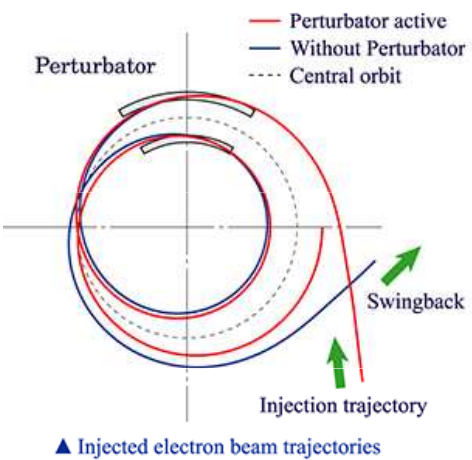
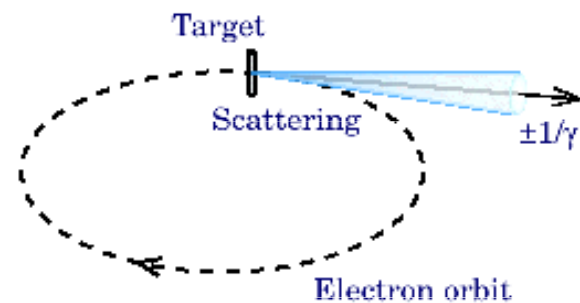
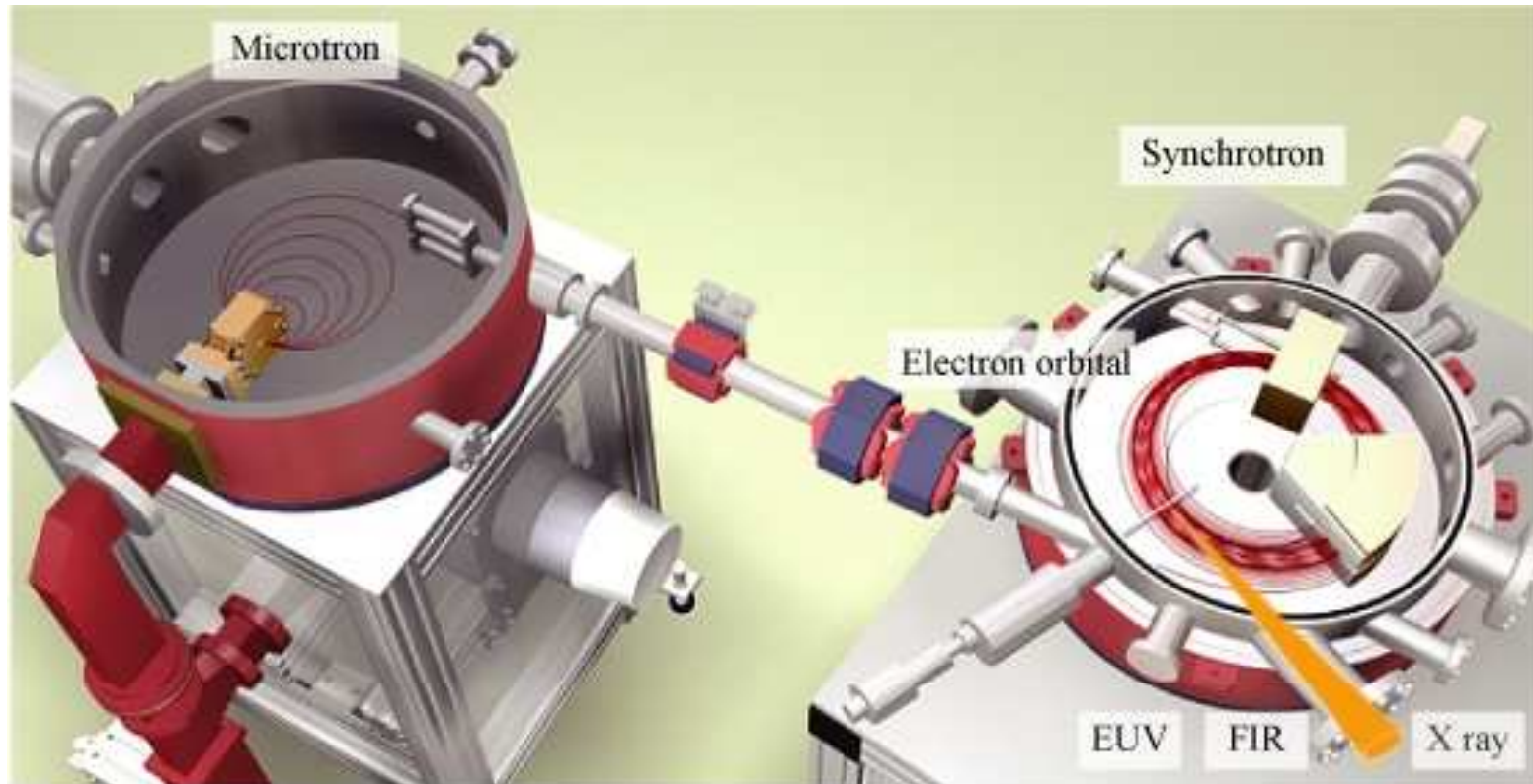
## Rozptyl na atomovém terčíku

Nakreslil sám Yamada

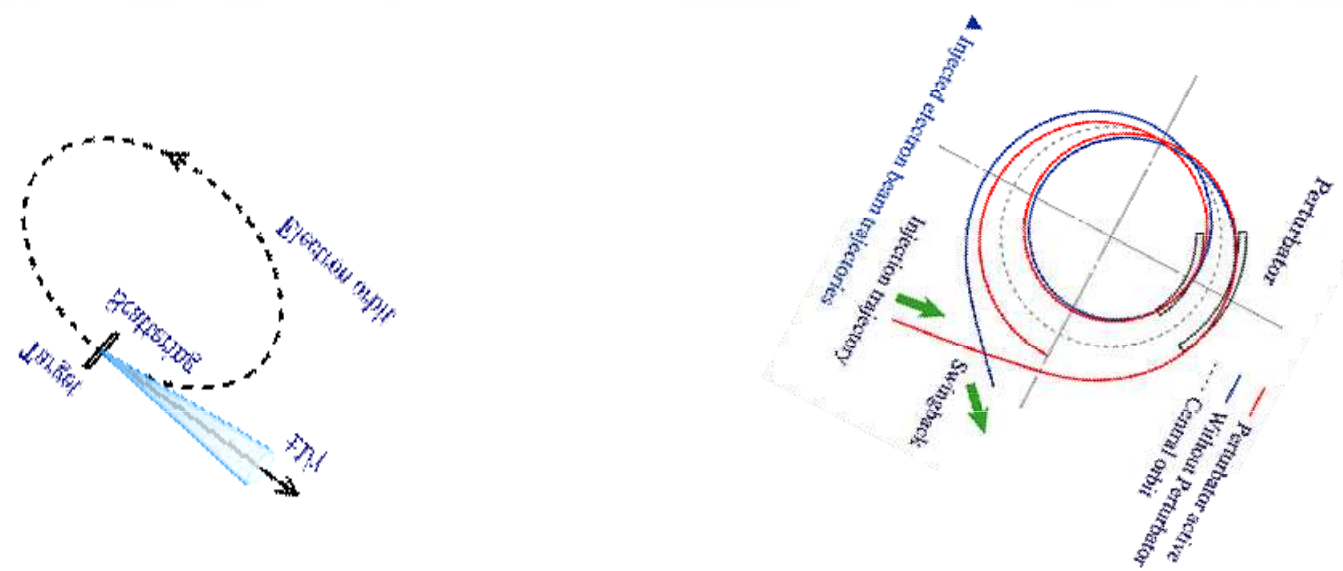
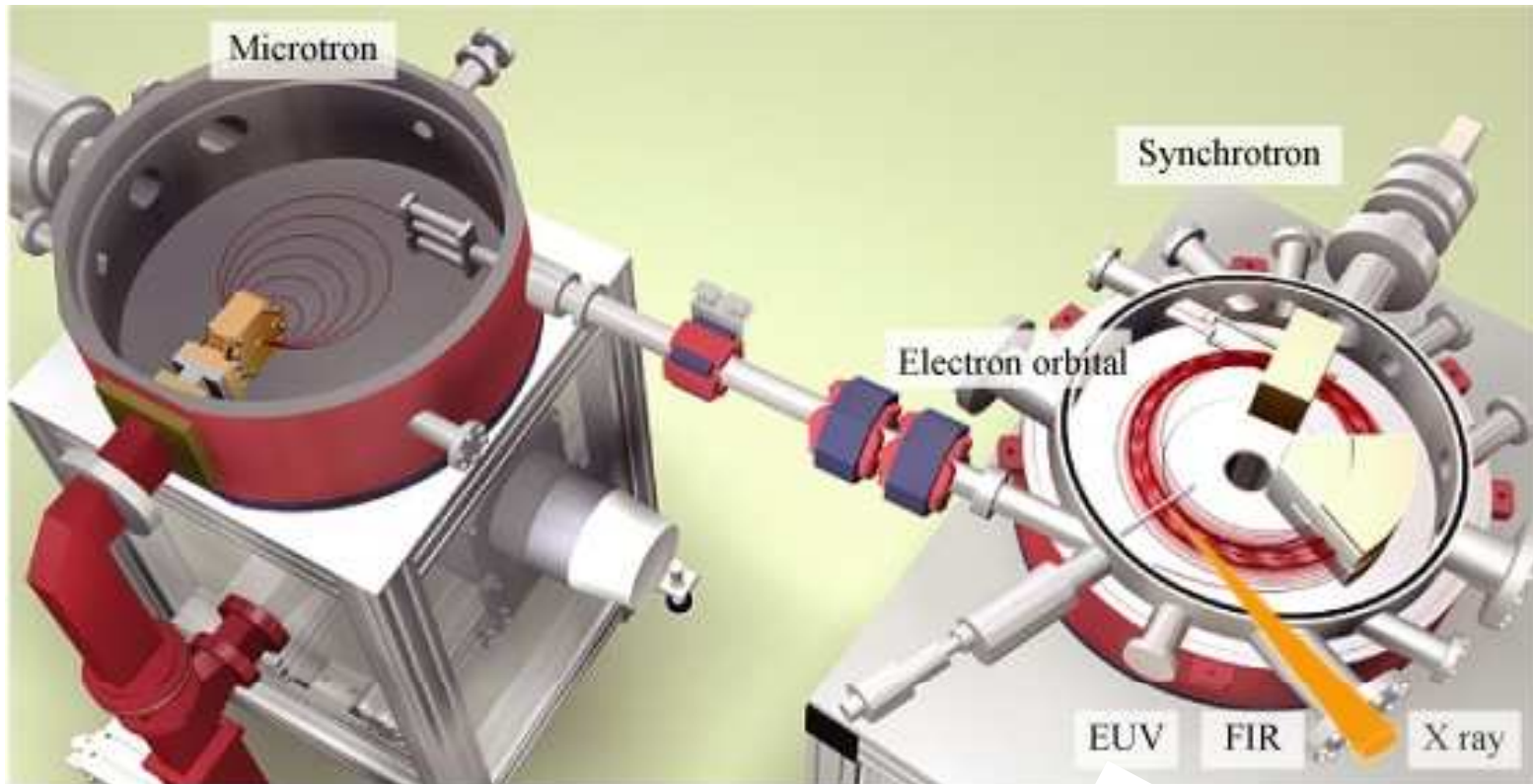


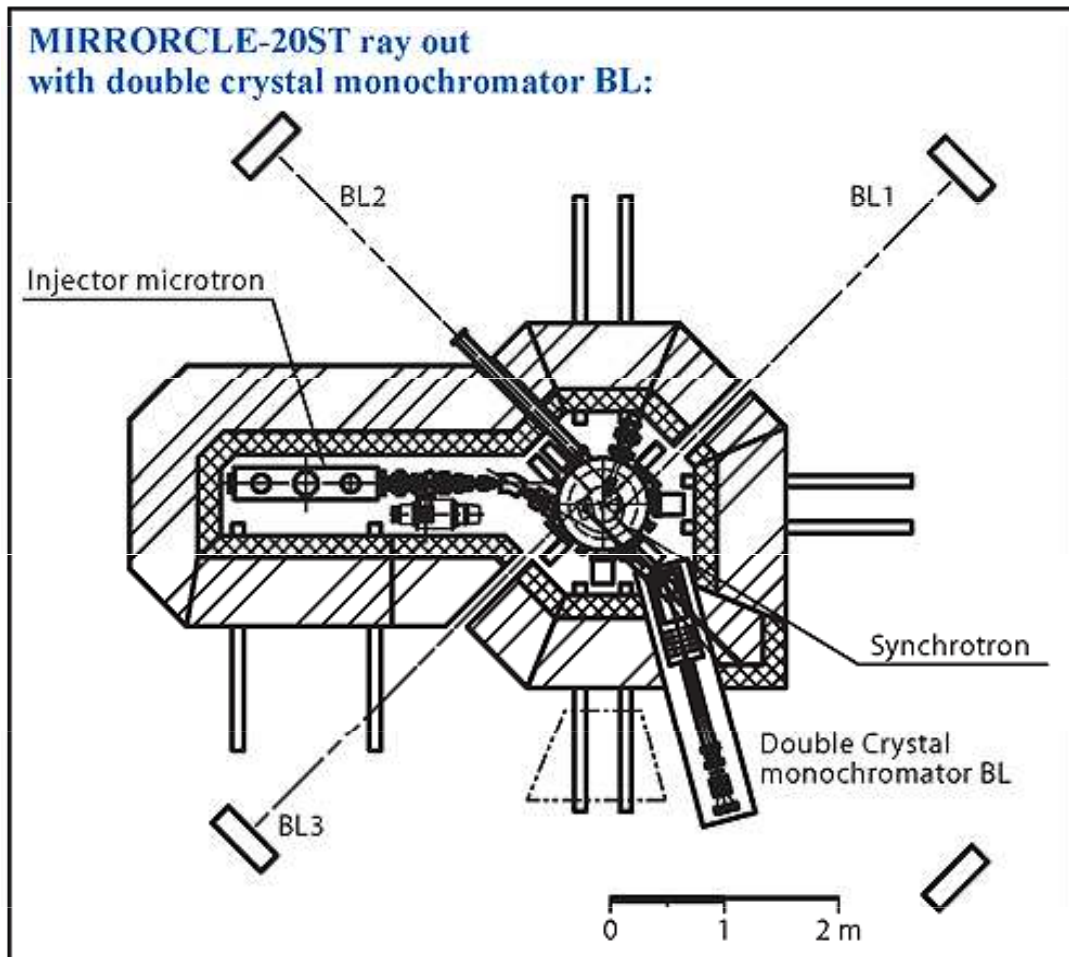
- Není to brzdné záření, ale elastická deflexe doprovázená zářením
- Filosofická otázka: je to synchrotron?
- Terčík je tak malý, že dojde jen k jednomu rozptylu, elektron se zotaví a vrátí do svazku. Na jednu injekci mnoho oběhů
- Energie elektronů 20 MeV, podobné jako u Comptona, relativistická kolimace je horší, ale nastává

# Mirrorcle zařízení



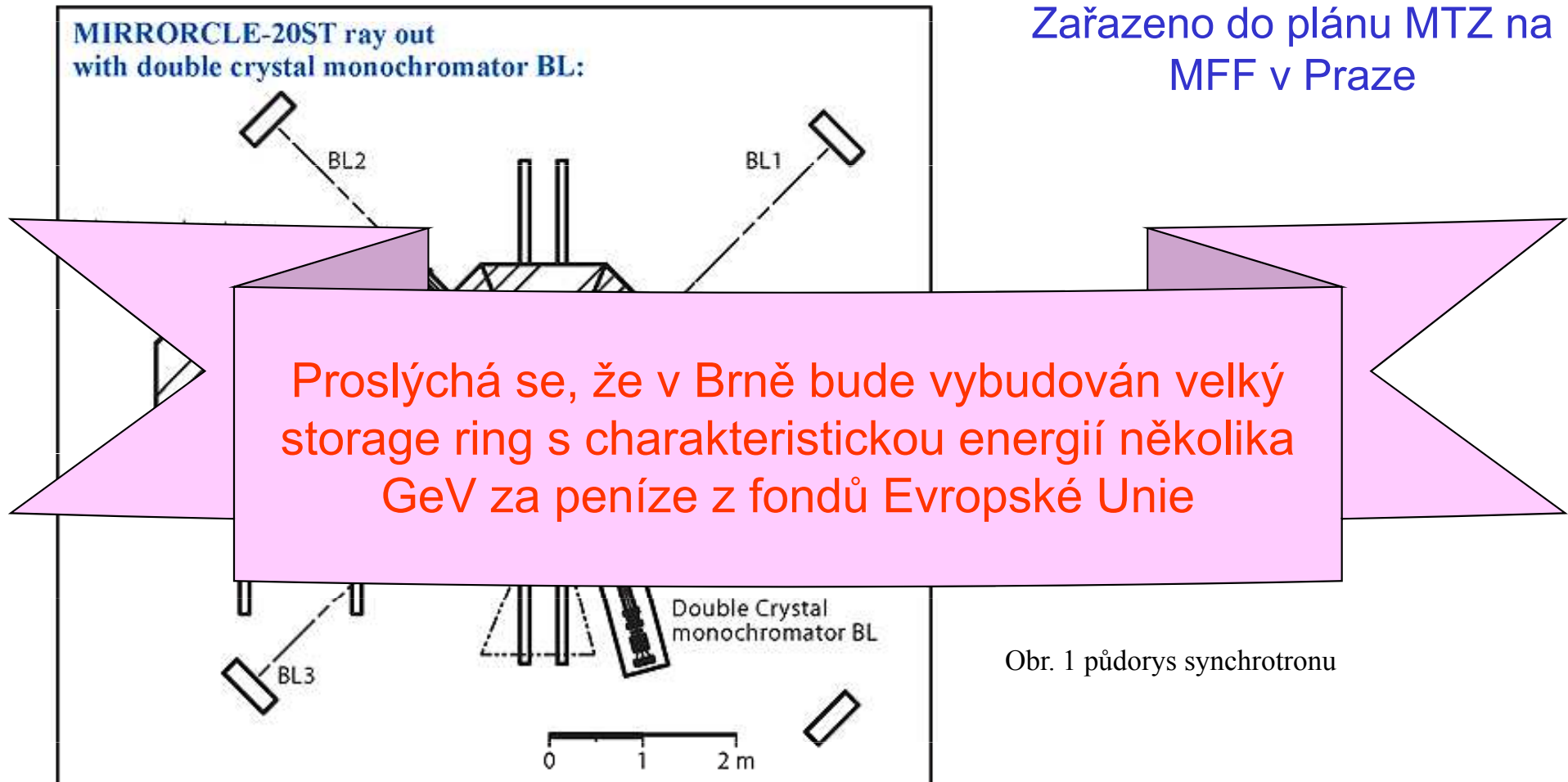
# Mirrorcle zařízení





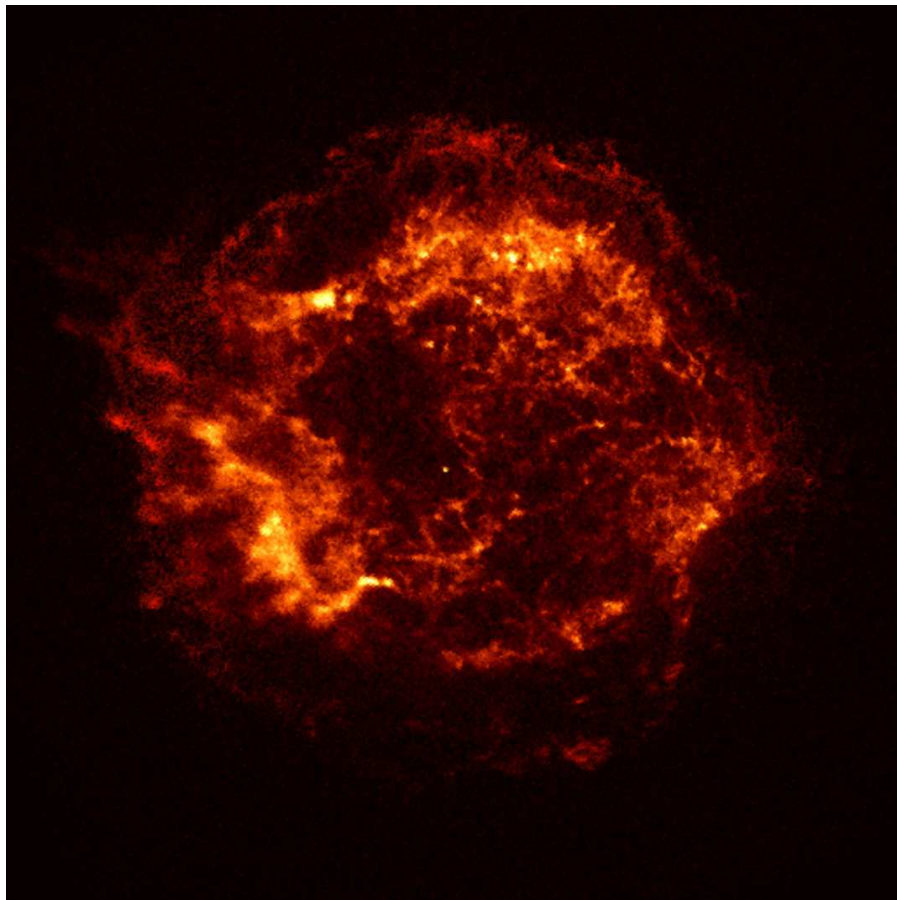
Zařazeno do plánu MTZ na  
MFF v Praze, ale už nějak  
dlouho

Obr. 1 půdorys synchrotronu

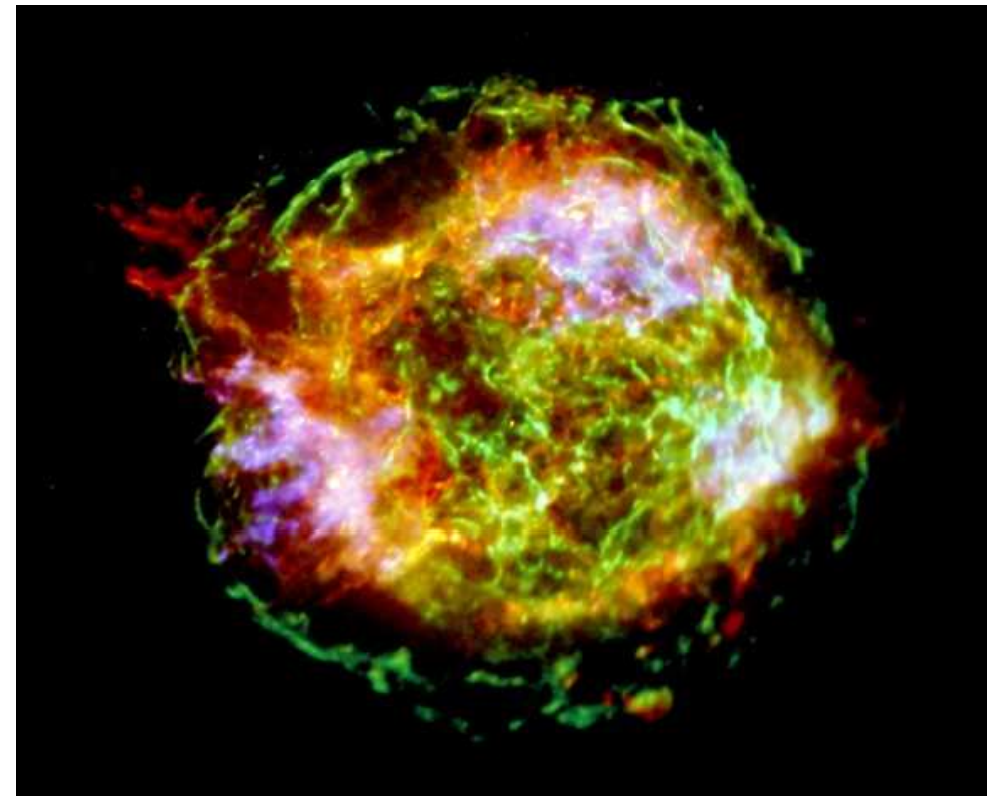


*The end*

## *SZ ve vesmíru I.: Cassiopea A*



první pozorovaný radiový zdroj ...  
objeven 1948  
jasná místa ... SZ



rengenový obraz

SZ vyznačuje dvě rázové vlny:  
vnější je pozůstatek explose, šíří se  
rychlostí expanze mlhoviny  
vnitřní je výsledkem vnitřní srážky  
dvou vrstev, šíří se pomaleji, ale má  
teplotu snad 10 000 000 K